

ГОСУДАРСТВЕННЫЙ КОМИТЕТ ПО ГРАЖДАНСКОМУ СТРОИТЕЛЬСТВУ И АРХИТЕКТУРЕ ПРИ ГОССТРОЕ СССР

ТИПОВЫЕ КОНСТРУКЦИИ И ДЕТАЛИ ЗДАНИЙ И СООРУЖЕНИЙ

СЕРИЯ ИИ-04-0

УКАЗАНИЯ ПО ПРИМЕНЕНИЮ ИЗДЕЛИЙ

ВЫПУСК 12

УКАЗАНИЯ ПО ПРИМЕНЕНИЮ ВЕНТИЛЯЦИОННЫХ БЛОКОВ - СТЕНОК ЖЕОТКОСТИ
И ВЕНТИЛЯЦИОННЫХ БЛОКОВ ДЛЯ ОБЩЕСТВЕННЫХ ЗДАНИЙ КАРКАСНОЙ
КОНСТРУКЦИИ СЕРИИ ИИ-04 С СЕТКОЙ КОЛОНН 6×9; 6×6; 6×4,5; 6×3М.

13654
ЦЕНА 2-21

ЦЕНТРАЛЬНЫЙ ИНСТИТУТ ТЕХНОЛОГИЧЕСКОГО ПРОЕКТИРОВАНИЯ
ГОССТРОЕ СССР

Москва, А-440, Сущевская ул., 28
Серия в листах III №6.
Задача № 3067 Типчук 150

ГОСУДАРСТВЕННЫЙ КОМИТЕТ ПО ГРАЖДАНСКОМУ СТРОИТЕЛЬСТВУ И АРХИТЕКТУРЕ ПРИ ГОССТРОЕ СССР

ТИПОВЫЕ КОНСТРУКЦИИ И ДЕТАЛИ ЗДАНИЙ И СООРУЖЕНИЙ

СЕРИЯ ИИ-04-0

УКАЗАНИЯ ПО ПРИМЕНЕНИЮ ИЗДЕЛИЙ

ВЫПУСК 12

УКАЗАНИЯ ПО ПРИМЕНЕНИЮ ВЕНТИЛЯЦИОННЫХ БЛОКОВ - СТЕНОК ЖЕСТКОСТИ
И ВЕНТИЛЯЦИОННЫХ БЛОКОВ ДЛЯ ОБЩЕСТВЕННЫХ ЗДАНИЙ КАРКАСНОЙ
КОНСТРУКЦИИ СЕРИИ ИИ-04 С СЕТКОЙ КОЛОНН 6×9 ; 6×6 ; $6\times 4,5$; 6×3 м.

РАЗРАБОТАНЫ:
ЦНИИЭП УЧЕБНЫХ ЗДАНИЙ

УТВЕРЖДЕНЫ ГОСГРАЖДАНСТРОЕМ
И ВВЕДЕНЫ В ДЕЙСТВИЕ С 1. I. 1976г
ПРИКАЗ № 263 ОТ 24. XI. 1975г

- 1 Содержание альбома.
- 2 Пояснительная записка.
- 3 Монтажные схемы вентиляционных блоков-стенок жесткости.
- 4 Монтажные схемы вентиляционных блоков.
- 5 Пример решений проемов в стенах, выполняемых из бесконсольных вентиляционных блоков.
- 6 Расчетные схемы блоков из своей плоскости.
- 7 Схемы раскладки перекрытия.
- 8 Монтажные узлы 1÷3.
- 9 Монтажные узлы 4÷6.
- 10 Узел 1 при колоннах 400×400 мм.
- 11 Узел 1 при колоннах 300×300 мм.
- 12 Узел 2 при колоннах 400×400 и 300×300 мм.
- 13 Узел 3 при колоннах 400×400 мм.
- 14 Узел 3 при колоннах 300×300 мм.
- 15 Детали: обетонирование металлических консолей, крепление вентрешеток, заделка пустот, перекрытие каналов, горизонтальный стык блоков.
- 16 Примеры привязок в колоннах вкладных деталей М-33 для крепления вентиляционных блоков-стенок жесткости и вентиляционных блоков.
- 17 Монтажные детали ММД-31÷ММД-41

Лист	Стр.
С-1И	2
1÷31	3÷32
32÷37	34÷39
38÷41	40÷43
42	44
43	45
44	46
45	47
46	48
47	49
48	50
49	51
50	52
51	53
52	54
53	55
54	56

ВНЕЧЕНН ИСПРАВЛЕНИЯ ЕТ.КИНЕГЕР Г.Андр Г. МЕДВЕДСКАЯ / 18.03.76г

Т.К.	УКАЗАНИЯ ПО ПРИМЕНЕНИЮ ВЕНТИЛЯЦИОННЫХ БЛОКОВ-СТЕНОК ЖЕСТКОСТИ И ВЕНТИЛЯЦИОННЫХ БЛОКОВ.	СЕРИЯ НИ-040
1975	СОДЕРЖАНИЕ АЛЬБОМА.	ВЫПУСК ЛИСТ С-1И 13654 3

I Общая часть.

Указания содержат характеристику и рекомендации по применению сборных железобетонных вентиляционных блоков-стенок жесткости /блоки типа "ВБС"/ и вентиляционных блоков /блоки типа "ВБ"/.

При разработке настоящих указаний использован материал альбома ИИ-04-0, выпуск 6 - "Указания по применению изделий сводового каркаса, относящийся к разделу - "Диафрагмы жесткости".

Раздел IV данных указаний разработан три участника, в качестве консультанта, доктора технических наук, профессора Дроздова П.Ф.

II. Область применения и характеристика изделий.

Вентиляционные блоки-стенки жесткости и вентиляционные блоки предназначены для применения в общественных зданиях и зданиях административно-бытового назначения, выдаваемых в конструкциях сводового каркаса серии ИИ-04.

Не допускается применять вентиляционные блоки-стенки жесткости и вентиляционные блоки для вентиляции помещений, из которых осуществляется вытяжка агрессивной газовой среды, а также среды, нагретой до температуры выше 50°C. При оценке степени агрессивного воздействия газовых сред на бетон, а также характеристики агрессивных газов руководствоваться СНиП II-В.9.73.

Допускаемые нагрузки на блоки и расчетные схемы блоков из своей гибкости даны на листе 43.

Для каркасов с колоннами сечением 40x40 см и 30x30 см вентиляционные блоки и блоки-стенки жесткости приняты одинаковыми, толщиной 240 мм, с круглыми пустотами Ø146 мм, при этом зазор между блоком и колонной сечением 40x40 см составляет 20 мм, между блоком и колонной сечением 30x30 см - 70 мм. Зазоры между блоками к колоннам, а также между самими блоками заделать бетоном марки 200.

По горючести блоки относятся к несгораемым конструкциям и имеют предел отстойности - 2,5 часа.

Вентиляционные блоки-стенки жесткости /блоки типа "ВБС"/ запроектированы из тяжелого бетона марки 300, с поэтажной разрезкой для высот этажей 2,8 м; 3,3 м; 3,6 м; 4,2 м и технического подвала Н=2 м, с одной и двумя консолями для опирания панелей перекрытий к без консолей.

Вентиляционные блоки /блоки типа "ВБ"/ запроектированы из тяжелого и легкого бетонов марок 200 и 300. Блоки с одной и двумя консолями приняты одноэтажными, для высот этажей 2,8 м; 3,3 м; 3,6 м; 4,2 м и технического подвала Н=2 м, бесконсольные - одно и двухэтажные для тех же высот этажей.

Предусмотрен вариант металлических консолей, привариваемых к закладным деталям блоков. Блоки с металлическими консолями не могут применяться в тех случаях, когда проходит панель перекрытий заключен между блоками.

III. Указания по подбору и расчету диафрагм жесткости.

Пространственная устойчивость здания в обоих направлениях обеспечивается вертикальными и диафрагмами жесткости. Нагрузки на диафрагмы передаются колоннами перекрытий. Диафрагмы образуются заполнением каркаса вентиляционными блоками-стенками жесткости /блоки типа ВБС/. Колонны каркаса и стены жесткости работают совместно в результате сварки закладных деталей. Закладные детали колонн и стенок жесткости свариваются между собой. Горизонтальный стык между стекой жесткости и верхним обрезом фундамента осуществляется без сварки закладных деталей - с помощью мелкозернистого бетона марки 200. Количество 6-метровых диафрагм, в зависимости от этажности здания и нагрузок на

Т.К.	Указания по применению вентиляционных блоков-стенок жесткости и вентиляционных блоков	СЕРИЯ ИИ-04-0
1975	Пояснительная записка.	выпуск 42 лист 1

ВЕРТИКАЛЬНОЕ МОМЕНТЫ МОГУТ БЫТЬ ОРИЕНТИРОВАНЫ ОПРЕДЕЛЕНЫ ПО ГРАФИКУ НА РИС. 1 ПО ДОПУСТИМОМУ МОМЕНТУ $[M_g]$ НА ДИАФРАГМУ. КОЛИЧЕСТВО ДИАФРАГМ ОПРЕДЕЛЯЕТСЯ ДЕЛЕНИЕМ РАСЧЕТНОГО ВЕТРОВОГО МОМЕНТА, ДЕЙСТВУЮЩЕГО НА ЗДАНИЕ, НА ВЕЛИЧИНУ $[M_g]$.

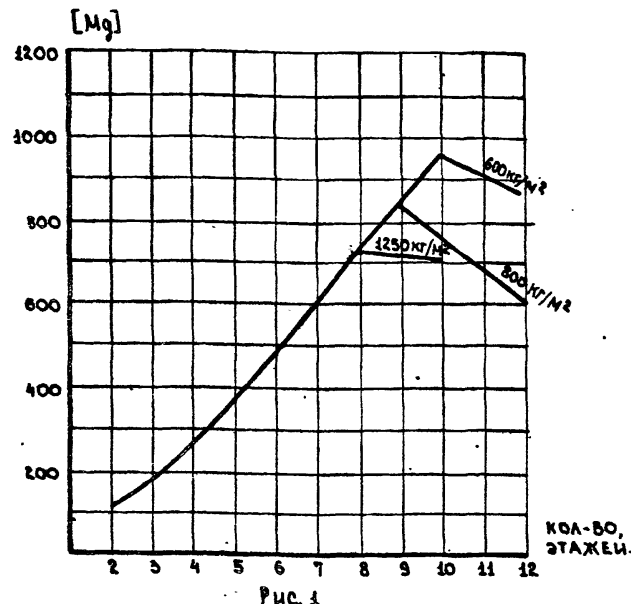


Рис. 1

ВЕЛИЧИНА РАСЧЕТНОГО ВЕТРОВОГО МОМЕНТА, ДЕЙСТВУЮЩЕГО НА ЗДАНИЕ, ОПРЕДЕЛЯЕТСЯ ПО ТАБЛИЦЕ №1 ПРИ ДЛИНЕ ЗДАНИЯ 60м. Если длина здания не равна 60м, табличные значения расчетных изгибающих моментов следует изменять пропорционально фактической длине здания. Если здание разделяено на блоки деформационными или температурно-усадочными швами, то количество диафрагм подбирается на каждый блок отдельно в зависимости от его фактической длины. Количество диафрагм, принятые ориентировочно с помощью графика, приведенного на рис. 1, должно быть проверено расчетом по методике, изложенной в разделе IV.

IV. РАСЧЕТ УСТОЙЧИВОСТИ ЗДАНИЯ.

ПОДБОР ДИАФРАГМ ПРОИЗВОДЯТСЯ В СООТВЕТСТВИИ С РЕКОМЕНДАЦИЯМИ ПРИВЕДЕННЫМИ В ДАННОМ РАЗДЕЛЕ. Для зданий до 3-го этажей с подвалом производится только проверка прочности диафрагм по нормальному сечению. Проверка вертикальных швов и жесткости здания может не производиться.

IV-1. Система координатных осей и определение центра жесткости

Все расчеты выполняются в системе прямоугольных координат. Оси координат в плане распределяются параллельно разбивочным осям здания (см. рис. 2). Начало координат принимается в центре жесткостей вертикальных диафрагм, расстояния A_y и A_z до которого от производящей точки "A" определяется по формулам:

$$A_y = \frac{\Sigma (B_{Lz} \cdot Y_L)}{\Sigma B_{Lz}}; A_z = \frac{\Sigma (B_{Ly} \cdot Z_L)}{\Sigma B_{Ly}} \quad (IV.1)$$

В формулах (IV.1) приняты следующие обозначения:

B_{Lz} - жесткость L -той диафрагмы, параллельной оси Z ;

B_{Ly} - жесткость L -той диафрагмы, параллельной оси Y ;

$\Sigma B_{Lz}; \Sigma B_{Ly}$ - суммарные жесткости всех диафрагм одного направления соответственно в плоскости Z и плоскости Y .

Z_L - расстояние от центра L -той диафрагмы до оси, параллельной координатной оси Y и проходящей через точку "A".

Y_L - расстояние от центра L -той диафрагмы до оси, параллельной координатной оси Z и проходящей через точку "A".

Z_L - расстояние от центра L -той диафрагмы до координатной оси Y .

Y_L - расстояние от центра L -той диафрагмы до координатной оси Z . Жесткости диафрагм B_{Lz} и B_{Ly} принимаются с учетом коэффициента деформации K_{def} . $K_{def} = B_0 \times K_{def}$; где:

B_0 - принимается по таблице 2.

K_{def} - определяется по графику на рис. 3.

Т.К.	УКАЗАНИЯ ПО ПРИМЕНЕНИЮ ВЕНТИЛЯЦИОННЫХ БЛОКОВ-СТЕНОК ЖЕСТКОСТИ И ВЕНТИЛЯЦИОННЫХ БЛОКОВ.	СЕРИЯ ЧИ-ОЧ-О
1975	ПОЗСИТЕЛЬНАЯ ЗАПИСКА.	ВЫПОЛН. Лист 2

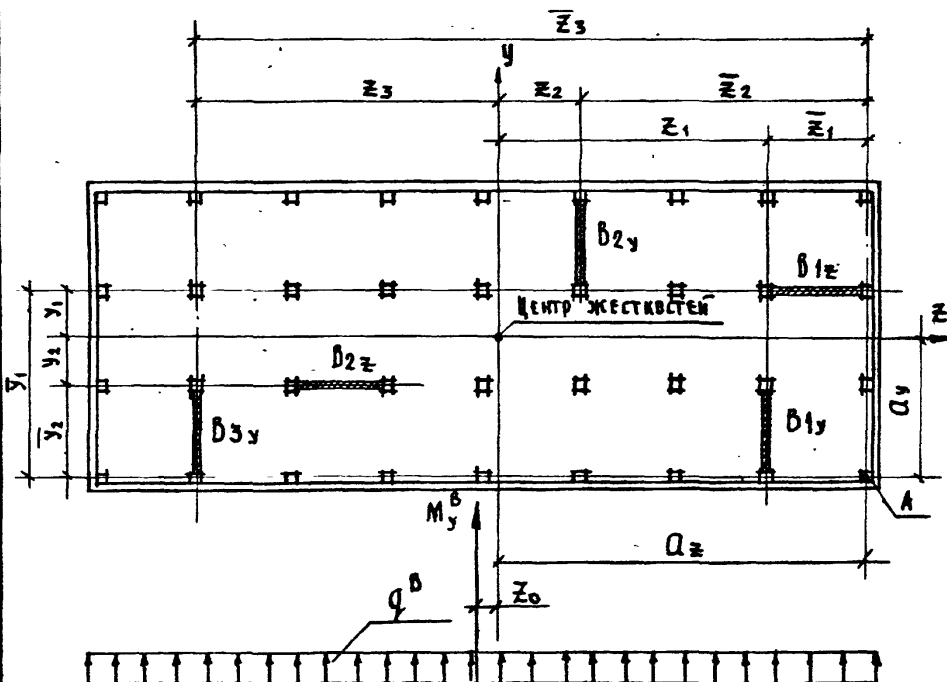


Рис. 2

ВСЕХ ДАЛЬНЕЙШИХ РАСЧЕТАХ КООРДИНАТЫ "У" И "З"
КАЖДОЙ ДИАФРАГМЫ ПРИНИМАЮТСЯ ПОЛОЖИТЕЛЬНЫМИ
КАК ОТРИЦАТЕЛЬНЫМИ В СООТВЕТСТВИИ С НАПРАВЛЕНИЕМ КООР-
ДИНАТНЫХ ОСЕЙ "У" И "З", ПРИНЯТЫМ НА РИС. 2 / ПОЛОЖИТЕЛЬ-
НОЕ НАПРАВЛЕНИЕ ОСИ "З" - В ПРАВО, ОСИ "У" - В ВЕРХ /. На рис. 2
ПОЛОЖИТЕЛЬНЫМИ КООРДИНАТАМИ СЧИТАЮТСЯ: z_1 ; z_2 ; y_1 ;
ОТРИЦАТЕЛЬНЫМИ - z_3 ; y_2 .

ГРАФИК "КЛЭР"

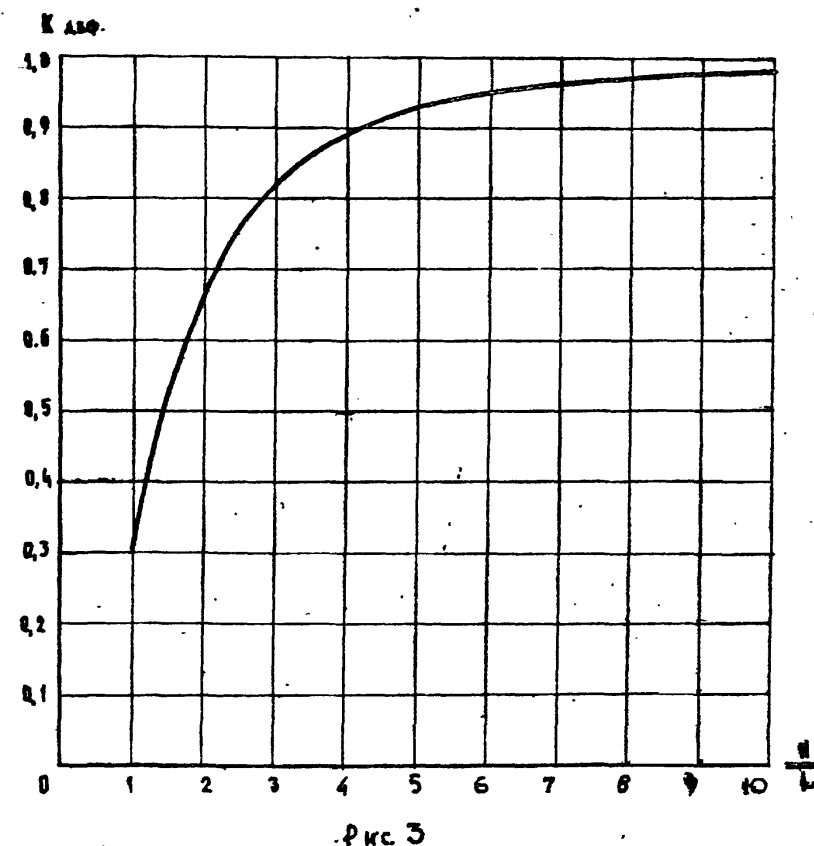


Рис. 3

Н - ВЫСОТА ДИАФРАГМЫ
L - ДАЛНА ДИАФРАГМЫ

ТК	УКАЗАНИЯ ПО ПРИМЕНЕНИЮ ВЕНТИЛЯЦИОННЫХ БАРКОВ- СТЕНОК ЖЕСТКОСТИ И ВЕНТИЛЯЦИОННЫХ БАРКОВ	СЕРИЯ ИК-0Ч-0
1975	ПРАКТИЧЕСКАЯ ЗАДАЧА .	ВЫПУСК 42 АМСТ 3

IV-2. НАГРУЗКИ, ДЕЙСТВУЮЩИЕ НА ЗДАНИЕ

1. ГОРИЗОНТАЛЬНЫЕ НАГРУЗКИ.

Ветровая нагрузка на здание определяется по СНиП II-6-74, как сумма статической и динамической составляющих. Статическая составляющая учитывается во всех случаях. Динамическая составляющая, вызываемая вихревыми силами скоростного напора ветра, учитывается только при расчете многоэтажных зданий высотой более 40м. Значения статических составляющих ветровой нагрузки приведены в таблице 1. Динамическая же составляющая, зависящая не только от скоростного напора, но также и от соотношений геометрических размеров здания, определяется в каждом конкретном случае отдельно и суммируется со статической составляющей, данной в таблице 1 для составляющей высоты здания.

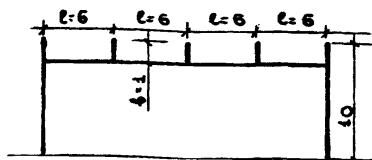
Величина динамической составляющей определяется по СНиП II-6-74.

Расчетные величины габаритов /длина, ширина и высота над уровнем земли/ здания должны учитывать увеличение "парусности" его за счет различных выступающих /загадающих/ частей фасада и кровли. К nominalnym значениям проекций фасада добавляется приведенная проекция выступов /загадов/, δ в зависимости от их числа m и расстояний между ними ℓ . Если $\ell/\delta > 10$, то добавка равна $m \times \delta$, если $\ell/\delta < 10$, то добавка равна $0,1m \times \delta$.

ПРИМЕР А. Определить расчетную ширину здания при ее nominalnom значении 18м, если здание по длине имеет 10 загадов, / m / при коэффициенте $\delta=3$ м и длине каждого $\delta=6$ м. Поскольку

$$\ell/\delta = 6/3 = 2 < 10, \text{ то ширину фасада составит: } W_f = 18 + 0,1 \cdot 10 \cdot 6 = 24 \text{м.}$$

ПРИМЕР Б. Определить расчетную высоту здания при ее nominalном значении 10м. и ширине 24м. если по



фасаду имеется параллель, а на кровле имеются склоновые выступы до длины здания в шагом 6м, высотой $\delta=1$ м. Поскольку $\delta/E = 6/10 = 6/10 < 10$, высота здания составит: $H = 10 + 0,1 \cdot 4 \cdot 6 = 12,4$ м.

В таблице 1 /на листе 6/ даны величины статической ветровой нагрузки q_0 и q на высоте H , изгибающие моменты M и поперечные силы Q для I-IV ветрового района.

Величины q_0 соответствуют ординатам эпюры ветровой нагрузки, заданной по СНиП, величины q — ординатам трапециевидальной эпюры, эквивалентной заданной по СНиП.

Изгибающие моменты M и поперечные силы Q определяются от трапециевидной эпюры к данн для сечения на уровне земли при соответствующей высоте здания. Приведенные нагрузки действуют на здание или отдельный блок здания длиной 60м. При длине здания не равной 60м, табличные значения ветровых нагрузок и усилий следует изменять пропорционально фактической длине грузового фронта, умножением табличной величины на коэффициент $K_1 = \frac{L}{60}$. Для I, III и IV ветровых районов нагрузки и усилия находятся путем умножения табличных значений на поправочные коэффициенты, приведенные в таблице на листе 6. При определении статических ветровых нагрузок и усилий учтены коэффициенты: аэродинамический $C=1,4$, перегрузки $P=1,2$ и коэффициенты K , учитывающие возрастание скоростного напора ветра в зависимости от высоты.

TK	УКАЗАНИЯ ПО ПРИМЕНЕНИЮ ВЕНТИЛЯЦИОННЫХ БЛОКОВ - СТЕНОК ЖЕСТКОСТИ И ВЕНТИЛЯЦИОННЫХ БЛОКОВ.	СЕРИЯ ЧИ-04-0
1975	Пояснительная записка	ВЫПУСК 12 ЛИСТ 4

Ветровые ускажи в любом уровне „Х“ выше земли для зданий высотой более 10 м. определяются по формулам:

$$M_X = \frac{qX^2}{2} \left(1 + \frac{a-1}{3H} X\right); Q_X = qX \left(1 + \frac{a-1}{2H} X\right), \text{ где:}$$

q - ветровая нагрузка на уровне „H“ по таблице I /правила трапециевидной эпюры/

H - высота здания

a - коэффициент, принимаемый по таблице I, соответствующий высоте здания „H“.

X - отсчитывается от верха здания.

Для зданий, высотой 10 м и ниже, ветровые ускажи в любом уровне определяются по формулам:

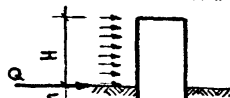
$$M_X = M \frac{X^2}{H^2}; Q_X = Q \frac{X}{H}, \text{ где:}$$

M и Q - табличные значения для здания высотой „H“

X - отсчитывается от верха здания.

Ветровой момент на расстоянии „h“ ниже уровня земли определяется по формуле:

$$M_h = M + Qh$$



Лобочные нагрузки по длине здания, действующие на диск перекрытия определяются по формуле:

$$q_0^T = \frac{q_0 \ell_f}{60} h_{ST}, \text{ где:}$$

q_0 - ветровая нагрузка в уровне перекрытия - по таблице I /правила эпюры, зданий по СНиП II/

ℓ_f - фактическая длина здания

h_{ST} - высота этажа

2. ВЕРТИКАЛЬНЫЕ НАГРУЗКИ.

Вертикальными нагрузками на диафрагмы являются реакции ригелей, опирающихся на диафрагменные колонны, нагрузки от панелей перекрытий, опирающихся непосредственно на стены жесткости, собственный вес конструкций диафрагмы и вес стеклового ограждения /для диафрагм, примыкающих к фасадным осям/. Перенесенные нагрузки приложены к отдельным элементам диафрагмы жесткости центрально или внецентрично относительно собственных осей элементов диафрагмы. Элементами диафрагмы являются диафрагменные колонны и стены жесткости, состоящая из вентиляционных блоков типа „ВВС“/ вентиляционные блоки-стенки жесткости/. Так как вентиляционные блоки имеют одинаковый модуль деформации и равнозначные приведенные пары /с учетом арматуры/ на единицу длины блока, стена жесткости считается одним элементом, с осью симметрии, проходящей по середине стены. Если вертикальные нагрузки приложены центрально к элементам диафрагмы и вызывают одинаковые деформации этих элементов, то момент от вертикальной нагрузки не возникает. Если же деформации элементов диафрагмы различны, то в диафрагме возникает момент от вертикальной нагрузки, так как элементы диафрагмы связаны между собой сваркой закладных деталей. Кроме того момент от вертикальной нагрузки возникает в том случае, когда нагрузки приложены к элементам диафрагмы внецентрично их собственных осей. Подробные указания о вычислении момента от вертикальной нагрузки даны в разделе IV-3.

T.K.	Указания по применению вентиляционных блоков-стенок жесткости и вентиляционных блоков.	СЕРИЯ ЧИ-04-0
1975	Пояснительная записка	выпуск лист 12 5 13654 8

ТАБЛИЦА 1
/СТАТИЧЕСКИЕ НАГРУЗКИ И УСИЛИЯ НА ЗДАНИЕ ДЛИНОЙ 60М В I ВЕТРОВОМ РАЙОНЕ/

ТИП МЕСТНОСТИ „А“

„Н“ М	q_y^* Т/М	q_y^* Т/М	„М“ ТМ	„Q“ Т	КОЭФФ „α“
60	4,76	4,90	7408,80	223,44	0,52
58	4,71	4,85	6852,46	219,70	0,52
56	4,65	4,78	6370,78	206,11	0,53
54	4,60	4,73	5861,88	189,01	0,53
52	4,54	4,65	5343,78	186,18	0,54
50	4,49	4,60	4887,50	177,10	0,54
48	4,43	4,52	4425,98	169,22	0,55
46	4,38	4,44	4039,86	159,30	0,56
44	4,32	4,37	3637,93	151,90	0,57
42	4,27	4,29	3254,05	142,34	0,58
40	4,21	4,21	2930,16	134,72	0,58
38	4,15	4,15	2608,78	124,88	0,58
36	4,05	4,0	2255,04	115,20	0,60
34	3,97	3,94	2004,04	109,84	0,63
32	3,89	3,86	1739,16	101,28	0,64
30	3,81	3,78	1513,89	94,12	0,65
28	3,72	3,69	1287,66	86,78	0,67
26	3,64	3,59	1092,07	79,33	0,68
24	3,56	3,47	909,41	71,62	0,72
22	3,48	3,36	748,07	65,04	0,75
20	3,40	3,24	602,64	57,67	0,78
18	3,26	3,17	482,72	51,92	0,81
16	3,13	3,0	368,64	45,12	0,87
14	2,99	2,84	272,75	38,56	0,94
12	2,86	2,75	196,81	32,67	0,98
10	2,72	—	136,0	27,20	—
8	2,72	—	87,04	24,76	—
6	2,72	—	48,96	16,32	—
4	2,72	—	21,76	10,88	—

ТАБЛИЦА ПОПРАВОЧНЫХ КОЭФФИЦИЕНТОВ.

ВЕТРОВЫЕ РАЙОНЫ		I	II	III	IV
ПОПРАВОЧНЫЕ КОЭФФИЦИЕНТЫ		1,0	1,3	1,67	2,04

ТИП МЕСТНОСТИ „Б“

„Н“ М	q_y^* Т/М	q_y^* Т/М	„М“ ТМ	„Q“ Т	КОЭФФ „α“
60	3,95	4,06	5846,40	168,08	0,38
58	3,88	3,98	5355,48	161,58	0,39
56	3,82	3,89	4879,81	152,48	0,40
54	3,75	3,84	4478,97	145,15	0,40
52	3,68	3,81	4172,40	140,66	0,41
50	3,61	3,69	3736,12	133,0	0,41
48	3,54	3,62	3377,89	123,37	0,42
46	3,48	3,53	3027,71	117,07	0,43
44	3,41	3,45	2674,60	109,70	0,44
42	3,34	3,37	2437,31	103,82	0,45
40	3,27	3,20	2099,20	93,44	0,46
38	3,19	3,18	1907,44	89,51	0,48
36	3,11	3,10	1667,30	83,70	0,49
34	3,02	3,0	1458,0	77,52	0,51
32	2,94	2,92	1255,33	71,0	0,52
30	2,86	2,83	1081,71	65,38	0,54
28	2,78	2,73	921,35	59,69	0,56
26	2,70	2,64	767,39	54,22	0,58
24	2,62	2,57	636,53	48,72	0,58
22	2,53	2,46	577,92	43,29	0,60
20	2,45	2,20	396,0	37,40	0,70
18	2,32	2,15	320,43	34,05	0,76
16	2,18	2,01	244,41	29,58	0,83
14	2,04	1,90	180,61	25,27	0,90
12	1,91	1,84	128,50	21,19	0,91
10	1,77	—	88,50	17,70	—
8	1,77	—	56,64	14,16	—
6	1,77	—	31,86	10,62	—
4	1,77	—	14,16	7,08	—

ПРИМЕЧАНИЕ: Области, относящиеся к местностям типов
„А“ и „Б“, см. СНиП II-6-74

T.K.	УКАЗАНИЯ ПО ПРИМЕНЕНИЮ ВЕНТИЛЯЦИОННЫХ БЛОКОВ - СТЕНОК ЖЕСТКОСТИ И ВЕНТИЛЯЦИОННЫХ БЛОКОВ.	СЕРИЯ ЧИ-04-0
1975	ПОДСИТЕЛЬНАЯ ЗАПИСКА	выпуск 12 лист 6

13654 9

ЖЕСТКОСТИ И ГЕОМЕТРИЧЕСКИЕ ХАРАКТЕРИСТИКИ ДИАФРАГМ С КЛАВИНАМИ СЕЧ. 40x40 см

ТАБЛИЦА 2

ТИП ДИАФРАГМЫ	ЗЕСКИЗ ПРОФИЛЕЙ СЕЧЕНИЯ ДИАФРАГМЫ	ДИНАМ.	МАРКА БЕТОНА КЛАВИНЫ			ДАВЛЕНИЕ ПОВЕРХНОСТИ СЕЧЕНИЯ, Г/СМ ²	ГЕОМЕТРИЧЕС. ЧЕЛЮСТЬ, ММ	ТАЖЕСТИ, ММ	ИЗГИБЕН. ИНЕРЦИЯ, М ⁴	ЖЕСТКОСТЬ ПРИ ПОВРЕЖДЕНИИ, ТН ²	СТАТИЧЕСКИЙ МОМЕНТ ОТ СЕЧЕНОЙ ЧАСТИ ДИАФРАГМЫ, М ³				
			КЛAVИНА К1	КЛAVИНА К2	КЛAVИНА К3						Ч1	Ч2	Ч3	Ч4	Ч5
1		6.0	300	300	-	1.248	3.0	5.31	13.5×10^6	0.48	1.12	-	-	-	-
2		6.0	300	400	-	1.248	3.0	5.40	13.7×10^6	0.53	1.17	-	-	-	-
3		6.0	400	400	-	1.248	3.0	5.60	14.2×10^6	0.53	1.17	-	-	-	-
4		9.0	300	300	-	4.746	4.5	15.40	38.2×10^6	0.72	2.1	-	-	-	-
5		9.0	300	400	-	4.746	4.5	15.70	40.0×10^6	0.78	2.18	-	-	-	-
6		9.0	400	400	-	4.746	4.5	15.90	40.4×10^6	0.79	2.18	-	-	-	-
7		9.0	300 H 400	300 H 400	400	4.838			16.90×10^6	0.87	2.57	1.54	1.45	0.57	
8		9.0	300 H 400	300 H 400	400	4.838			17.30×10^6	0.87	2.57	1.70	1.50	0.63	
9		9.0	400 H 400	300 H 400	400	4.838			17.50×10^6	0.96	2.66	1.70	1.50	0.63	
10		12.0	300	300	300	2.264	6.0	33.07	88.0×10^6	0.96	3.18	3.75	-	-	-
11		12.0	300	300 H 400	400	2.264	6.0	33.50	88.5×10^6	0.96	3.18	3.84	3.19	1.86	
12		12.0	400	300 H 400	400	2.264	6.0	34.2	87.0×10^6	1.06	3.19	3.84	-	-	-
13		4.5	300	300	-	1.02	2.25	2.59	6.5×10^6	0.36	0.68	-	-	-	-
14		4.5	300	400	-	1.02	2.25	2.69	6.8×10^6	0.40	0.72	-	-	-	-
15		4.5	400	400	-	1.02	2.25	2.78	7.0×10^6	0.40	0.72	-	-	-	-

В ТАБЛИЦЕ 2 ЖЕСТКОСТИ ДИАФРАГМ ..0.. ПРИНЯТЫ С КОЭФФИЦИЕНТАМИ:
0,85 - по СНиП II-8.1-62
0,95 - на деформацию горизонтальных швов

1975
ТК
УДК 624.01:624.03
ДИАФРАГМЫ С КЛАВИНАМИ
ГОСУДАРСТВЕННАЯ ЗАЩИТА
Министерство промышленности и строительства СССР
Государственный инспекционный комитет по техническому надзору

1964/10

ЖЕСТКОСТНЫЕ И ГЕОМЕТРИЧЕСКИЕ ХАРАКТЕРИСТИКИ ДИАФРАГМ С КОЛОННАМИ СЕЧЕНИЕМ 30x30 см

ТАБЛИЦА 2

ТИП ДИАФРАГМЫ	ЭСКИЗ ПОПЕРЕЧНОГО СЕЧЕНИЯ ДИАФРАГМЫ	ДЛИНА М	МАРКА БЕТОНА КОЛОНН			ПЛОЩАДЬ ПОПЕРЕЧНОГО СЕЧЕНИЯ, м ²	ГЕОМЕТРИЧЕСКАЯ ЦЕНТР ВОГЛЮЧА- ЩЕЙ ПОЛОСЫ, М	МОМЕНТ М ⁴ ИНЕРЦИИ, Г- М	ЖЕСТКОСТЬ Т.М ² ПРИЧИНЕНИИ ВРУЧЕНИЯ	СТАТИСТИЧЕСКИЙ МОМЕНТ ОСЕЧЕННОЙ ЧАСТИ ДИАФРАГМЫ, м ³						
			Бетонная 1	Бетонная 2	Бетонная 3					1	2	3	4	5		
1.		6,0	300	300	—	1,10	3,0	4,00	104×10^6	0,27	0,91	—	—	—		
2.		6,0	300	400	—	1,10	3,0	4,10	104×10^6	0,30	0,94	—	—	—		
3.		6,0	400	400	—	1,10	3,0	4,20	106×10^6	0,30	0,94	—	—	—		
4.		9,0	300	300	—	1,60	4,5	12,5	$81,7 \times 10^6$	0,41	1,79	—	—	—		
5.		9,0	300	400	—	1,60	4,5	12,6	$82,0 \times 10^6$	0,45	1,79	—	—	—		
6.		9,0	400	400	—	1,60	4,5	12,7	$82,2 \times 10^6$	0,45	1,79	—	—	—		
7.		9,0	300	300 и 400	1,63					13,9	$35,8 \times 10^6$	0,49	2,19	1,25	1,80	0,32
8.		9,0	300	300 и 400	1,63					14,2	$36,0 \times 10^6$	0,54	2,34	1,28	1,88	0,35
9.		9,0	400	300 и 400	1,63					14,3	$36,3 \times 10^6$	0,54	2,34	1,28	1,83	0,35
10.		12,0	300	300	300	2,12	6,0	28,0	$71,0 \times 10^6$	0,54	2,68	3,33	—	—	—	
11.		12,0	300	300 и 400	2,12					28,3	$72,0 \times 10^6$	0,59	2,73	3,38	—	—
12.		12,0	400	300 и 400	2,12					28,6	$72,5 \times 10^6$	0,59	2,73	3,38	—	—
13.		4,5	300	300	—	0,88	2,25	1,90	$4,8 \times 10^6$	0,2	0,52	—	—	—	—	
14.		4,5	300	400	—	0,88	2,25	1,95	$4,9 \times 10^6$	0,22	0,54	—	—	—	—	
15.		4,5	400	400	—	0,88	2,25	1,99	$5,0 \times 10^6$	0,22	0,54	—	—	—	—	

В ТАБЛИЦЕ 2 ЖЕСТКОСТИ ДИАФРАГМ ВО ПРИНЯТЫ С КОЭФФИЦИЕНТАМИ:
0,85 - ПО СНиП II-1-62
0,95 - НА АДЕФОРМАЦИЮ ГОРИЗОНТАЛЬНЫХ ШВОВ.

IV-3 Определение изгибающих моментов в диафрагмах жесткости.

1. От горизонтальной нагрузки

При условии совпадения точки приложения равнодействующей горизонтальной нагрузки с центром жесткости будет иметь место только поступательные перемещения здания. В этом случае расчетный момент на здание $M_y^{\text{ог}}$ вычисляется по формуле:

$$M_y^{\text{ог}} = M_y \cdot Z_0; \quad M_z^{\text{ог}} = M_z \cdot Z_0 \quad (\text{IV.2})$$

Суммарный момент на здание $M^{\text{ог}}$ распределяется между диафрагмами по формулам (IV.5) - см. лист 10.

В формуле (IV.2) приваты следующие обозначения:

M_y, M_z - моменты от горизонтальной нагрузки соответственно в плоскости Y и Z , принимаемые по табл. № 1, с учетом, в необходимых случаях, указаний, приведенных в разделе IV-2.

Z_0, Z_2 - коэффициенты продольного изгиба, вычисляемые по формулам раздела IV-4.

В формулах (IV.2) и в дальнейших расчетах $M_y^{\text{ог}}$ и $M_z^{\text{ог}}$ считаются положительными, если направление ветровой нагрузки совпадает с направлением однотипных координатных осей и отрицательными, если направление ветровой нагрузки противоположно направлению однотипных координатных осей. При несовпадении точки приложения равнодействующей горизонтальной нагрузки с центром жесткости поступательные перемещения будут сопровождаться закручиванием. В этом случае необходимо вычислить сум-

марный бимомент в уровне низа диафрагм по формуле:

$$\pm \bar{B}M_y^{\text{ог}} = M_y^{\text{ог}} \cdot Z_0 \cdot Z_{22}; \quad \pm \bar{B}M_z^{\text{ог}} = M_z^{\text{ог}} \cdot Z_0 \cdot Z_{22} \quad (\text{IV.3}), \text{ где:}$$

$M_y, M_z^{\text{ог}}$ - вычисляются по формулам (IV.2).

Z_0, Z_2 - эксцентриситеты равнодействующих горизонтальных нагрузок относительно центра жесткости /см. рис. 2/

Z_{22} - коэффициент продольного изгиба /см. раздел IV-4/.

В формуле (IV.3) моменты от горизонтальной нагрузки $M_y^{\text{ог}}$ и $M_z^{\text{ог}}$ и эксцентриситеты Z_0, Z_2 принимаются со своими знаками в зависимости от направления их относительно координатных осей, причем направлением для Z_0, Z_2 считается направление от координатной оси в сторону равнодействующей горизонтальной нагрузки.

Полные изгибающие моменты M_{iy} и M_{iz} в каждой диафрагме жесткости вычисляются по формулам:

$$M_{iy}^{\text{ог}} = M_{iy}^{\text{ог}} + \Delta M_{iy}; \quad M_{iz}^{\text{ог}} = M_{iz}^{\text{ог}} + \Delta M_{iz} \quad (\text{IV.4}), \text{ где:}$$

$M_{iy}^{\text{ог}}, M_{iz}^{\text{ог}}$ - изгибающие моменты в данной диафрагме от поступательных перемещений.

$\Delta M_{iy}, \Delta M_{iz}$ - дополнительные изгибающие моменты от закручивания.

Здания.

В формуле (IV.4) значения $M_{iy}^{\text{ог}}$ представляются со своим знаком в соответствии с направлением относительно координатных осей Y и Z , а значение ΔM_{iy} со знаками, полученными в результате вычислений по формулам (IV.6).

Изгибающий момент $M_{iz}^{\text{ог}}$ в данной диафрагме от поступательных перемещений вычисляется по формулам: (IV.5-1) - для средних диафрагм и (IV.5-2) - для крайних диафрагм.

ТК	Указания по применению вентиляционных блоков-стенок жесткости и вентиляционных блоков	СЕРИЯ ЧИ-ОИ-0
1975	Пояснительная записка.	выпуск 12 лист 9

1. ДЛЯ СРЕДНИХ ДИАФРАГМ:

$$M_{i,j} = \frac{M_2''}{L} \left(\frac{m_1 \cdot l \cdot B_{i,j}}{B_{i,j} + B_{i-1,j}} + m_2 \frac{l}{2} + \frac{m_1 \cdot l \cdot B_{i,j}}{B_i + B_{i+1}} + m_2 \frac{l}{2} \right) \quad (\text{IV.5-1})$$

$$M_{i,j} = \frac{M_2''}{L} \left(\frac{m_1 \cdot l \cdot B_{i,j}}{B_{i,j} + B_{i-1,j}} + m_2 \frac{l}{2} + \frac{m_1 \cdot l \cdot B_{i,j}}{B_i + B_{i+1}} + \frac{l}{2} \right)$$

2. ДЛЯ КРАЙНИХ ДИАФРАГМ:

$$M_{i,j} = \frac{M_2''}{L} \left(\frac{m_1 \cdot l \cdot B_{i,j}}{B_{i,j} + B_{i-1,j}} + m_2 \frac{l}{2} \right) + \frac{M_2''}{L} l_x \quad (\text{IV.5-2})$$

$$M_{i,j} = \frac{M_2''}{L} \left(\frac{m_1 \cdot l \cdot B_{i,j}}{B_{i,j} + B_{i+1,j}} + m_2 \frac{l}{2} \right) + \frac{M_2''}{L} l_x$$

В формулах (IV.5-1) и (IV.5-2) принимают следующие обозначения:

m_1 — коэффициент, зависящий от жесткости дифрагмы, в зависимости от расстояния между ярами, при распределении суммарного момента от горизонтальной нагрузки между дифрагмами.

m_2 — коэффициент, зависящий от расстояния между дифрагмами.

Коэффициенты m_1 и m_2 принимаются по таблице 3 в зависимости от расстояния между ярами рассматриваемых дифрагм.

$i, i+1$ — расстояние между i -той дифрагмой, для которой определяется величина момента, и соседними дифрагмами, расположеннымми соответственно слева и справа от i -той дифрагмы.

$B_{i,j}$ — жесткость дифрагмы, для которой определяется величина момента.
 $B_{i-1,j}$; $B_{i+1,j}$ — жесткость соседних дифрагм, расположенных соответственно слева и справа от i -той дифрагмы.

l_x — длина консольного участка листа зеркальта.

L — длина здания, как температурного блока здания.

При определении долях моментов от горизонтальной нагрузки, приходящейся на средние дифрагмы, рассматриваются вновь три дифрагмы, где i -той является средняя дифрагма (для которой определяется величина момента), $i-1$; $i+1$ — соседние дифрагмы расположенные соответственно слева и справа от i -той дифрагмы.

ЗНАЧЕНИЯ КОЭФФИЦИЕНТОВ m_1 И m_2 ТАБЛИЦА 3

Расстояние между дифрагмами	3м	6м	12м	18м	24м	30м	36м	42м	48м и более
m_1	0,764	0,667	0,554	0,25	0,177	0,17	0,164	0,161	0,158
m_2	0,236	0,333	0,446	0,75	0,823	0,83	0,836	0,833	0,842

Несимметричные значения m_1 и m_2 определяются за счет переноски. При этом $m_1+m_2=1$.

Необходимо также учитывать коэффициенты жесткости дифрагм, расположенные за габаритные здания более 48 м вдоль расчетного направления. Значения коэффициентов приведены в таблице 31.

Т.К.	УКАЗАНИЯ ПО ПРИМЕНЕНИЮ ВЕНТИЛЯЦИОННЫХ БЛОКОВ-СТЕНОК ЖЕСТКОСТИ И ВЕНТИЛЯЦИОННЫХ БЛОКОВ.	СЕРИЯ ЦИ-04-0
1975	ПОДСИТИЛЬНАЯ ЗАПИСКА.	БЛЮЗЕК АЛОСТ 12 40

ТАБЛИЦА 3.1

ГЛУХИНА ЗДАНИЯ	18М	24М	30М	36М	42М	48М	54М	60М
ПОНИЖАЮЩИЙ КОЭФФИЦИЕНТ	1	0,94	0,87	0,80	0,75	0,75	0,71	0,70

ПРИМЕР 1 ОПРЕДЕЛЕНИЕ ИЗГИБАЮЩИХ МОМЕНТОВ В ДИАФРАГМАХ В ЗАВИСИМОСТИ ОТ ЖЕСТКОСТЕЙ ДИАФРАГМ И РАССТОЯНИЙ МЕЖДУ НИМИ (Рис. 4). МОМЕНТ ОТ ГОРizontalьной НАГРУЗКИ, ДЕЙСТВУЮЩЕЙ НА ЗДАНИЕ, РАВЕН 2400ТМ.

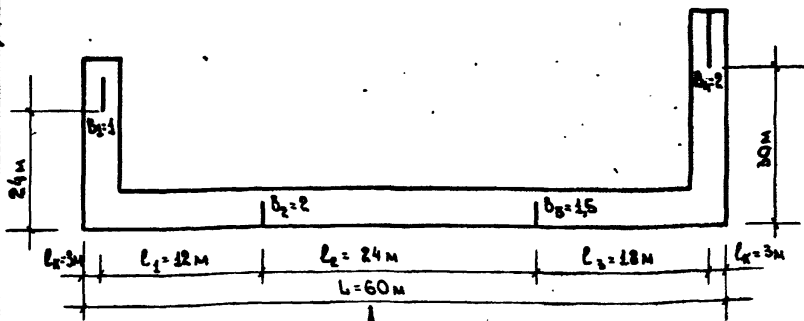


Рис. 4

При определении моментов в диафрагмах B_1 и B_2 используется формула (IV.5-2) - в диафрагмах B_2 и B_3 - формула (IV.5-1)

$$M_1^{\text{ог}} = \frac{2400}{60} \left(\frac{0,554 \times 12 \times 1}{1+2} + 0,446 \frac{12}{2} \right) + \frac{2400}{6} \times 3 = 395 \text{ Тм}$$

$$M_2^{\text{ог}} = \frac{2400}{60} \left(\frac{0,554 \times 12 \times 2}{2+1} + 0,446 \frac{12}{2} + \frac{0,177 \times 24 \times 2}{2+1,5} + 0,823 \frac{24}{2} \right) = 776 \text{ Тм}$$

$$M_3^{\text{ог}} = \frac{2400}{60} \left(\frac{0,177 \times 24 \times 1,5}{1,5+2} + 0,823 \frac{24}{2} + \frac{0,25 \times 18 \times 1,5}{1,5+2} + 0,75 \frac{18}{2} \right) = 816 \text{ Тм}$$

$$M_4^{\text{ог}} = \frac{2400}{60} \left(\frac{0,25 \times 18 \times 2}{2+1,5} + 0,75 \frac{18}{2} \right) + \frac{2400}{60} \times 3 = 493 \text{ Тм}$$

ПРОВЕРКА: $\leq M_i^{\text{ог}} = 395 + 776 + 816 + 493 = 2400 \text{ Тм}$

ДЛЯ ДИАФРАГМ B_1 И B_2 НЕОБХОДИМО УЧЕСТЬ ПОНИЖАЮЩИЕ КОЭФ-

ФИКЕНТЫ, ТАК КАК ОНИ УДЕЛЕНЫ В ГЛАХУНУ ЗДАНИЯ БОЛЕЕ 48М ЗАВИСИМОСТИ ОТ ЖЕСТКОСТЕЙ ДИАФРАГМ И РАССТОЯНИЙ МЕЖДУ НИМИ. ПОНИЖАЮЩИЕ КОЭФФИЦИЕНТЫ ВЫЧИСЛЯЮТСЯ ПО ТАБЛИЦЕ 3.1 ОБРАЗУЕТЕЛЬНЫЕ МОМЕНТЫ НА ДИАФРАГМЫ B_1 И B_2 .

$$M_1^{\text{ог}} = 395 \times 0,94 = 367 \text{ Тм}$$

$$M_2^{\text{ог}} = 776 \times 0,87 = 669 \text{ Тм}$$

Остаток момента распределяется между диафрагмами B_2 и B_3 .

Образуемый момент на диафрагме B_2 и B_3 :

$$\Delta M = \frac{345 + 493 - 296 - 429}{2} = 44,5$$

Образуемый момент на диафрагме B_2 и B_3 :

$$M_2^{\text{ог}} = 776 + 44,5 = 817,5 \text{ Тм}$$

$$M_3^{\text{ог}} = 816 + 44,5 = 857,5 \text{ Тм}$$

ПРОВЕРКА: $\leq M_i^{\text{ог}} = 296 + 429 + 817,5 + 857,5 = 2400 \text{ Тм}$

Образуемый изгибающий момент $\Delta M_i^{\text{ог}}$ для данной диафрагмы, возникший от закручивания здания, вычисляется по формулам:

- 1) При действии горизонтальной нагрузки в плоскости координатной оси "Y":

$$\Delta M_{i,y} = \pm \frac{BM_i^{\text{ог}} Z_i B_{i,y}}{D_{i,yz}}; \quad M_{i,z} = -\Delta M_{i,y} = -\frac{(\pm BM_i^{\text{ог}})}{D_{i,yz}} \frac{Z_i B_{i,y}}{B_{i,z}} \quad (\text{IV.6-1})$$

- 2) При действии горизонтальной нагрузки в плоскости координатной оси "Z":

$$\Delta M_{i,z} = \pm \frac{BM_i^{\text{ог}}}{D_{i,yz}} \frac{Y_i B_{i,y}}{B_{i,z}}; \quad M_{i,y} = -\Delta M_{i,z} = -\frac{(\pm BM_i^{\text{ог}})}{D_{i,yz}} \frac{Y_i B_{i,y}}{B_{i,z}} \quad (\text{IV.6-2})$$

В формулах (IV.6) координаты диафрагм Y_i и Z_i подставляются со знаками зваками, в соответствии с направлением относительного координатных осей "Y" и "Z", а значение $\pm BM_i^{\text{ог}}$ с знаком, полученным в результате вычислений по формуле (IV.5).

П.К.	УКАЗАНИЯ ПО ПРИМЕНЕНИЮ ВЕНТИЛЯЦИОННЫХ БЛОКОВ-СТЕНОК ЖЕСТКОСТИ И ВЕНТИЛЯЦИОННЫХ БЛОКОВ	СЕРИЯ ЦИ-ОЧ-О
1975	ПОВСИНТЕЛЬНАЯ ЗАПИСКА	ВЫПУСК АЛСТ 42 33

Общая жесткость D_{yz} пространственной несущей системы при

повороте здания определяется по формуле:

$$D_{yz} = \leq (Bz_y \times z_i^2 + Bz_x \times y_i^2) \quad (\text{IV.7})$$

2. От вертикальной нагрузки.

Как уже упоминалось в разделе IV-2, причиной возникновения момента от вертикальной нагрузки при ее центральном приложении к элементам диафрагмы является различная деформация этих элементов. Так как элементы диафрагмы связаны между собой сваркой закладных деталей, то вследствие различной деформации элементов возникает момент во всей диафрагме. Величина этого момента зависит не только от площади поперечного сечения и марки бетона, но также и от количества арматуры, содержащейся в том или ином элементе диафрагмы. Поэтому, чтобы правильно определить величину момента от вертикальной нагрузки, необходимо найти положение условного центра поперечного сечения системы с учетом приведенных площадей элементов диафрагмы. Если диафрагменные колонны имеют однаковую несущую способность и расположены симметрично относительно середины поперечного сечения диафрагмы /2^з-колонны и симметричные 3^з-колонные диафрагмы/, то условный центр тяжести системы совпадает с геометрическим центром тяжести /см. таблицу 2/. Если же в 2^з-колонных /а также крайние/ колонны в симметричных 3^з-колонных диафрагмах применяются колонны с различной несущей способностью, как в 3^з-колонных диафрагмах колонны расположены не симметрично относительно середины поперечного сечения системы, то такие диафрагмы являются несиммет-

рическими.

Положение условного центра тяжести поперечного сечения системы для таких диафрагм определяется по формуле:

$$y_{yz} = \frac{\leq F_{pr} \cdot a}{\leq F_{pr}} \quad (\text{IV.8}), \text{ где:}$$

F_{pr} - приведенные площади /с учетом арматуры и марки бетона/ элементов диафрагмы.

a - расстояние от центра тяжести элемента диафрагмы до оси крайней колонны.

y_{zt} - расстояние от оси крайней колонны /относительно которой бралась площадка^{площадка}/ до центра тяжести сечения.

Приведенные площади к вентиляционным блокам-стенкам жесткости даны в таблице 4.

ТАБЛИЦА 4

ВЕНТИЛЯЦИОННЫЕ БЛОКИ-СТЕНКИ ЖЕСТКОСТИ БЛОКИ ТИПА „BBC“		КОЛОНИИ										ПРИВЕДЕННЫЕ ПЛОЩАДИ ПОПЕРЕЧНОГО СЕЧЕНИЯ КОЛОНН					ПОПЕРЕЧНОГО СЕЧЕНИЕМ 300x300 С НЕСУЩЕЙ СПОСОБНОСТЬЮ ПРИ ЦЕНТРАЛЬНОМ СЖАТИИ				
МАРКА БЛОКА	ПРИВЕДЕННАЯ ПЛОЩАДЬ ПОПЕРЕЧНОГО СЕЧЕНИЯ БЛОКА, F_{pr} , m^2	ПРИВЕДЕННЫЕ ПЛОЩАДИ ПОПЕРЕЧНОГО СЕЧЕНИЯ КОЛОНН					ПОПЕРЕЧНОГО СЕЧЕНИЕМ 400x400 С НЕСУЩЕЙ СПОСОБНОСТЬЮ ПРИ ЦЕНТРАЛЬНОМ СЖАТИИ					ПОПЕРЕЧНОГО СЕЧЕНИЕМ 300x300 С НЕСУЩЕЙ СПОСОБНОСТЬЮ ПРИ ЦЕНТРАЛЬНОМ СЖАТИИ					ПОПЕРЕЧНОГО СЕЧЕНИЕМ 400x400 С НЕСУЩЕЙ СПОСОБНОСТЬЮ ПРИ ЦЕНТРАЛЬНОМ СЖАТИИ				
		120т	140т	170т	230т	290т	240т	290т	340т	400т	520т	580т	120т	140т	170т	230т	290т	340т	400т		
БЛОКИ ТИПА „BBC-30“ /длиной 2980 мм/	0,507	0,093	0,106	0,107	0,119	0,131	0,168	0,185	0,210	0,207	0,224	0,241	0,098	0,107	0,119	0,131	0,168	0,185	0,210		
БЛОКИ ТИПА „BBC-26“ /длиной 2560 мм/	0,438																				
БЛОКИ ТИПА „BBC-15“ /длиной 1480 мм/	0,275																				

* Для колонн сечением 300x300 во втором графе, в частности дана приведенная площадь колонн марок: КВК-333-14, КВК-336-14, КВК-342-14, КР-333-14, КР-336-14, КР-342-14, КК-333-14, КК-336-14, КК-342-14. Для всех остальных колонн сечением 300x300 с несущей способностью при центральном сжатии 140т приведенная площадь указана в знаменателе.

Т.К. 1975	УКАЗАНИЯ ПО ПРИМЕНЕНИЮ ВЕНТИЛЯЦИОННЫХ БЛОКОВ-СТЕНОК ЖЕСТКОСТИ И ВЕНТИЛЯЦИОННЫХ БЛОКОВ ПОЗОНИТЕЛЬНАЯ ЗАПИСКА	СЕРИЯ ШИ-04-0
		выпуск лист 32 32

ПОСЛЕ ОПРЕДЕЛЕНИЯ ПОЛОЖЕНИЯ ЦЕНТРА ТЯЖЕСТИ СИСТЕМЫ МОМЕНТЫ ОТ ВЕРТИКАЛЬНОЙ НАГРУЗКИ, ВОЗНИКАЮЩИЙ В ДИАФРАГМЕ, ОПРЕДЕЛЯЕТСЯ, КАК АЛГЕБРАИЧЕСКАЯ СУММА МОМЕНТОВ ОТ ВЕРТИКАЛЬНЫХ СИЛ ОТНОСИТЕЛЬНО УСЛОВНОГО ЦЕНТРА ТЯЖЕСТИ ПОДРЕЧНОГО СЕЧЕНИЯ ДИАФРАГМЫ:

$$\pm M_i^{\text{об}} = \sum N e \varphi \quad (\text{IV.9}), \text{ ГДЕ:}$$

N-ВЕРТИКАЛЬНЫЕ НАГРУЗКИ НА ЭЛЕМЕНТЫ ДИАФРАГМЫ, ОПРЕДЕЛЯЕМЫЕ ПО ГРУЗОВОЙ ПЛОЩАДИ /Нагрузки приложены центрально/
E-ЭКСПЕНЦИАЛЬНОСТЬ ВЕРТИКАЛЬНЫХ СИЛ **N**" ОТНОСИТЕЛЬНО ОСНОВНОГО ЦЕНТРА ТЯЖЕСТИ ПОВЕРХНОСТИ СЕЧЕНИЯ ДИАФРАГМЫ.

2-КОЭФФИЦИЕНТ ПРЯДОЛЬНОГО ИЗГИБА /СМ. РАЗДЕЛ IV-4/.
 В ФОРМУЛЕ (IV.9) ЭКСПОНЕНТИТЕЛИ ЕНА e^{θ} ПРИНИМАЮТСЯ СО СВОИМИ
 ЗНАКАМИ В СООТВЕТСТВИИ С НАПРАВЛЕНИЕМ КООРДИНАТНЫХ ОСЕЙ.

ПРИМЕР 2. Определить момент, возникающий в 2^х колонной диафрагме от вертикальной нагрузки. Нагрузки приложены к элементам диафрагмы центрально и составляют $N_{ik} = 200\text{т}$; $N_{ek} = 320\text{т}$; $q_c = 15\text{т}/\text{м}$. Расстояние между осями колонн $L = 6\text{м}$. Данна стеники жесткости $\ell_c = 5,6\text{м}$. Несущая способность при центральном сжатии колонны $K_1 = 240\text{т}$, колонны $K_2 = 400\text{т}$. Стенка жесткости состоит из блоков: типа "ВБР-30" /данные блока 2980мм/ и типа "ВБР-26" /данные блока 2560мм/.

Все обозначения приведены в соответствии с рис. 5

ПРИВЕДЕННЫЕ ПЛОЩАДИ КОЛОНН И СТЕНКИ ЖЕСТКОСТИ ПРИНЯМАЮТСЯ
ВО ТАБЛИЦЕ 4.

$$F_c^{np} = 0,504 + 0,438 = 0,945 \text{ N}^2$$

$$F_{15}^{sp} = 0,168 \text{ m}^2$$

$$F_{2k}^{sp} = 0.207 \text{ N}^2$$

$$\text{Rozporušovací (IV.8) } - y_{4,1} = \frac{0,168 \times 6 + 0,945 \times 3}{0,168 + 0,207 + 0,945} = 2,91 \text{ m}$$

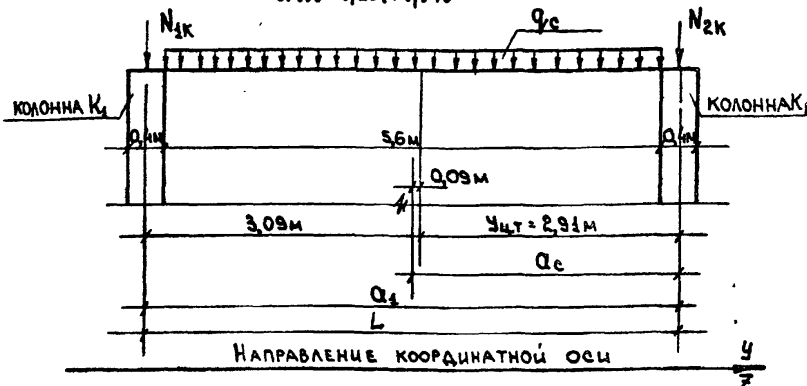


Fig. 5

$$R_0 \text{ ПРИМУЧЕ } (\bar{y}, 9) : M_1^{08} = +320 \times 2,91 - 200 \times 3,09 - (15 \times 5,6 \times 0,09) = 307 \text{ тн}$$

В приведенном примере коэффициент продольного изгиба \bar{z} условно не учитывается.

Положение условного центра тяжести и величина момента "М_A^{об}" в зоне кавитационных диафрагм определяется аналогично.

ПРАВИЕ ИЗГИБАЮЩИЕ МОМЕНТЫ В ДИАФРАГМАХ ОТ ВЕРТИКАЛЬНОЙ НАГРУЗКИ ОПРЕДЕЛЯЮТСЯ ПРИДОЧИЧНО ВОЗДЕЛЕНИЮ ГОЛЫХ МОМЕНТОВ ОТ ГОРизОНТАЛЬНОЙ НАГРУЗКИ:

$$M_i^b = M_i^b + \Delta M_i \quad (\text{IV. 10}), \text{ где:}$$

M_i^{ob} - вычисляется по формулам (IV.9) или (IV.13)

ΔM_1^B - дополнительный момент от вертикальной нагрузки, возникающей в "Б-той" диафрагме в результате закручивания здания.

T.K.	УКАЗАНИЯ ПО ПРИМЕНЕНИЮ ВЕНТИЛЯЦИОННЫХ БЛОКОВ-СТЕНОК ЖЕСТКОСТИ И ВЕНТИЛЯЦИОННЫХ БЛОКОВ.	СЕРИЯ ЧИ-04 - О
1975	Пояснительная записка.	ВЫПУСК 12 ЛИСТ 13

В формуле (IV.10) значение M_{ik}^{08} подставляется со своим знаком в соответствии с направлением относительно координатных осей "У" и "Z", а значение ΔM_{ik}^8 со знаком, полученным в результате вычислений по формуле (IV.11). Дополнительный момент ΔM_{ik}^8 при действии вертикальной нагрузки в плоскости координатной оси "У" определяется по формуле:

$$\Delta M_{ik}^8 = \pm B M_y^8 \frac{Z_i B_{yz}}{D_{yz}} ; \quad \Delta M_{ik}^8 = - (\pm B M_y^8) \frac{Y_i B_{yz}}{D_{yz}} \quad (IV.11-1)$$

При действии вертикальной нагрузки в плоскости координатной оси "Z" - по формуле:

$$\Delta M_{ik}^8 = \pm B M_z^8 \frac{Y_i B_{yz}}{D_{yz}} ; \quad \Delta M_{ik}^8 = - (\pm B M_z^8) \frac{Z_i B_{yz}}{D_{yz}} \quad (IV.11-2)$$

В формулы (IV.11) координаты дифрагм "У" и "Z" подставляются со своими знаками, в соответствии с направлением относительно координатных осей "У" и "Z", а значение $B M^8$ со знаком, полученным в результате вычислений по формуле (IV.12). Суммарный бимомент на здание, возникающий от вертикальной нагрузки, находится по формуле:

$$\pm B M_y^8 = \leq M_{ik}^{08} \cdot Z_i \cdot B_{yz} ; \quad \pm B M_z^8 = \leq M_{ik}^{08} \cdot Y_i \cdot B_{yz} \quad (IV.12)$$

В формуле (IV.12) значение момента M_{ik}^{08} и координаты "У" и "Z" подставляются со своими знаками, в соответствии с направлением относительно координатных осей "У" и "Z".

Рассмотренные случаи приведены при центральном приложении вертикальной нагрузки к элементам дифрагм.

Если вертикальная нагрузка приложена к элементам дифрагмы внеконтренно и удельное значение этой нагрузки различно, то она прибавляется к центральной нагрузке к моментам относительно собственных осей

каких осей элементов дифрагмы. Эти моменты в принятой системе координат положительны, если направление их совпадает с направлением координатных осей и отрицательны, если направление противоположно координатным осям. После чего момент от вертикальной нагрузки, приложенной центрально к элементам дифрагм, определяется точно в соответствии с методикой, изложенной ранее, и суммируется с моментами M_{ik}^{08} , возникавшими в элементах дифрагм от внеконтренного приложения она относительно их собственных осей.

$$M_i = (\Sigma N_i + \Sigma M^8) \cdot z \quad (IV.13)$$

ПРИМЕР 3. Условия задачи те же, что примере 2, отом лишь различий, что сдвиг N_{ik} и N_{2k} приложен к колоннам внеконтренно. Эксцентриситет сдвига N_{ik} равен 0,2 м и направлен противоположно координатной оси ($e_{ik} = -0,2$ м). Эксцентриситет сдвига N_{2k} равен 0,3 м и направление его совпадает с направлением координатной оси ($e_{2k} = +0,3$ м). В данном случае сдвиги N_{ik} и N_{2k} является сумма всех вертикальных сдвигов, приложенных к колонне в уровне всех вышележащих этажей. Эксцентриситет e^0 , есть сумма моментов всех сдвигов, поделенная на сумму сдвигов.

$$e^0 = \frac{\Sigma N_i \cdot e_{ik}}{\Sigma N_i} \quad (IV.14)$$

Сдвиги N_{ik} и N_{2k} приводятся к центральному положению относительно собственных осей колонн и определяются моменты M_{ik}^0 и M_{2k}^0

$$M_{ik}^0 = 200 \cdot (-0,2) = -40 \text{ Тм} ; \quad M_{2k}^0 = 360 \cdot 0,3 = 108 \text{ Тм}$$

ТК.	УКАЗАНИЯ ПО ПРИМЕНЕНИЮ ВЕНТИЛЯЦИОННЫХ БЛОКОВ - СТЕНОК ЖЕСТКОСТИ И ВЕНТИЛЯЦИОННЫХ БЛОКОВ	СЕРИЯ ЧИ-04-0
1975	Позитивная записка	выпуск лист 12 14

Момент от вертикальной нагрузки, приложенной центрально, подсчитан в примере 2 и равен +307 тм. Суммарный момент определяется по формуле (IV.14) $M_A^{**} = +307 - 40 + 108 = +375$ тм.

Коэффициент продольного изгиба γ_z в приведенном примере усвоено не учитывается.

Если равнодействующая нагрузки $R_{\text{с}}$ так же приложена эксцентрично к стенке жесткости относительно ее собственной оси, то возникающий при этом момент учитывается в формуле (IV.14).

Для уменьшения момента от вертикальной нагрузки диафрагменные колонны следует подбирать в соответствии с вертикальными силами, действующими на них: под большую нагрузку устанавливать колонны с большей несущей способностью, под меньшую — с меньшей несущей способностью.

После определения моментов M_A^{**} , возникающих непосредственно в каждой диафрагме, они распределяются между диафрагмами в зависимости от их жесткостей к расстоянию между ними.

Распределение моментов от вертикальной нагрузки между диафрагмами.

Как упоминалось ранее, распределение моментов между диафрагмами зависит от жесткостей диафрагм к расстоянию между ними. При распределении момента от горизонтальной нагрузки это обстоятельство учитывается с помощью коэффициента m_1 , значение которого дано в таблице 3. Коэффициент m_1 может быть применен к при распределению моментов

от вертикальной нагрузки между диафрагмами. Допущенная при этом погрешность будет невелика. Жесткости диафрагм, при распределении моментов от вертикальной нагрузки принимаются следующие:

- для диафрагм, на которой возникает момент, жесткость принимается с коэффициентом $m_1 = 1$.
- для i-той диафрагмы жесткость принимается с коэффициентом m_i , значение которого зависит от расстояния между рассматриваемой диафрагмой и диафрагмой, на которой возникает момент.

Исходные жесткости диафрагм, m_i , принимаются с учетом коэффициента $K_{\text{ко}}$. Момент в i-той диафрагме:

$$\pm M_i = \frac{M_A^{**} \times B_i \times m_i}{\sum B_i \times m_i} \quad (\text{IV.15})$$

Моменты от вертикальной нагрузки распределяются между диафрагмами последовательно от каждой исходной диафрагмы /при наличии в ней момента/, полученные результаты для каждой диафрагмы суммируются /см. пример 4/.

IV-4. Учет продольного изгиба

Суммарные расчетные изгибающие моменты и бимомент, действующие на все здание, следует умножать на коэффициенты продольного изгиба, которые определяются по формулам:

$$\gamma_y = 1 + \frac{H^2 \leq R_y}{8 \sum B_{yz}} (1 + 4R_y) \quad (\text{IV.16})$$

$$\gamma_x = 1 + \frac{H^2 \leq R_x}{8 \sum B_{xz}} (1 + 4R_x) \quad (\text{IV.17})$$

$$\gamma_{yz} = 1 + \frac{H^2 \leq R_{yz}}{8 \sum B_{yz}} (1 + 4R_{yz}) \quad (\text{IV.18}), \text{ где:}$$

Т.К.	УКАЗАНИЯ ПО ПРИМЕНЕНИЮ ВЕНТИЛЯЦИОННЫХ БЛОКОВ-СТЕНОК ЖЕСТКОСТИ И ВЕНТИЛЯЦИОННЫХ БЛОКОВ	СЕРИЯ ЧИ-04-0
1976	ПОСЛЕДИТЕЛЬНАЯ ЗАПИСКА.	БИЛУК 22 Лист 25

$R_y; R_z; R_{yz}$ - характеристики податливости основания здания при
поступательных перемещениях в направлении осей Y^H, Z^H
и при закручивании.

D_{yz} - см. формулу (IV.7)

H - высота здания

В формулах (IV.16) - (IV.18) суммирование производится для
всех колонн и дифрагм здания. При этом $\leq R_i$ - вес здания. Критическую
характеристику вертикальной нагрузки при равномерном распределении
нагрузок в плане к n этажам вычисляется по формуле:

$$\leq R_i (Y_i^2 + Z_i^2) = \frac{\leq R_i}{P} (Y_i + Z_i), \text{ где:}$$

F - площадь плана здания.

$Y_i; Z_i$ - моменты инерции плана здания относительно осей Y^H, Z^H соответственно.

Характеристики податливости основания здания равны:

$$R_y = \frac{\leq B_{yz}}{H \leq m_{1y}}; R_z = \frac{\leq B_{iz}}{H \leq m_{1z}}; R_{yz} = \frac{D_{yz}}{H \leq (m_{1y} Z_i^2 + m_{1z} Y_i^2)} \quad (\text{IV.19})$$

В формулах (IV.19) обозначено:

$m_{1y}; m_{1z}$ - коэффициенты жесткости основания фундамента каждой дифрагмы, а суммирование распространяется на все дифрагмы. Коэффициент m_i^H - жесткость основания под фундаментом дифрагмы, вычисляется в соответствии с указаниями СНиП II-15-74

$$m_i^H = \frac{E_{cp} k^{1/3}}{(1 - \mu_{cp}^2) K} \quad (\text{IV.20}), \text{ где:}$$

K - размер фундамента в плоскости дифрагмы, детальные обозначения по СНиП II-15-74 (п. 5.21). Коэффициент K^H вычисляется по графикам для K_1^H или K_2^H по рис. 4 СНиП II-15-74.

При абсолютном жестком основании для каждого фундамента справ-

ляет приближение $\frac{1}{m_i} = 0$ к характеристикам податливости основания для всего здания $R=0$.

IV-5. Проверка прочности дифрагм

1. Прочность дифрагм в нормальном сечении.

После определения моментов, возникающих в дифрагмах от горизонтальной и вертикальной нагрузок, полный изгибающий момент в дифрагме определяется по формулам:

а) при совпадении равнодействующих горизонтальных нагрузок с центром жесткости:

$$M_{1A} = M_1^H + M_1^B \quad (\text{IV.21})$$

б) при несовпадении равнодействующих горизонтальных нагрузок в центре жесткости:

$$M_{1A} = M_1^F + M_1^B \quad (\text{IV.22})$$

M_1^H - определяется по формуле (IV.4)

M_1^B - определяется по формулам (IV.5-1); (IV.5-2)

M_1^F - определяется по формуле (IV.10)

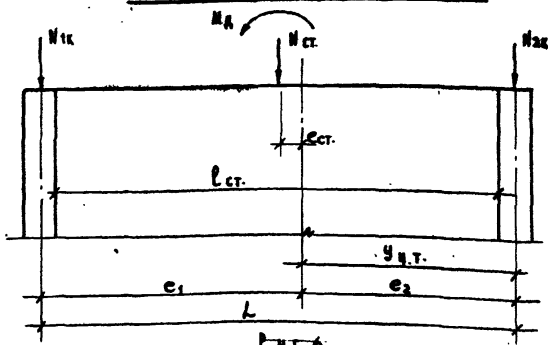
Моменты $M_1^H; M_1^B; M_1^F$ признакаются со своим знаком.

Проверка прочности дифрагм производится в соответствии с формулой СНиП II-15-62 для трехцентрических сжатых элементов, с учетом допустимых нагрузок на элементы дифрагм. При этом действующие напряжения на уровне оси хорд при расчете определяются (см. рис. 4).

Схема нагрузок на дифрагмы, расчетная схема и допустимые зоны изгибающей приведены на рис. 6 и 7.

TK	УКАЗАНИЯ ПО ОПРЕДЕЛЕНИЮ ВЕНТИЛЯЦИОННЫХ БЛОКОВ-СТЕНОК ЖЕСТКОСТИ И ВЕНТИЛЯЦИОННЫХ БЛОКОВ	СЕРИЯ НН-04-0
1975	ПОДСИНТЕРНАЯ ЗАПИСКА	ФОРМА № 12 АКТ 16

СХЕМА НАГРУЗОК НА ДИАФРАГМУ



ПРОСТЫЕ СХЕМЫ

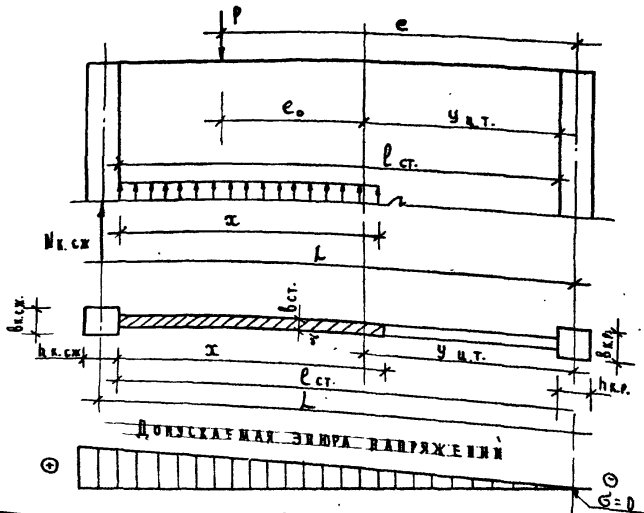


ДИАГРАММА ЭВРИКА НАГРУЗКИ

Рис.7

На рис. 6 и 7 привати следующие обозначения:

$P = N_{CK} + N_{CX} + N_{CZ}$ - разнодействующая вертикальных нагрузок

N_{CK} - вертикальная нагрузка на колонну, сжатую от изгиба

N_{CX} - вертикальная нагрузка на колонну, растянутую от изгиба

N_{CZ} - вертикальная нагрузка на стенку жесткости

M_d - изгибающий момент, действующий на диафрагму

$N_{CK,cr}$ - предельно допускаемая нагрузка при центральном сжатии на колонну сжатую от изгиба

L - длина диафрагмы

l_{st} - длина стекки жесткости

$e = e_0 + y_{st}$ - эксцентриситет разнодействующей P относительно оси колонны, растянутой от изгиба.

$e_0 = \frac{M_d}{P}$ - эксцентриситет разнодействующей P относительно оси центра тяжести диафрагмы.

h - высота сжатой зоны стекки жесткости.

h_{CK} ; h_{CR} - ширина колонны соответственно сжатой и растянутой от изгиба.

h_{CX} ; h_{CR} - высота колонны соответственно сжатой и растянутой от изгиба.

$b_{st} = 12\text{ см}$ - приведенная к планетарному сечению толщина стекки жесткости.

Приведенная толщина $b_{st} = 12\text{ см}$ определена с учетом ослабления конгруэнтного сечения стекки жесткости отверстиями, пробиваемыми при открытии вентиляционных каналов. При этом принималось условие, что в зоне,

ТК	УКАЗАНИЯ ПО ПРИМЕНЕНИЮ ВЕНТИЛЯЦИОННЫХ БАДКОВ СТЕНОК ЖЕСТКОСТИ И ВЕНТИЛЯЦИОННЫХ БАДКОВ	СЕР. №
1975	Пояснительная записка	ИК-04-0 декабрь 1975 г. август 1977 г.

13654 20

сжатой от изгиба, открыты все вентиляционные каналы, что является наиболее часто встречающимся случаем для стекок жесткости, находящихся в техническом подполье /нижний ярус блоков-стенок жесткости/. Если вентиляционные каналы, находящиеся в сжатой от изгиба зоне, открываются не все, приведенная толщина стенки жесткости $\delta_{ст}$ может быть увеличена, в зависимости от количества открываемых каналов.

При определении приведенной толщины стенки жесткости $\delta_{ст}$ арматура вентиляционных блоков не учитывалась, что обеспечивает некоторый незначительный запас прочности.

Проверка прочности диафрагмы начинается с определения высоты сжатой зоны "Х₀" с учетом несущей способности колонны, сжатой от изгиба $N_{к.см}$.

При этом условие в арматуре колонны, растянутой от изгиба, принимается $F_a R_a = 0$.

1 ВЫХОДНЫЕ ДИАФРАГМЫ

$$\bar{x}_0 = \frac{P - N_{к.см}}{R_{ст}^{np} \cdot b_{ст}} \quad (\text{IV. 23})$$

1. При $\bar{x}_0 < 0$ прочность диафрагмы проверяется прямоугольному сечению с шириной, равной $b_{к.см}$.

Определяется высота сжатой зоны "Х₀"

$$\bar{x}_0 = \frac{P - F_a R_a}{R_{к.см}^{np} \cdot b_{к.см}} \quad (\text{IV. 24})$$

Условие прочности:

$$P_e \leq 0.95 [R_{к.см}^{np} \cdot b_{к.см} \cdot \bar{x}_0 (L + \frac{h_{к.см}}{2} - \frac{\bar{x}_0}{2}) + \frac{F_a R_a}{2} (L + \frac{h_{к.см}}{2} - \bar{x}_0)] \quad (\text{IV. 25})$$

2. При $\bar{x}_0 = 0$

Условие прочности: $P_e \leq 0.95 N_{к.см}$. (IV. 26)

3. При $0 < \bar{x}_0 \leq \ell_{ст}$; $\bar{x}_0 = x_0$

Условие прочности:

$$P_e \leq 0.95 [N_{к.см} \cdot L + R_{ст}^{np} \cdot b_{ст} \cdot \bar{x}_0 (\frac{h_{к.см}}{2} + \frac{\bar{x}_0}{2} - \frac{\alpha}{2})] \quad (\text{IV. 27})$$

$$4. \text{ При } \bar{x}_0 > \ell_{ст} \\ \bar{x}_0 = \frac{P - N_{к.см} - R_{ст}^{np} \cdot b_{ст} \cdot \ell_{ст} - F_a R_a}{R_{к.см}^{np} \cdot b_{ст}} \quad (\text{IV. 28})$$

$$\text{При этом должно соблюдаться условие:} \\ \bar{x}_0 = \frac{P - N_{к.см} - R_{ст}^{np} \cdot b_{ст} \cdot \ell_{ст} - F_a R_a}{R_{к.см}^{np} \cdot b_{ст}} \leq h_{к.см}$$

При $\bar{x}_0 = h_{к.см}$ диафрагма работает на центральное сжатие
Условие прочности:

$$P_e \leq 0.95 [N_{к.см} \cdot L + R_{ст}^{np} \cdot b_{ст} \cdot \ell_{ст} (\frac{h_{к.см}}{2} + \frac{\bar{x}_0}{2}) + R_{к.см}^{np} \cdot b_{к.см} \cdot \bar{x}_0 (\frac{h_{к.см}}{2} - \frac{\alpha}{2}) + \frac{F_a R_a}{2} (\frac{h_{к.см}}{2} - \alpha)] \quad (\text{IV. 29})$$

В формулах (IV. 23) ÷ (IV. 29) приняты следующие обозначения:

$R_{ст}^{np} = 1300 \text{ Т/м}^2$ - призменная прочность бетона стенки жесткости.

$R_{к.см}^{np}; R_{к.см}$ - призменная прочность бетона соответственно колонны, сжатой от изгиба и колонны, растянутой от изгиба.

$F_a R_a$; $F_a R_a$ - предельное усилие, воспринимаемое арматурой соответственно колонны, сжатой от изгиба и колонны, растянутой от изгиба.

Остальные обозначения см. рис. 6 и 7.

В формулах (IV. 25); (IV. 26); (IV. 27); (IV. 29) в левой части формул коэффициент $K = 0,95$ учитывает податливость связей.

2 КОЛОННЫЕ ДИАФРАГМЫ

Проверка прочности 2 колонных диафрагм производится аналогичным способом. Высота сжатой зоны "Х₀" с учетом несущей способности колонн, сжатой от изгиба, и частично средней колонны определяется по формуле:

$$\bar{x}_0 = \frac{P - N_{к.см} - N_{к.ср}}{R_{ст}^{np} \cdot b_{ст}} \quad (\text{IV. 30}), \text{ где:}$$

$$N_{к.ср} = R_{к.ср}^{np} \cdot h_{к.ср} \cdot (b_{к.ср} - b_{ст}) + F_{ак.ср} \cdot R_{ак.ср} \quad (\text{IV. 31})$$

ТК	УКАЗАНИЯ ПО ПРИМЕНЕНИЮ ВЕНТИЛЯЦИОННЫХ БЛОКОВ СТЕНОК ЖЕСТКОСТИ И ВЕНТИЛЯЦИОННЫХ БЛОКОВ СЕР. №	СЕР. №
1975	Пояснительная записка	НИ-84-0
		12 18

СХЕМА НАГРУЗОК НА З^Х КВАДРАТНЮЮ ДИАФРАГМУ

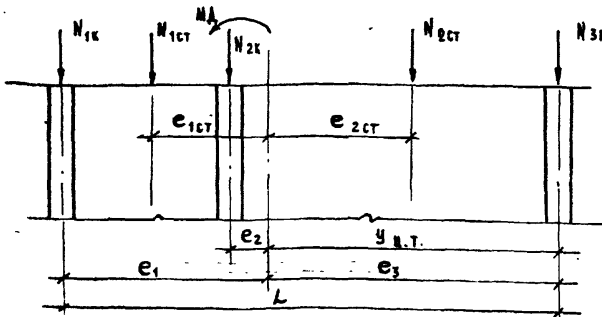


Рис.8

РАСЧЕТНАЯ СХЕМА

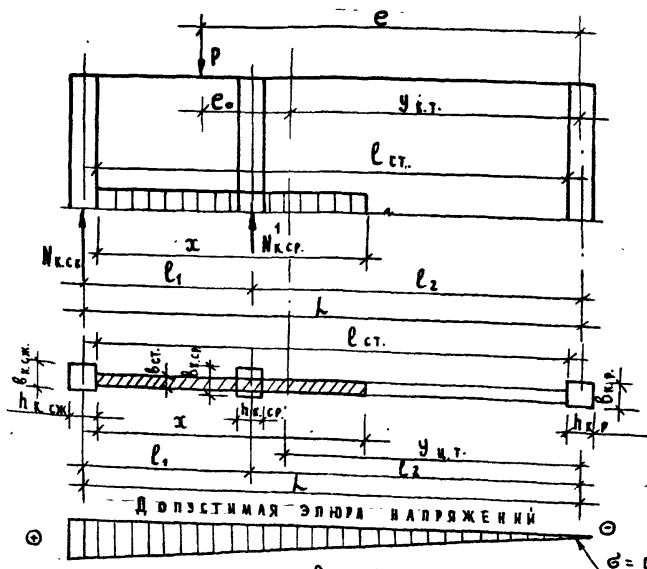


Рис.9

В ФОРМУЛЕ (IV.34) ПРИНЯТЫ ОБОЗНАЧЕНИЯ:

$N_{k,cr}$ - ПРИЗМЕННАЯ ПРОЧНОСТЬ БЕТОНА СРЕДНЕЙ ХВАИНЫ
 $h_{k,cr}, b_{k,cr}$ - ВЫСОТА И ШИРИНА СЕЧЕНИЯ СРЕДНЕЙ ХВАИНЫ

$R_{k,cr}, R_{a,cr}$ - ПАЩАДА И РАСЧЕТНОЕ СОПРОТИВЛЕНИЕ АРМАТУРЫ СРЕДНЕЙ ХВАИНЫ

3. ПРИ $\Xi < 0$ ВЫСОТА СКАТЫХ ЗОНЫ Ξ ОПРЕДЕЛЯЕТСЯ ПО ФОРМУЛЕ:

$$\Xi = \frac{P - N_{k,cr}^i - \frac{F_a R_a}{2}}{R_{k,cr}^i \cdot b_{k,cr}} \quad (\text{IV.32})$$

УСЛОВИЕ ПРОЧНОСТИ:

$$Re \leq 0.95 [R_{k,cr}^i \cdot b_{k,cr} \cdot \Xi \left(L + \frac{h_{k,cr}}{2} - \frac{\Xi}{2} \right) + \frac{F_a R_a}{2} \left(L + \frac{h_{k,cr}}{2} - a \right) + N_{k,cr}^i \cdot l_2] \quad (\text{IV.33})$$

2. ПРИ $\Xi = 0$

УСЛОВИЕ ПРОЧНОСТИ: $Re \leq 0.95 (N_{k,cr}^i \cdot L + N_{k,cr}^i \cdot l_2)$ (IV.34)

3. ПРИ $0 < \Xi \leq l_{cr}$; $\Xi = \Xi_0$

УСЛОВИЕ ПРОЧНОСТИ:

$$Re \leq 0.95 [N_{k,cr}^i \cdot L + R_{cr}^{np} \cdot b_{cr} \cdot \Xi \left(l_{cr} + \frac{h_{k,cr}}{2} - \frac{\Xi}{2} \right) + N_{k,cr}^i \cdot l_2] \quad (\text{IV.35})$$

4. ПРИ $\Xi_0 > l_{cr}$.

$$\Xi = \frac{P - N_{k,cr}^i - N_{k,cr}^i - R_{cr}^{np} \cdot b_{cr} \cdot l_{cr} - \frac{F_a R_a}{2}}{R_{k,cr}^i \cdot b_{k,cr}} \quad (\text{IV.36})$$

ПРИ ЭТОМ ЗНАЧЕНИЕ Ξ , ПОЛУЧЕННОЕ ПО ФОРМУЛЕ (IV.36) ДОЛЖНО БЫТЬ $\leq h_{k,cr}$.

ПРИ $\Xi = h_{k,cr}$ ДИАФРАГМА РАБОТАЕТ НА ЦЕНТРАЛЬНОЕ СКАТЫЕ.

УСЛОВИЕ ПРОЧНОСТИ:

$$Re \leq 0.95 [N_{k,cr}^i \cdot L + N_{k,cr}^i \cdot l_2 + R_{cr}^{np} \cdot b_{cr} \cdot l_{cr} \left(\frac{l_{cr}}{2} + \frac{h_{k,cr}}{2} \right) + R_{k,cr}^i \cdot b_{k,cr} \cdot \Xi \left(\frac{h_{k,cr}}{2} - \frac{\Xi}{2} \right) + \frac{F_a R_a}{2} \left(\frac{h_{k,cr}}{2} - a \right)] \quad (\text{IV.37})$$

В ФОРМУЛАХ (IV.32) \div (IV.37) $- R_{cr}^{np} \cdot R_{k,cr}^i \cdot F_a R_a / F_a R_a$ ТО ЖЕ, ЧТО В ФОР-
 МУЛАХ (IV.23) \div (IV.29)

ОСТАЛЬНЫЕ ОБОЗНАЧЕНИЯ СМ. РИС. 8 И 9.

ТК	УКАЗАНИЯ ПО ПРИМЕНЕНИЮ ВЕНТИЛЯЦИОННЫХ БЛОКОВ-СТЕНОК ЖЕСТКОСТИ И ВЕНТИЛЯЦИОННЫХ БЛОКОВ	СЕРИЯ ИМ-04-0
1975	Пояснительная записка	БИЛЕСК АКПТ-12 19

На рис. 8 к 9 приведены следующие обозначения:

$P = N_{\text{жк}} + N_{\text{жк}} + N_{\text{жст}} + N_{\text{жст}}$ - равнодействующая вертикальных нагрузок.

$N_{\text{жк}}; N_{\text{жк}}; N_{\text{жк}}$ - вертикальные нагрузки на колонны соответственно: сжатию от изгиба, среднюю и растянутую от изгиба.

$N_{\text{жст}}; N_{\text{жст}}$ - вертикальная нагрузка на стенку жесткости.

M_{Δ} - изгибающий момент, действующий на диафрагму.

$N_{\text{ж.ср.}}$ - предельно допускаемая нагрузка на колонну, сжатию от изгиба.

$M_{\text{ж.ср.}}$ - определяется по формуле (IV.31)

δ - длина диафрагмы

$b_{\text{жк}}$ - длина стены жесткости

$b_1; b_2$ - расстояния между колоннами

$e_1; e_2; e_3; e_4; e_{\text{жст}}$ - эксцентриситеты вертикальных нагрузок на элементы диафрагмы относительно условного центра тяжести поперечного сечения

диафрагмы.

$e - e_0 + y_{\text{жк}}$

$e_0 = \frac{M_{\Delta}}{P}$ - эксцентриситет равнодействующей P относительно условного центра тяжести диафрагмы.

z - высота сжатой зоны стены жесткости

$b_{\text{жк}}; b_{\text{жк}}; b_{\text{жк}}$ - ширину колонни соответственно: сжатой от изгиба, средней и растянутой от изгиба.

$b_{\text{жст}}; b_{\text{жст}}; b_{\text{жст}}$ - высота колонни соответственно: сжатой от изгиба, средней и растянутой от изгиба.

2. ВЛИЯНИЕ ДИАФРАГМ ПО ВЕРТИКАЛЬНЫМ ПЛОСКОСТИМ

В связи с критериями несущей способности диафрагмы является критерием

ее вертикальных изгибов:

$$T \leq [T] \quad (\text{IV.38}), \text{ где:}$$

Т - сдвигающая сила по вертикальному изгибу в пределах одного этажа.

[T] - суммарная несущая способность заложенных деталей каждого этажа, равная 45% при высоте этажа 2,8 к 3,3 м, 60% при высоте этажа 3,6 к 4,2 м.

Сдвигающая сила T определяется по формуле:

$$T = \pm M_{\text{ж.ср.}} \frac{\delta}{l} + \left(\frac{N_{\text{жк}}}{F_{\text{нр}}} \frac{b_{\text{жк}}}{b_{\text{жк}}} N_{\text{жк}} \right) \quad (\text{IV.39})$$

Сдвигающее усилие T принимается по абсолютному значению независимо от знаков, полученныхых в результате вычислений по формуле IV.39.

В формуле (IV.39) приведены обозначения:

И вертикальные

$M_{\text{ж.ср.}}$ - приращение изгибающего момента /от горизонтальных нагрузок/ в пределах высоты этажа.

$N_{\text{жк}}$ - горизонтальная вертикальная нагрузка, передаваемая на диафрагму с одного этажа.

δ - момент инерции поперечного сечения диафрагмы /принимается по таблице 2/.

$F_{\text{нр}}$ - приведенная площадь поперечного сечения диафрагмы /принимается по таблице 4/.

S - статический момент отсеченной части диафрагмы /принимается по таблице 2/.

$F_{\text{нр}}$ - часть приведенной площади диафрагмы, расположенной относительно вертикального изгиба со стороны, соответствующей плавательному

TK	Указания по применению вентиляционных балок по стенкам жесткости и вентиляционных балок	СЕРИЯ НЧ-04-0
1975	Пояснительная записка	ВЫПУСК АКТУАЛЕН 12 20

направлению координатных осей / в соответствии с рис. 10
площадью F' будет являться часть площади диафрагмы, расположенной правее вертикального шва.

\bar{N} - вертикальная нагрузка, приходящаяся на блоки и диафрагмы
в одного этажа.

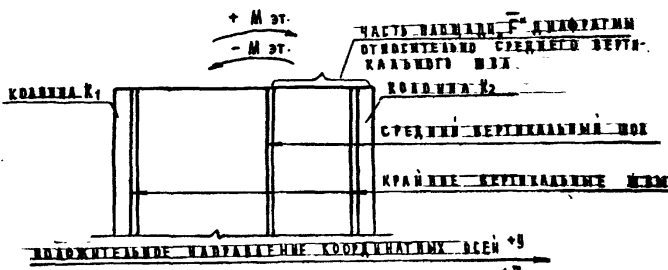


Рис. 10

Приведенная площадь поперечного сечения диафрагмы определяется по формуле:

$$F' = F_c + \sum F_k \quad (\text{IV.40}), \text{ где:}$$

F_c - приведенная площадь поперечного сечения стены жесткости / сумма приведенных площадей блоков заполняющих межколонное пространство.

$\sum F_k$ - сумма приведенных площадей диафрагменных колонн.

Приведенные площади элементов диафрагм даны в таблице 4.

Приращение изгибающего момента в пределах этажа вычисляется

по формуле: $M_{\text{р}} = M_x - M_{x1} \quad (\text{IV.41})$, где:

M_x ; M_{x1} - полные изгибающие моменты соответственно в нижнем и верхнем уровнях этажа, в пределах которого определяется сдвигающее усилие T .
В формуле (IV.41) $M_{\text{р}}$ приимается со своим знаком в соответствии с направлением относительно координатных осей.

Как правило, как наибольшее сдвигающее усилие T действует в уровне нижнего этажа, по вертикальным швам, расположенным близк к нейтральной линии диафрагмы.

IV-6. Указания по расчету диафрагм, не предусмотренных таблицей 2.

В таблице 2 приведены характеристики наиболее часто встречающихся типов диафрагм. В практике же возможны различные сочетания элементов, образующих диафрагмы. В этом случае необходимо определить жесткость диафрагмы к статическим моментам отсеченных частей поперечного сечения диафрагмы относительно ее нейтральной оси / геометрического ц. т. диафрагмы/. Жесткость B_0 определяется по формуле:

$$B_0 = 0,85 \times 0,95 \times \left(\frac{1}{l_1} + F_k \times \frac{1}{Q_1} \right) E_b \quad (\text{IV.42}), \text{ где:}$$

l_1 ; F_k - собственный момент инерции и площадь поперечного сечения элемента диафрагмы / см. таблицу 5 и примечания к ней/

Q_1 - расстояние от центра тяжести поперечного сечения элемента диафрагмы до геометрического центра тяжести всего сечения диафрагмы.

E_b - модуль упругости бетона / в формуле IV.42 приимается для бетона марки 300/.

Д.К	УКАЗАНИЯ ПО ПРИМЕНЕНИЮ ЦЕНТРАЛЬНЫХ БЛОКОВ-СТЕНОК ЖЕСТКОСТИ И ЦЕНТРАЛЬНЫХ БЛОКОВ	СЕРИЯ Н-04-0
1975	ПОСАДКА НАЧАЛА ЗДИСКА	ВНЕДР. 12 21

СТАТИЧЕСКИЕ МОМЕНТЫ, S'' ВЫЧИСЛЯЮТСЯ ПО ФОРМУЛЕ:

$$S = F_{\text{ср}} \cdot d \quad (\text{IV. 43}), \text{ ГДЕ:}$$

$F_{\text{ср}}$ - ПЛОЩАДЬ ПОЛОСЕЧНОГО СЕЧЕНИЯ ОТСЕЧЕННОЙ ЧАСТИ ДИАФРАГМЫ.
 d - РАСТОЯНИЕ ОТ ЦЕНТРА ТАЖЕСТИ ОТСЕЧЕННОЙ ЧАСТИ ДО НЕРВАЛЬНОЙ ОСИ ДИАФРАГМЫ.

ПОЛОЖЕНИЕ НЕРВАЛЬНОЙ ОСИ /ГЕОМЕТРИЧЕСКОГО ЦЕНТРА ТАЖЕСТИ/ ПОЛОСЕЧНОГО СЕЧЕНИЯ ДИАФРАГМЫ ОПРЕДЕЛЯЕТСЯ ПО ФОРМУЛЕ:

$$C = \frac{\leq F_1 b_1}{\sum F_i} \quad (\text{IV. 44}), \text{ ГДЕ:}$$

F_i - СМ. ФОРМУЛУ (IV. 42)

b_i - РАСТОЯНИЯ ОТ Ц.Т. ЭЛЕМЕНТОВ ДИАФРАГМЫ ДО ЛЮБОЙ ПРОВОЗВОЛЬНОЙ ТОЧКИ /ПРЕДВОЧИТЕЛЬНОЕ РАСТОЯНИЕ b_i'' ПРИНИМАТЬ ДО ОСИ ЛЮБОЙ ХОЛОДИЛИ.

РАСТОЯНИЕ b_i'' ОТЧИТЫВАЕТСЯ ОТ ТОЧКИ, ОТНОСИТЕЛЬНО КОТОРОЙ БРАНДС РАСТОЯНИЯ b_i .

Расчетные геометрические характеристики элементов, из которых могут быть составлены диафрагмы, приводятся в таблице 5.

ТАБЛИЦА 5

НАИМЕНОВАНИЕ И МАРКА ЭЛЕМЕНТА ДИАФРАГМЫ	ЭСКИЗ	ПЛОЩАДЬ ПОЛОСЕЧНОГО СЕЧЕНИЯ, F	* МОМЕНТ ИНЕРЦИИ, J	ЦЕНТР ТАЖЕСТИ СЕЧЕНИЯ, M
ХОЛОДИЛИ.	400	0,16	0,0021	0,20
	300	0,09	0,0006	0,15
БЛОКИ ТИПА „BBC-30“	2580	0,497	0,395	1,49
БЛОКИ ТИПА „BBC-26“	2580	0,430	0,248	1,28
БЛОКИ ТИПА „BBC-15“	3480	0,271	0,058	0,74

* Для холодиль из бетона марки „400“ площади и моменты инерции принимать в хор. К-1,1

IV-7. ПРОВЕРКА ЖЕСТКОСТИ ЗДАНИЯ.

Перемещение любой точки верхней здания в направлении координатных осей складывается из поступательных перемещений и движательных перемещений за счет закручивания вокруг центра жесткости.

Поэтому полный прогиб /смещение верхней точки здания/ f_y как f_y'' определяется по формуле:

$$f_y = f_y'' + (f_{\text{тесн}}) z; \quad f_x = f_x'' + (f_{\text{тесн}}) y \quad (\text{IV. 45}), \text{ ГДЕ:}$$

z, y - координаты удаленных вправо от центра жесткостей точек здания /принимаются по абсолютному значению, независимо от направления их относительно координатных осей/.

$$f_y'' = [M_y''] \frac{H^2}{4 \leq B_{y2}}; \quad f_x'' = [M_x''] \frac{R_y H^2}{\leq B_{x2}} \quad (\text{IV. 46})$$

$$f_x'' = [M_x''] \frac{H^2}{4 \leq B_{x2}}; \quad f_{x2}'' = [M_{x2}'] \frac{R_x H^2}{\leq B_{x2}} \quad (\text{IV. 47})$$

$$f_{\text{тесн}} = \pm B M'' \frac{H^2}{4 D_{y2}}; \quad f_{\text{тесн}} = \pm B M'' \frac{R_y H^2}{D_{y2}} \quad (\text{IV. 48})$$

$$[M_y''] = \frac{M_y'' + \leq M_y''}{1,2}; \quad [M_x''] = \frac{M_x'' + \leq M_x''}{1,2} \quad (\text{IV. 49})$$

В формулы (IV. 46) и (IV. 47) подставляются абсолютные значения M_y'' , M_x'' , M_{x2}' независимо от знаков, получающихся в результате вычислений по формуле (IV. 49).

M_y'' ; M_x'' - определяется по формуле (IV. 2) и подставляются в формулу (IV. 49) со своими знаками.

$\leq M_y''$; $\leq M_x''$ - суммарные моменты от вертикальной нагрузки всех диафрагм одного направления. $M_y'' + M_x''$ определяется по формуле (IV. 15).

Т.К.	УКАЗАНИЯ ПО ПРИМЕНЕНИЮ ВЕНТИЛЯЦИОННЫХ БЛОКОВ-СТЕНОК ЖЕСТКОСТИ И ВЕНТИЛЯЦИОННЫХ БЛОКОВ.	СЕРИЯ ЦИ-04-0
1975	ПОДСЧИТЕЛЬНАЯ ЗАПИСКА.	ВЫПУСК ЛИСТ 12 22

ΣM_1^b НАК ΣM_{32}^b ПОСТАВЛЯЕТСЯ В ФОРМУЛУ (IV.49) СО СВОИМ ЗНАКОМ, ПО-
ЛУЧЕННЫМ В РЕЗУЛЬТАТЕ СУММИРОВАНИЯ МОМЕНТОВ ОТ ВЕРТИКАЛЬНОЙ НАГРУЗКИ
ЗДАНИЯ.

СУММАРНЫЙ БИМОМЕНТ, ДЕЙСТВУЮЩИЙ НА ЗДАНИЕ, ОПРЕДЕЛЯЕТСЯ ПО ФОРМУЛЕ:

$$\bar{B}M_3^b = \frac{\pm \bar{B}M_1^b \pm \bar{B}M_{32}^b}{1,2}; \quad \bar{B}M_{32}^b = \frac{\pm \bar{B}M_1^b \pm \bar{B}M_3^b}{1,2} \quad (\text{IV.50}), \text{ ГДЕ:}$$

$\bar{B}M_1^b, \bar{B}M_{32}^b$ - ОПРЕДЕЛЯЮТСЯ ПО ФОРМУЛЕ (IV.3) И ПОСТАВЛЯЮТСЯ В ФОРМУЛУ (IV.50) СО СВОИМИ ЗНАКАМИ.

$\bar{B}M_{32}^b$ - СУММАРНЫЙ БИМОМЕНТ ОТ ВЕРТИКАЛЬНОЙ НАГРУЗКИ ОПРЕДЕЛЯЕТСЯ
ПО ФОРМУЛЕ:

$$\bar{B}M_{32}^b \leq M_1^b \cdot z_1 - \bar{M}_2^b \cdot y_1 \quad (\text{IV.51}), \text{ ГДЕ:}$$

$\bar{M}_2^b \leq M_2^b$ - СМ. ПОСЛЕДНЮЮ К ФОРМУЛЕ (IV.49).

z_1, y_1 - СМ. РИС. 2.

В ФОРМУЛЕ (IV.51) МОМЕНТЫ ОТ ВЕРТИКАЛЬНЫХ НАГРУЗОК M_1^b, M_2^b И
КООРДИНАТЫ z_1, y_1 ПОСТАВЛЯЮТСЯ СО СВОИМИ ЗНАКАМИ, В ЗАВИСИМОСТИ
ОТ НАКЛОННОГО ПОЛОЖЕНИЯ ОТНОСИТЕЛЬНО КООРДИНАТНЫХ ОСЕЙ.

ПРАВИЛА ПОСЛАДЫ:

1. ЕСЛИ В ФОРМУЛЕ (IV.50) ЗНАКИ $\bar{B}M^b$ И $\bar{B}M_{32}^b$ СОВПАДАЮТ, ТО ВЕЛИЧИНА $\bar{B}M^b$ В ФОРМУЛЕ (IV.48) ПОСТАВЛЯЕТСЯ СО ЗНАКОМ $+$, НЕЗАВИСИМЫЙ ОТ ТОГО, КАКОЙ ЗНАК $\bar{B}M^b$ ПОЛУЧИЛСЯ В РЕЗУЛЬТАТЕ ВЫЧИСЛЕНИЙ ПО ФОРМУЛЕ (IV.50).

2. ЕСЛИ В ФОРМУЛЕ (IV.50) ЗНАКИ $\bar{B}M^b$ И $\bar{B}M_{32}^b$ РАЗЛИЧНЫ, но АБСОЛЮТНАЯ
ВЕЛИЧИНА $\bar{B}M^b > \bar{B}M_{32}^b$, ТО В ФОРМУЛЕ (IV.48) ЗНАЧЕНИЕ $\bar{B}M^b$ ПОСТАВЛЯЕТСЯ
СО ЗНАКОМ $+$, НЕЗАВИСИМЫЙ ОТ ТОГО, КАКОЙ ЗНАК $\bar{B}M^b$ ПОЛУЧИЛСЯ
В РЕЗУЛЬТАТЕ ВЫЧИСЛЕНИЙ ПО ФОРМУЛЕ (IV.50).

3. ЕСЛИ В ФОРМУЛЕ (IV.50) ЗНАКИ $\bar{B}M^b$ И $\bar{B}M_{32}^b$ РАЗЛИЧНЫ, но АБСОЛЮТНАЯ

ВЕЛИЧИНА $\bar{B}M^b < \bar{B}M_{32}^b$, ТО В ФОРМУЛЕ (IV.48) ЗНАЧЕНИЕ $\bar{B}M^b$ ПОСТАВЛЯЕТСЯ СО
ЗНАКОМ $-$, НЕЗАВИСИМЫЙ ОТ ТОГО, КАКОЙ ЗНАК $\bar{B}M^b$ ПОЛУЧИЛСЯ В РЕЗУЛЬТАТЕ ВЫ-
ЧИСЛЕНИЙ ПО ФОРМУЛЕ (IV.50).

Нормативные моменты в уровне фундаментов определяются по формуле:

$$M_p = M^b + \frac{Q}{1,2} h; \quad \bar{B}M_p = \bar{B}M^b + \frac{Q \cdot z_0(y_0)}{1,2} h \quad (\text{IV.52}), \text{ ГДЕ:}$$

h - расстояние от начальной отметки земли до гипса фундамента;

Q - принимается из таблицы;

z_0 и y_0 - эксцентриситеты равнодействующей горизонтальной нагрузки
относительно центра жесткости;

В зависимости от знака $\bar{B}M^b$, против здания от закручивания $\bar{B}M^b$,
вычисленный по формуле (IV.48) будет иметь положительное, как отри-
цательное значение h со своим знаком подставляется в формулу (IV.52).

D_{yz} - см. формулу (IV.7);

R_1, R_2, R_{yz} - см. формулу (IV.49).

В формуле (IV.45) первые склагаемые учитывают деформации
здания за счет изгиба конструкций, вторые - за счет податливости
секций.

Относительный прогон здания не должен превышать:

$$\frac{f}{h} \leq \frac{1}{2000}.$$

Проверка жесткости здания должна производиться, как при
положительном, так и при отрицательном направлении
ветра.

TK	УКАЗАНИЯ ПО ПРИМЕНЕНИЮ ВЕНТИЛЯЦИОННЫХ БАДКОВ СТЕНОК ЖЕСТКОСТИ И ВЕНТИЛЯЦИОННЫХ БАДКОВ	Г.Е.П. ИИ-04-0
1975	Пояснительная записка	Задан 12 23

ПРИМЕР 4. Расчет устойчивости здания с 2^х колонными диафрагмами.

Произвести проверку прочности и жесткости 9-го здания стеклодомом ($H_{st}=2m$), размером в плане $60 \times 48m$, строящегося в I-ом ветровом районе, т.к. местность, А*. Высота этажа $3,6m$. Унифицированная расчетная нагрузка на перекрытие равна $600 \text{ кг}/\text{м}^2$ / без учета собственного веса конструкции/. Здание с колодильным киркасом. Высота здания от верха парапета до планировочной отметки земли $34,5m$. Основанием фундаментов являются пески средней крепости, имеющие следующие другие характеристики:

$$E_{sp}=4500 \text{ ГПа}; \mu=0,3.$$

ОПРЕДЕЛЕНИЕ ГОРИЗОНТАЛЬНОЙ / ВЕТРОВОЙ / НАГРУЗКИ:

Горизонтальная нагрузка определяется по табл. 1 и, с учетом фактической высоты здания, находится в табл. 6.

ТАБЛИЦА 6

РАСЧЕТНЫЕ МОМЕНТЫ ОТ ГОРИЗОНТАЛЬНОЙ НАГРУЗКИ	ЗДАНИЕ ВЫСОТОЙ 36 М	ЗДАНИЕ ВЫСОТОЙ 34,5 М
в уровне планировочной отметки земли.	2255,04	$\frac{2255,04 - 2004,04}{2} = 125,05 + 2004,04 = 2067 \text{ ТМ}$
в уровне низа диафрагм.	—	$2067 + 110,5 \times 0,8 = 2155 \text{ ТМ}$

* в табл. 6 величина, равная $0,8m$ - расстояние от планировочной отметки земли до низа диафрагм; $\theta = 110,5^\circ$ - кренеречная склонка к уровню планировочной отметки земли при высоте здания $34,5m$.

На графике на рис. 2 для 9-этажного здания с техническим колодцем, при унифицированной нагрузке на перекрытие $600 \text{ кг}/\text{м}^2$, при действующему моменту $[M_d]$ определяется приближенно количество диафрагм $n = \frac{2155}{350} = 6,27$. Принимается 3 диафрагмы, длиной поперечного сечения $L = 6m$, 2^х колонны.

Расположение диафрагм в плане показано на рис. 4.

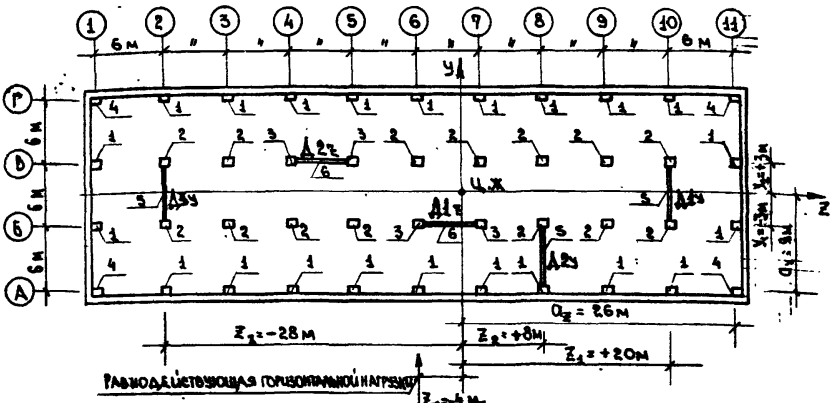


Рис. 4.

СБОР ВЕРТИКАЛЬНЫХ НАГРУЗОК:

При сборе вертикальных нагрузок учитывается все нагрузки, входящиеся на элемент текущей системы здания в зависимости от трёхмерной конфигурации, с учетом собственных весов этих элементов.

Т.К.	УКАЗАНИЯ ПО ПРИМЕНЕНИЮ ВЕНТИЛЯЦИОННЫХ БЛОКОВ-СТЕНОК ЖЕСТКОСТИ И ВЕНТИЛЯЦИОННЫХ БЛОКОВ.	СЕРИЯ Ц-04-0
1975	Пояснительная записка.	выпуск 12 лист 24

РЕЗУЛЬТАТЫ СБОРА ВЕРТИКАЛЬНЫХ НАГРУЗОК, ПРИВЕДЕНИЯ В ТАБЛИЦЕ, 7.

ТАБЛИЦА 7

БЛХ ВЕРТИКАЛЬНЫХ ЭЛЕМЕНТОВ (ПО РИС. 1)	КОЛ - ВО ОДИНАКОВЫХ ПО НАГРУЗКЕ ВЕРТИКАЛЬНЫХ ЭЛЕМЕНТОВ	РАСЧЕТНЫЕ ВЕРТИКАЛЬНЫЕ НАГРУЗКИ.			
		НАИБОЛЬШИЕ		НАИМЕНЬШИЕ.	
		НА 1 ЭЛЕМЕНТ	НА ВСЕ ЭЛЕМЕНТЫ	НА 1 ЭЛЕМЕНТ	НА ВСЕ ЭЛЕМЕНТЫ
1	22	200	4400	110	2420
2	14	320	4480	170	2380
3	4	175	700	95	380
4	4	105	220	65	260
5	3	85	255	85	255
6	2	350	700	180	360

ВСЕГО: 40755т. ВСЕГО: 6055т.

ОПРЕДЕЛЕНИЕ ЦЕНТРА ЖЕСТКОСТЕЙ ДИАФРАГМ:

ПРИНIMАЮТСЯ СЛЕДУЮЩИЕ ТИПЫ ДИАФРАГМ /СМ. ТАБЛИЦУ 2/.

ДИАФРАГМЫ D_1z ; D_3z - ТИПА 3; $B = 44,2 \times 10^6 \times 0,94 = 43,3 \times 10^6$

ДИАФРАГМЫ D_2z - ТИПА 2; $B = 13,7 \times 10^6 \times 0,94 = 12,9 \times 10^6$

ДИАФРАГМЫ D_1z ; D_2z - ТИПА 4; $B = 43,5 \times 10^6 \times 0,94 = 42,7 \times 10^6$

ЖЕСТКОСТЬ ДИАФРАГМ, В ОПРЕДЕЛЕНИИ С УЧЕТОМ $K_{\text{ДФ}}$, ПРИНЯТОГО ПО ГРАФИКУ НА РИС. 3.

ПОЛОЖЕНИЕ ЦЕНТРА ТЯЖЕСТИ относительно оси "Z" из-за симметричного расположения дифрагм, D_1z и D_2z совпадает с равнодействующей горизонтальной нагрузки в плоскости "Z" - $a_y = 9$ м.

$$a_z = \frac{(43,3 \times 54 + 12,9 \times 18 + 13,3 \times 6) \cdot 10^6}{(43,3 + 12,9 + 13,3) \cdot 10^6} = \frac{4030 \times 10^6}{39,5 \times 10^6} = 26 \text{ м}$$

ВЫЧИСЛЕНИЕ КОЭФФИЦИЕНТА ПРОДОЛЬНОГО ИЗГИБА

ДЛЯ ДИАФРАГМ В ПЛОСКОСТИ "Y" ПРИНИМАЮТСЯ ФУНДАМЕНТЫ РАЗМЕРОМ В ПЛАНЕ $a = 3 \text{ м}; l = 12 \text{ м}$.

ВЫЧИСЛЯЮТСЯ КОЭФФИЦИЕНТЫ ЖЕСТКОСТИ ОСНОВАНИЯ:

$$m = \frac{E_{\text{сп}} \left(\frac{l}{a}\right)^3}{(1 - \nu^2) I_K} = \frac{4500 \left(\frac{12}{3}\right)^3}{(1 - 0,3^2) \cdot 125} = 8,5 \times 10^5 \text{ ТМ}, \text{ ГДЕ:}$$

$K = 1,25$ по Рис. 4 СНиП II-Б.1-62 при $\eta = \frac{42}{3} = 4$ ХАРАКТЕРИСТИКА ПОДАТЛИВОСТИ ОСНОВАНИЯ В ПЛОСКОСТИ ОСИ "Y".

$$R_y = \frac{\leq B_{1y}}{K \cdot \leq m_{1y}} = \frac{39,5 \times 10^6}{35,3 \times 3 \times 8,5 \times 10^5} = \frac{395}{900} = 0,438$$

КОЭФФИЦИЕНТ ПРОДОЛЬНОГО ИЗГИБА ПРИ МАКСИМАЛЬНЫХ ВЕРТИКАЛЬНЫХ НАГРУЗКАХ $\leq P = 10755 \text{ т}$ по Таблице 7.

$$\gamma_{y_{\text{max}}} = 1 + \frac{H^2 \leq P}{8 \leq B_{1y}} (1 + 4R_y) = 1 + \frac{35,3^2 \times 10755}{8 \times 39,5 \times 10^6} (1 + 4 \times 0,438) = 1,10$$

КОЭФФИЦИЕНТ ПРОДОЛЬНОГО ИЗГИБА ПРИ МИНИМАЛЬНЫХ ВЕРТИКАЛЬНЫХ НАГРУЗКАХ $\leq P = 6055 \text{ т}$.

$$\gamma_{y_{\text{min}}} = 1 + \frac{35,3^2 \times 6055}{8 \times 39,5 \times 10^6} (1 + 4 \times 0,438) = 1,06$$

$$\gamma_{y_{\text{2}}} = 1 + \frac{H^2 \leq P_L (Y_L^2 + Z_L^2)}{8 D_{yz}} (1 + R_{yz})$$

ПРИ ВЫЧИСЛЕНИИ КОЭФФИЦИЕНТА $\gamma_{y_{\text{2}}}$ УСЛОВНО ПРИНАТО $R_{yz} = 0$ /для здания с абсолютно жестким основанием/.

$$D_{yz} = 13,3 \times 10^6 \times 20^2 + 12,9 \times 10^6 \times 8^2 + 13,3 \times 10^6 \times 28^2 + 12,7 \times 10^6 (3^2 + 3^2) = 16,8 \times 10^9 \text{ ТМ}^2$$

КРУТИЛЬНАЯ ХАРАКТЕРИСТИКА ВЕРТИКАЛЬНОЙ НАГРУЗКИ ВЫЧИСЛЯЕТСЯ ПО ПРИДАННОМУ Ф-ЛЕ:

$$\leq P_L (Y_L^2 + Z_L^2) = \frac{10755}{1080} \cdot (35,4 \times 10^4 + 2,9 \times 10^4) = 4,02 \times 10^6 \text{ ТМ}^2, \text{ ГДЕ:}$$

ПЛОЩАДЬ ЗДАНИЯ $F = 60 \times 18 = 1080 \text{ м}^2$

$$\text{МОМЕНТЫ ИНЕРЦИИ ПЛАНА ЗДАНИЯ } J_y = \frac{48}{3} (34^3 + 26^3) = 35,4 \times 10^6 \text{ м}^4$$

$$J_z = \frac{60}{3} (9^3 + 9^3) = 2,9 \times 10^6 \text{ м}^4$$

Т.К.
1975

УКАЗАНИЯ ПО ПРИМЕНЕНИЮ ВЕНТИЛЯЦИОННЫХ БЛОКОВ-СТЕНОК ЖЕСТКОСТИ И ВЕНТИЛЯЦИОННЫХ БЛОКОВ.
ПОЗДНИТЕЛЬНАЯ ЗАПИСКА.

СЕРИЯ
ЧИ-04-0
ВЫПУСК ЛИСТ
12 25

$$\frac{2,2 \cdot 4^2}{2} \cdot \frac{35,3^2 \times 4,02 \times 10^6}{8 \times 16,8 \times 10^3} = 4 \cdot \frac{553 \times 10^9}{136,4 \times 10^3} = 4,04$$

Определение изгибающих моментов в диафрагмах от горизонтальной нагрузки:

В примере производится расчет при максимальных вертикальных нагрузках.

Момент $M_{x_1}^{H}$ в уровне низа диафрагм вычисляется по формуле (IV.2)

$$M_x^{H} = +2155 \times 1,10 = +2380 \text{ тм.}$$

По формулам (IV.5-1) и (IV.5-2):

$$M_{x_1}^{H} = \frac{+2380}{60} \left(\frac{0,554 \times 12 \times 13,3 \times 10^6}{13,3 \times 10^6 + 12,9 \times 10^6} + 0,446 \frac{12}{2} \right) + \frac{2380}{60} 6 = +478 \text{ тм.}$$

$$M_{x_2}^{H} = \frac{+2380}{60} \left(\frac{0,554 \times 12 \times 12,9 \times 10^6}{13,3 \times 10^6 + 12,9 \times 10^6} + 0,446 \frac{12}{2} + \frac{0,164 \times 36 \times 12,9 \times 10^6}{13,3 \times 10^6 + 12,9 \times 10^6} + 0,836 \frac{36}{2} \right) = +948 \text{ тм.}$$

$$M_{x_3}^{H} = \frac{+2380}{60} \left(\frac{0,164 \times 36 \times 13,3 \times 10^6}{12,9 \times 10^6 + 13,3 \times 10^6} + 0,836 \frac{36}{2} \right) + \frac{2380}{60} 6 = +954 \text{ тм.}$$

Проверка: $\leq M_x^{H} = 478 + 948 + 954 = 2380 \text{ тм}$

Равнодействующая горизонтальная нагрузки не совпадает с центром жесткости, необходимо вычислить дополнительные изгибающие моменты ΔM_x в диафрагмах, возникающие от закручивания здания.

По формуле (IV.3): $\Delta M_x = +2380 \times (-4) \times 1,04 = -9904 \text{ тм}$

По формуле (IV.6): $\Delta M_{x_1} = -9904 \frac{+20 \times 13,3 \times 10^6}{16,8 \times 10^3} = -149 \text{ тм}$

$$\Delta M_{x_2} = -9904 \frac{+8 \times 12,9 \times 10^6}{16,8 \times 10^3} = -59 \text{ тм}$$

$$\Delta M_{x_3} = -9904 \frac{-28 \times 13,3 \times 10^6}{16,8 \times 10^3} = +219 \text{ тм}$$

Вычисление дополнительных моментов ΔM_x в примере показало, что изгибающие моменты в диафрагмах от горизонтальной нагрузки вычисляются по формуле (IV.4)

$$M_{x_1}^r = +478 - 149 = +329 \text{ тм}$$

$$M_{x_2}^r = +948 - 59 = +889 \text{ тм}$$

$$M_{x_3}^r = +954 + 219 = +1173 \text{ тм}$$

При совпадении равнодействующей горизонтальной нагрузки с центром жесткости, моменты в диафрагмах от горизонтальной нагрузки одинаковы величинами, вычисленными по формулам (IV.5).

Моменты от вертикальной нагрузки: В данном примере введенены затяжена только диафрагма А25. Тип диафрагмы и вертикальные нагрузки соответствуют принятым в примере 2, поэтому изгибающий момент в диафрагме А25 равен $+307 \text{ тм} \times 1,12 = +344 \text{ тм}$. В примере 2 коэффициент продольного изгиба условно не учитывался. Момент от вертикальной нагрузки распределяется между диафрагмами в соответствии с формулой (IV.15):

$$M_x^v = \frac{344 \times 13,3 \times 10^6 \times 0,554}{(13,3 \times 0,554 + 12,9 \times 0,164) \times 10^3} = \frac{2539,23 \times 10^6}{22,45 \times 10^3} = +113 \text{ тм}$$

$$M_{x_1}^v = \frac{344 \times 12,9 \times 10^6}{22,45 \times 10^3} = +198 \text{ тм}$$

$$M_{x_2}^v = \frac{344 \times 13,3 \times 10^6 \times 0,164}{22,45 \times 10^3} = +33 \text{ тм}$$

Если бы моменты вертикальной нагрузки возникали на других диафрагмах, то они распределялись бы между диафрагмами также в соответствии с формулой (IV.15), а конечные результаты для каждой диафрагмы от каждого распределения суммируются. Вычисленная сумма является быким моментом в диафрагме от вертикальной нагрузки. Дополнительный момент от вертикальной нагрузки при закручивании здания вычисляется по формуле (IV.12):

$$\Delta M_x^v = [113 - (+20) + 198 - (+8) + 33 - (-28)] \times 1,04 = +2752 \text{ тм}$$

Дополнительные изгибающие моменты ΔM_x^v определяются по формуле (IV.11).

После вычисления конечных значений: $\Delta M_{x_1}^v = +44 \text{ тм}$, $\Delta M_{x_2}^v = +17 \text{ тм}$, $\Delta M_{x_3}^v = -64 \text{ тм}$.

Диаграмм расчетный момент в диафрагме А25: $M_{x_2} = 344 + 198 + 17 = 559 \text{ тм}$.

Равнодействующая вертикальной нагрузки: $R = 200 + 320 + 85 = 605 \text{ т}$; $e = \frac{1104}{605} = 1,82 \text{ м}$; $e - (12 + 2,9) = 4,73 \text{ м}$

ТК	УКАЗАНИЯ ПО ПРИМЕНЕНИИ ВЕНТИЛЯЦИОННЫХ БЛОКОВ СТЕНОК ЖЕСТКОСТИ В ВЕНТИЛЯЦИОННЫХ БЛОКАХ	СЕРИЯ ЧН-04-0
1975	ЛОСЯГИТЕЛЬСКАЯ ЗАБИСКА	ВМЕСТО АКТ 12 26.1

ПРОВЕРКА ПРОЧНОСТИ ДИАФРАГМЫ НА ВНЕЦЕНТРЕННОЕ СЖАТИЕ.

КЕСУЩАЯ СПОСОБНОСТЬ КОЛОНН, СЖАТОЙ ОТ ИЗГИБА - 400т

По формуле (IV.23) определяется χ_0 :

$$\chi_0 = \frac{605 - 400}{400 \times 0,12} = 0,246 \quad 0 < 0,246m < l_{et} = 5,6m.$$

Прочность диафрагмы проверяется по формуле (IV.27): $R_e = 605 \times 4,73 = 2860\text{тм.}$

$$0,95 [400 \times 6 + (300 \times 0,12 \times 0,246) \left(5,6 + \frac{0,246}{2} \right)] = 2487\text{тм} < 2860\text{тм}$$

Прочность диафрагмы не обеспечивается, необходимо уменьшить расстояние между диафрагмами жесткости или увеличить кесущую способность диафрагменной колонны, сжатой от изгиба. При этом величина момента от вертикальной нагрузки изменится - необходимо сделать перерасчет.

В таком же порядке должны быть проверены на прочность во нормальном сечении другие диафрагмы.

Проверка прочности диафрагм должна производиться при действии горизонтальной нагрузки как при положительном, так и при отрицательном направлении ветра, а также при максимальных и минимальных вертикальных нагрузках.

Проверка прочности на внецентренное сжатие изменной диафрагмы в примере не производится. На прочность во вертикальных швах проверяется диафрагма, скрепленная в дальнем примере.

ПРОВЕРКА ПРОЧНОСТИ ВЕРТИКАЛЬНЫХ ШВОВ ДИАФРАГМЫ:

Проверяется средний шов в пределах технического этажа. Стенки жесткости имеют три связки, суммарная кесущая способность связей - 45т.

Проверка производится по формуле (IV.39)

$$M_{st} = 1104 - 1104 \frac{33,32}{35,32} = 124\text{тм.}$$

$$F_{ap} = 0,945 + 0,176 + 0,004826 \cdot 6,35 + 0,16 + 0,004256 \cdot 6,35 = 1,32\text{м}^2$$

$$F_{ap} = 0,438 + 0,176 + 0,004826 \cdot 6,35 = 0,844\text{м}^2$$

$$N_{st} = \frac{645}{10} = 64,5\text{т}$$

$$N_{st} = \frac{65}{10} \cdot 0,26 + \frac{320}{10} = 34,2\text{т}$$

Так как изгибающий момент имеет положительное направление, в формуле (IV.39) M_{st} берется со знаком плюс

$$T = 124 \frac{4,17}{34} + \left(\frac{64,5}{1,32} \cdot 0,844 - 34,2 \right) = 24 < [T] = 45\text{т}$$

Прочность шва обеспечена.

При действии вертикальной нагрузки в отрицательном направлении, при условии, если момент от вертикальной нагрузки останется неизменным, сдвигающее усилие T' будет равно:

$$M_{st} = (-889 + 198 + 47) - (-889 + 198 + 17) \frac{33,32}{35,32} = -78\text{т}$$

$$T' = -78 \frac{4,17}{34} + \left(\frac{64,5}{1,32} \cdot 0,844 - 34,2 \right) = -19,2\text{т}; 19,2 < [T] = 45\text{т}$$

Прочность шва обеспечена.

ПРОВЕРКА ЖЕСТКОСТИ ЗДАНИЯ:

По формулам (IV.49) и (IV.52) определяются моменты M_y , M_{yy}

$$M_y = \frac{2380 + 344}{4,2} = 2270\text{тм}$$

$$M_{yy} = 2270 + 110,5 \times 1,4 = 2325\text{тм}$$

l_{ch} - расстояние от заданной точкой отметки до края фундамента.

По формуле (IV.51): $\Delta M_y = +344 \cdot (+8) = +2752\text{тм}^2$.

Суммарный бимомент, действующий на здание, по формуле (IV.50) -

$$\Delta M_y = \frac{-9901 + 2752}{-1,2} = -5958\text{тм}^2$$

Так как ΔM_y по абсолютной величине больше ΔM_{yy} по формуле (IV.52) значение ΔM_y берется со знаком плюс.

TK	УКАЗАНИЯ ПО ПРИМЕНЕНИЮ ВЕНТИЛЯЦИОННЫХ БАШЕН СТЕНОК ЖЕСТКОСТИ И ВЕНТИЛЯЦИОННЫХ БЛОКОВ	СЕР. Н. 3 ЧИСЛО 4-0	
		ЧИСЛО 4-0	ЧИСЛО 4-0
1975	ДЛЯ СПЕЦИАЛИСТОВ	12	27

$$\frac{\Delta M_{\text{бз}}}{M} = 5958 + \frac{110,5 \times 8}{1,2}, 4 = 6989 \text{ ТМ}^2$$

ОПРЕДЕЛЯЕТСЯ ПРОГИБ ЗДАНИЯ ОТ ПОСТУПАТЕЛЬНЫХ ПЕРЕМЕЩЕНИЙ ЗА СЧЕТ ДЕФОРМАЦИИ НЕСУЩИХ КОНСТРУКЦИЙ И ЗА СЧЕТ ПОДАТЛИВОСТИ ФУНДАМЕНТА ПО ФОРМУЛЕ (У.46).

1. От деформации несущих конструкций:

$$\frac{f_0}{l_0} = 2270 \frac{(34,5+0,8)^2}{4(43,2+12,9+13,3)10^6} = \frac{2,83 \times 10^6}{158 \times 10^6} = 0,018 \text{ м}$$

2. От податливости основания:

$$\frac{f_0}{l_0} = 2325 \frac{0,438 \times 35,3^2}{39,5 \times 10^6} = \frac{1,26 \times 10^6}{39,5 \times 10^6} = 0,032 \text{ (Дж. Арист 25)}$$

ПРОГИБЫ ОТ ЗАКРУЧИВАНИЯ ЗДАНИЯ:

1. От деформации несущих конструкций:

$$\frac{f_{\text{бз}}}{l_0} = 5958 \frac{35,3^2}{4 \times 16,8 \times 10^3} = \frac{0,0079 \times 10^3}{67,2 \times 10^3} = 0,00011 \text{ м (Дж. Арист 25)}$$

2. От податливости основания:

В ПРИМЕРЕ $R_{\text{бз}}=0$ условно принят равным 0, поэтому:

$$f_{\text{бз}} = 0.$$

СУММАРНЫЕ ПРОГИБЫ ОПРЕДЕЛЯЮТСЯ ПО ФОРМУЛЕ (У.45)

1. От деформации несущих конструкций

Наиболее удаленным от центра жесткостей является торец здания по оси

$$x = 34 \text{ м.}$$

$$\frac{f}{l_0} = 0,018 + 0,00011 \times 34 = 0,0214$$

$$\frac{f}{l_0} = \frac{0,0214}{35,3} = \frac{1}{1650} < \frac{1}{1000}$$

2. От податливости основания

$$\frac{f}{l_0} = 0,032; \frac{f}{l_0} = \frac{0,032}{35,3} = \frac{1}{1100} < \frac{1}{1000}$$

ПРОГИБЫ ЗДАНИЯ, КАК ОТ ДЕФОРМАЦИИ НЕСУЩИХ КОНСТРУКЦИЙ, ТАК И ОТ ПОДАТЛИВОСТИ ОСНОВАНИЯ /ПРИ УСЛОВНО ПРИНЯТОЙ ХАРАКТЕРИСТИКЕ

ПОДАТЛИВОСТИ ОСНОВАНИЯ $R_{\text{бз}}=0$ / НАХОДЯТСЯ В КРЕДОЛАХ ДОЗУСТАМОГО.

Расчет здания в продольном направлении включает определение суммарных изгибающих моментов с учетом продольного изгиба, проверку несущей способности диафрагм при различных сочетаниях нагрузок и проверку деформативности здания. Этот расчет выполняется так же, как и в продольном направлении.

ПРИМЕР 5. Проверить прочность звездочной диафрагмы при следующих данных: $P=1100 \text{ т}; M=1800 \text{ Тм}; N_{\text{спр}}=520 \text{ т}. \text{ Средняя ковка на км}^2 \text{ имеет сечение } 400 \times 400, \text{ армирована } 6 \phi 32 \text{ аш}, f_a=0,004826 \text{ м}^2$

Марка бетона 400, $R_{\text{нр}}=1700 \text{ Т/м}^2$. Длина диафрагмы $L=12 \text{ м}; l_{\text{спр}}=11,6 \text{ м};$ диафрагма симметричная - $Y_{\text{спр}}=6 \text{ м}$.

По формуле (У.34) определяется величина $N_{\text{спр}}$

$$N_{\text{спр}}' = 1700 \times 0,4 (0,4-0,12) + 0,004826 \times 34000 = 354,5 \text{ т} = 354 \text{ т}$$

По формуле (У.30) $x_0 = \frac{1100-520-354}{1300 \times 0,12} = 1,45 \text{ м}$

$$e_0 = \frac{1800}{1100} = 1,64 \text{ м}; e = 1,64 + 6 = 7,64 \text{ м}$$

$$P \cdot e = 1100 \times 7,64 = 8404 \text{ тм}$$

т.к. $0 < x_0 < l_{\text{спр}} = 11,6$, прочность диафрагмы проверяется по формуле (У.35)

$$0,95 [520 \times 12 + 1300 \times 0,12 \times 1,45 (11,6 + \frac{0,4}{2} - \frac{1,45}{2}) + 354 \times 6] = \\ = 0,95 (6240 + 1728 + 2124) = 9587 \text{ Тм} > 8404 \text{ Тм}$$

Прочность диафрагмы на винцентренное сжатие обеспечена.

У. УКАЗАНИЯ ПО ПРОЕКТИРОВАНИЮ И РАСЧЕТУ ДИСКА ПЕРЕКРЫТИЯ.

У-1. Рекомендации по назначению размеров диска:

Диск перекрытий может не рассчитываться, если длины его консольных и

ТК	Указания по применению вентильационных балок-стенок жесткости и вентильационных балок	С В Р Н И Й	
		НН-04-0	ЭВЛСК
1975	Пояснительная записка	12	28

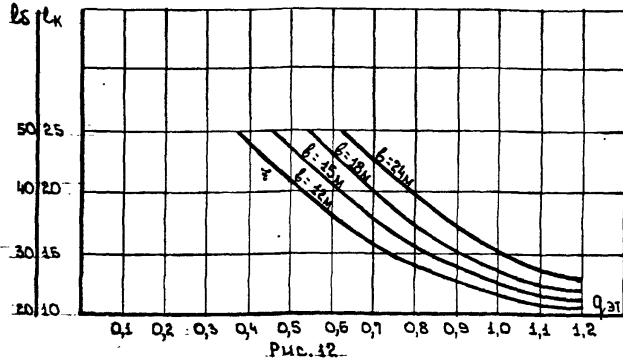
БАЛОЧНЫХ УЧАСТКОВ НЕ ПРЕВЫШАЮТ ПРЕДЕЛЬНО ДОПУСТИМЫХ ЗНАЧЕНИЙ, КОТОРЫЕ ОПРЕДЕЛЯЮТСЯ С ПОМОЩЬЮ ГРАФИКА НА РИС. 12.

На графике отложены предельно допустимые длины (в метрах):

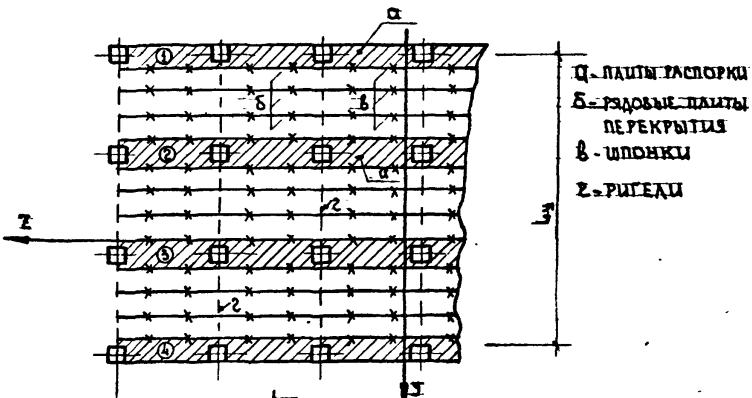
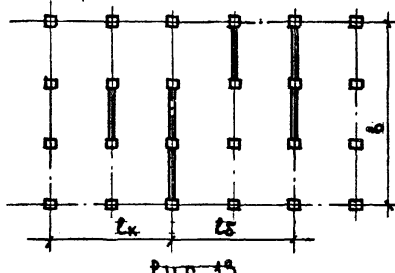
ℓ_{ck} - консольных участков к ℓ_b - балочных участков в зависимости от величин ветровых нагрузок $q_v^{\text{ст}}$, действующих на расчетный диск перекрытия здания, которые определяются по формуле, приведенной на листе 5.

При одинаковых диафрагмах длина консольного участка диска принимается равной расстоянию от края здания до первой диафрагмы, длина балочного участка - расстоянию между двумя соседними диафрагмами. Если жесткости диафрагм отличаются более, чем в 2 раза, длина консольного участка принимается равной расстоянию от края здания до первой более жесткой диафрагмы, а длина балочного участка - расстоянию между ближайшими более жесткими диафрагмами рис. 13. При этом предельные величины ℓ_{ck} и ℓ_b будут определяться по графику на рис. 12 с некоторым запасом, и в случае необходимости, могут быть уточнены расчетом диска по приведенной ниже методике.

ЗНАЧЕНИЯ ПРЕДЕЛЬНО ДОПУСТИМЫХ ДЛИН КОНСОЛЬНЫХ И БАЛОЧНЫХ УЧАСТКОВ ПЕРЕКРЫТИЯ



Не рекомендуется в зданиях со связанным каркасом увеличивать расстояние между диафрагмами выше 48 м. Высота консольных участков выше 24 м, если это не обосновывается специальным расчетом и дополнительными конструктивными мерами (например, установкой южных перекрытий).



T.K.	УКАЗАНИЯ ПО ПРИМЕНЕНИЮ ВЕНТИЛЯЦИОННЫХ БЛОКОВ-СТЕНОК ЖЕСТКОСТИ И ВЕНТИЛЯЦИОННЫХ БЛОКОВ	СЕРИЯ ЦИ-04-0
1975	Пояснительная записка	выпуск лист 12 29

V-2. ОПРЕДЕЛЕНИЕ ИЗГИБАЮЩИХ МОМЕНТОВ В ДИСКЕ ПЕРЕКРЫТИЯ К ЛЮДОЛЮБНЫХ УСИЛИЯ В РАСГОРКАХ К РИГЕЛЯХ.

На диск перекрытия действуют горизонтальные ветровые нагрузки W_1 , определяемые по формуле, данной на листе 5.

Вертикальные диафрагмы несут роль упруго-смещающихся опор для диска перекрытий. Реакции диафрагм R_{1y} и R_{1z} вычисляются по формулам:

$$\begin{aligned} R_{1y} &= -W_1 \frac{B_{1z}}{\Sigma B_{1z}} - [W_1 Z_0 - W_2 Y_0] \frac{Z_1 B_{1z}}{D_{12z}} \\ R_{1z} &= -W_2 \frac{B_{1z}}{\Sigma B_{1z}} + [W_1 Z_0 - W_2 Y_0] \frac{Y_1 B_{1z}}{D_{12z}} \end{aligned} \quad (\text{V.4}), \text{ где:}$$

W_1 , W_2 — ветровая нагрузка на один этаж / равнодействующая /.

Z_0 , Z_1 — расстояние от точки приложения равнодействующей ветровой нагрузки до начала координат / центра жесткости диафрагмы /.

Кроме того, в уровне диска покрытия возникают реакции от эксцентричного

приложения вертикальных нагрузок к диафрагмам.

$$R_{1y} = \frac{1}{H} [R_{1e1y} - \left\{ \frac{B_{1z}}{\Sigma B_{1z}} \leq R_{1e1y} + \frac{Z_1 B_{1z}}{D_{12z}} \right\}] \quad (\text{V.5})$$

$$R_{1z} = \frac{1}{H} [R_{1e1z} - \left\{ \frac{B_{1z}}{\Sigma B_{1z}} \leq R_{1e1z} + \frac{Y_1 B_{1z}}{D_{12z}} \right\}] \quad (\text{V.6})$$

От совместного действия на диск перекрытия горизонтальных нагрузок к реакции опор строятся эпюры изгибающих моментов в диске, по которым затем определяются растягивающие усилия в распорках к сдвигающимся усилиям в швах.

Наибольшие усилия от ветровых нагрузок имеют место во втором сверху диске. В диске покрытия возникают дополнительные усилия от эксцентричного приложения вертикальных нагрузок к диафрагмам. Таким образом, расчетными являются верхний диск / диск покрытия / или второй сверху диск.

У-3. РАСЧЕТ ЭЛЕМЕНТОВ ДИСКА ПЕРЕКРЫТИЯ.

Диск перекрытия должен воспринимать усилия, возникающие от действия

ветровой и вертикальной нагрузок и передавать их на диафрагмы.

В конструктивном отношении диск перекрытия представляет собой многослойную панель / см. рис. 14/, в которой поземки являются панты-распорками A , соединенные сваркой зажимных деталей. Распорки работают на продольные усилия, возникающие от действия изгибающего момента в плоскости перекрытия. Передача поперечных сил обеспечивается соединением на швах B панты перекрытия B .

При расчете дисков перекрытий необходимо проверять прочность распорок швонок, сдвигающих панты перекрытий, соединения ригелей с колоннами и крепление диафрагм к диску.

Стяжки ригелей с колоннами проверяются на действие растягивающих усилий в диске от горизонтальных сил, приходящихся на один ригель.

Крепление диска к диафрагме рассчитывается на усилие, равное реакции данной диафрагмы.

Прочность распорок проверяется по растягивающим усилиям из условия:

$$S_p \leq [S_p] \quad (\text{V.7}), \text{ где:}$$

$[S_p] = 10 \text{ т} -$ прочность распорок на растяжение.

S_p — растягивающее усилие в краиних распорках.

Растягивающие усилия в крайней распорке равны:

$$S_p = M_{\max} \frac{K_p}{L} \quad (\text{V.8}), \text{ где:}$$

M_{\max} — изгибающий момент в расчетном сечении диска от горизонтальных к вертикальным нагрузкам, вызывающим изгиб диска в направлении оси Y .

L — ширина диска

K_p — коэффициент, зависящий от относительных размеров диска.

ТК	УКАЗАНИЯ ПО ПРИМЕНЕНИЮ ВЕНТИЛЯЦИОННЫХ БАЛОКОВ СТЕНОК ЖЕСТКОСТИ И ВЕНТИЛЯЦИОННЫХ БАЛОКОВ	СЕРИЯ НН-04-0
1975	ПОЯСНИТЕЛЬНАЯ ЗАПИСКА	БИЛУСК АКИСТ 12 30

Коэффициент K_2 -вычисляется по формуле:

$$K_2 = \frac{\gamma + 2}{2\gamma - 1} \quad (\bar{V}.5), \text{ где:}$$

$\gamma = \frac{2E_k}{E_y}$ - для консольного участка диска;

$\gamma = \frac{E_k}{E_y}$ - для балочного участка диска.

Если $\gamma > 3$, следует принять $K_2 = 1$.

Прочность шпонок, соединяющих панцы перекрытий, проверяется на действие сдвигающих усилий Q_{sh} , направленных вдоль шва, из условия

$$Q_{sh} \leq [Q_{sh}] \quad (\bar{V}.6), \text{ где:}$$

$[Q_{sh}] = 36t$ - несущая способность шпоночного шва в пределах данной панели перекрытия.

Следующая схема в шпоночном шве:

$$Q_{sh} = \frac{A M_z^{max}}{L_y} K_2 \quad (\bar{V}.7), \text{ где:}$$

$A M_z^{max}$ - приращение изгибающего момента в диске в пределах одного шага колонн.

В случае ориентации рабочих вдоль оси "У" в формулах (V.4) и (V.7) следует подставлять M_x^{max} вместо M_z и L_x вместо L_y .

VI. УКАЗАНИЯ ПО ПРИМЕНЕНИЮ ВЕНТИЛЯЦИОННЫХ БЛОКОВ.

Вентиляционные блоки /блоки типа "ВБ" и "ВБА"/ могут использоваться только в качестве вентиляционных к санитарно-технических коммуникаций, с соблюдением требований, изложенных в разделе II-Область применения и характеристика изделий. В качестве стенок жесткости для дна фрагм вентиляционные блоки применяются не могут. Подбор блоков по несущей способности производится в соответствии с расчетными схемами и таблицей предельно допустимых нагрузок, приведенных на листе 43. При внешнентренном загружении они должны быть дополнительно проверены расчетом на конкретное сочетание нагрузок "N" и "M".

но при этом нагрузка "N" не должна превышать указанной в таблице.

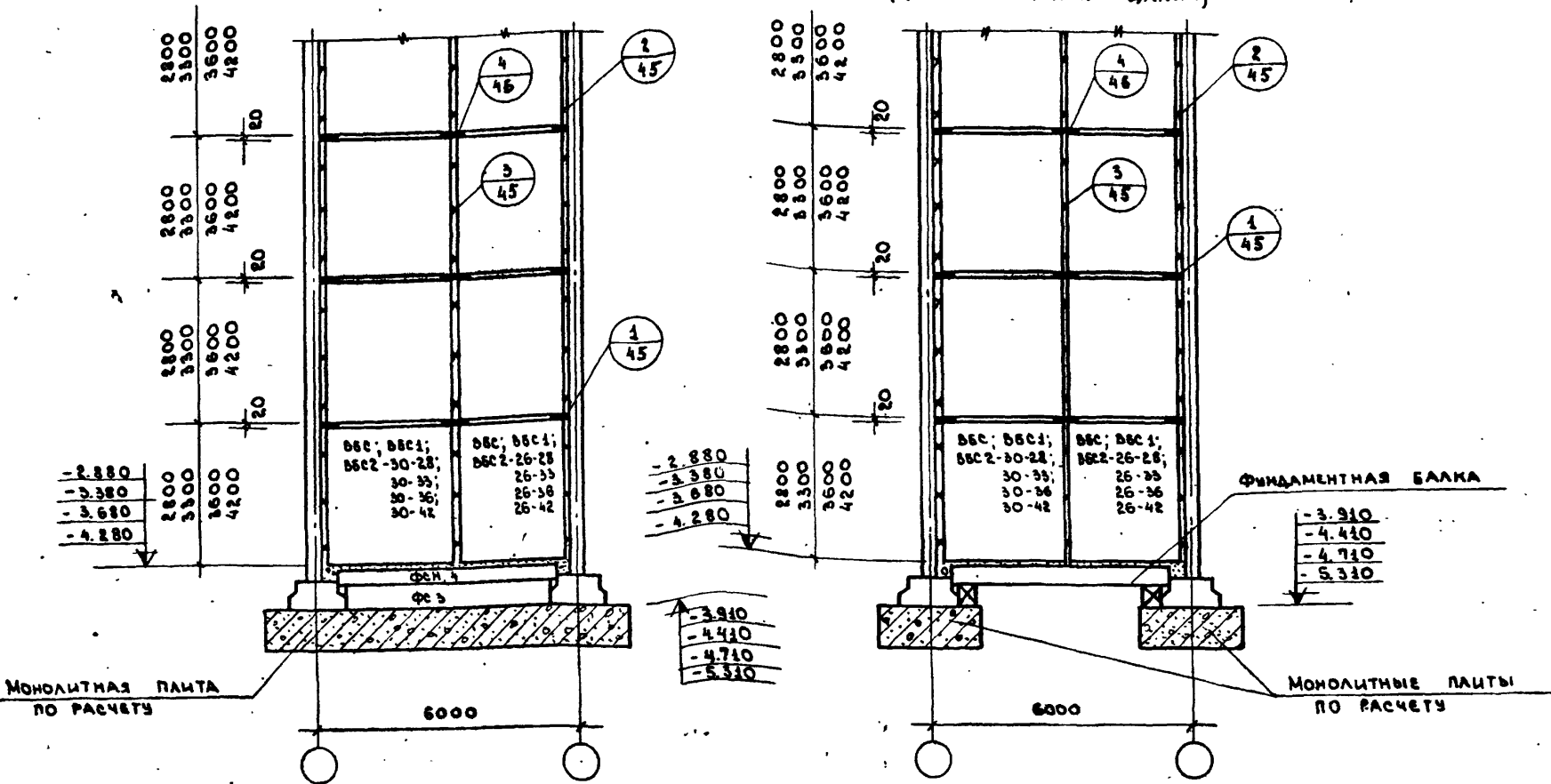
Вентиляционные блоки крепятся к колоннам и между собой только в верхнем уровне /в уровне перекрытия/. Балансировочные блоки допускается устанавливать не доводя их до колонн, а так же в надстройки, не совпадающей с надстройкой колонн. В этом случае, в процессе монтажа они должны быть захвачены временнымими креплениями до окончательной их заделки в перекрытиях. Возможно так же устройство проемов в стенах, выполненных из геокомбинированных вентиляционных блоков. Проемы могут быть на всю высоту этажа, а также к деревянные проемы с заделкой наличниковой частью. Примеры решений проемов в стенах из вентиляционных блоков даны на листе 42.

Вентиляционные блоки могут устанавливаться на фундаменты из сборных элементов и на рандблаки, опирающиеся на фундаменты основных несущих конструкций. Предпочтительнее устанавливать вентиляционные блоки на рандблаки, так как в этом случае исключается возможная разница в осадках фундаментов вентиляционных блоков и колонн, или других конструкций, находящихся в едином комплексе с блоками.

Не допускается выывать вентиляционные блоки выше кровли и использовать их в качестве вентиляционных шахт и других вентиляционных устройств на кровле.

ТК	УКАЗАНИЯ ПО ПРИМЕНЕНИЮ ВЕНТИЛЯЦИОННЫХ БЛОКОВ СТЕНОК ЖЕСТКОСТИ И ВЕНТИЛЯЦИОННЫХ БЛОКОВ	СЕРНЯ ИИ-04-0
1975	Пояснительная З. А. ВИСКАЛЕ	ВИДУС АКСТ 12 31

**ВАРИАНТ УСТАНОВКИ БЛОКОВ
НА ФУНДАМЕНТНЫЕ БАЛКИ
(для малоэтажных зданий)**

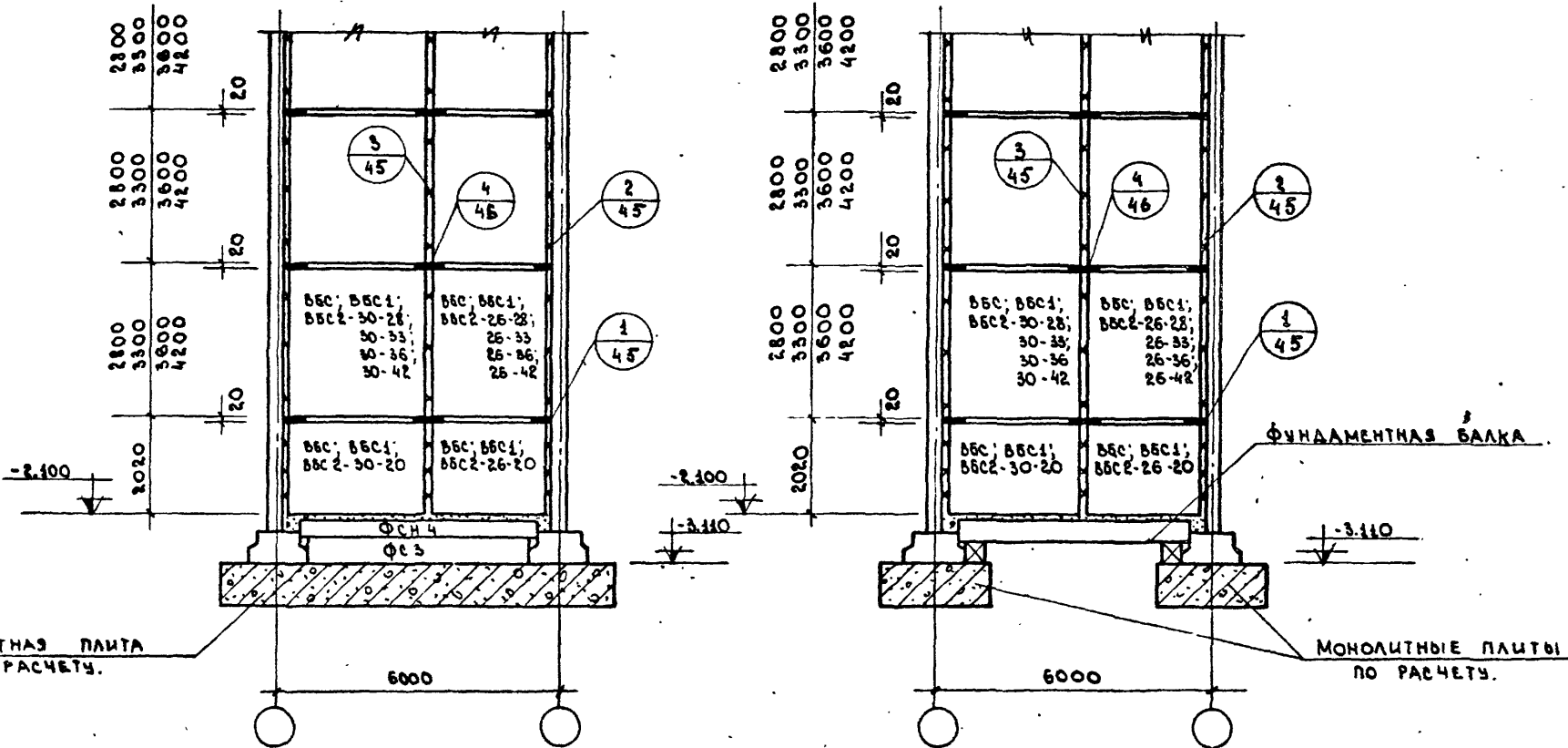


ПРИМЕЧАНИЯ:

- При установке блоков на фундаментные балки, несущая способность блоков должна быть проверена расчетом.
- Количество связей стенок жесткости с колоннами и между собой, обозначенных значком "Х", на схемах условно показано для высоты этажей 2,8 и 3,5м. При высотах этажей 3,6 и 4,2м стены жесткости крепят со связями в 4 точках.
- В марках блоков, цифровые индексы, стоящие в знаменателе и указывающие на несущую способность блоков, условно опущены.
- Блоки верхних рядов крепятся к опорам колонн и между собой монтажными накладочными деталями ММД-39, что должно быть гроверено в рабочих чертежах.

ТК	Указания по применению вентиляционных блоков – стенок жесткости и вентиляционных блоков.	СЕРИЯ НИ-ОЧ-О
1975	Монтажные схемы вентиляционных блоков-стенок жесткости.	ВЫПУСК АЛСТ 12 32

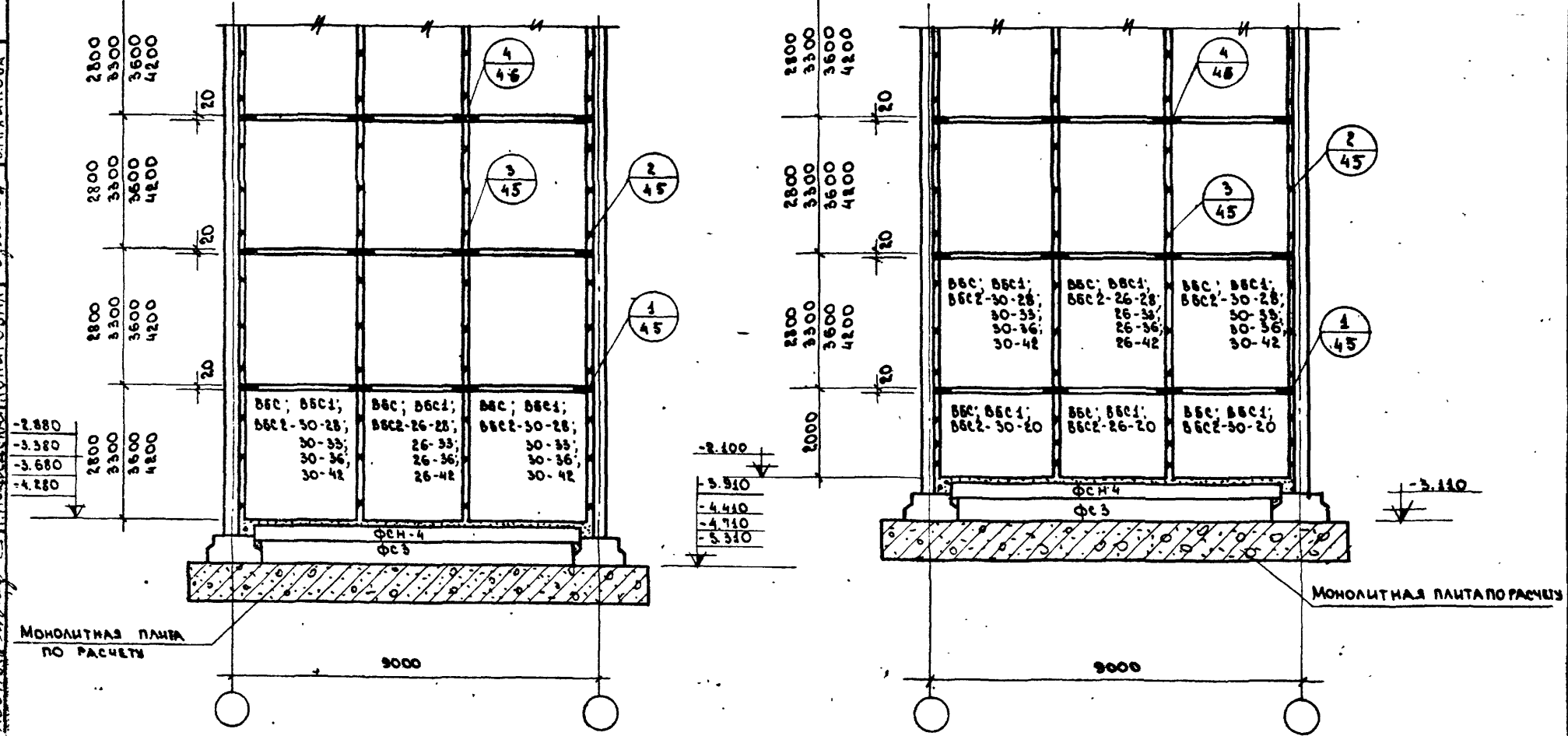
**ВАРИАНТ УСТАНОВКИ БЛОКОВ
НА ФУНДАМЕНТНЫЕ БЛКИ
(ДЛЯ МАЛОЗАЖНЫХ ЗДАНИЙ)**



ПРИМЕЧАНИЯ СМ. ЛИСТ 32.

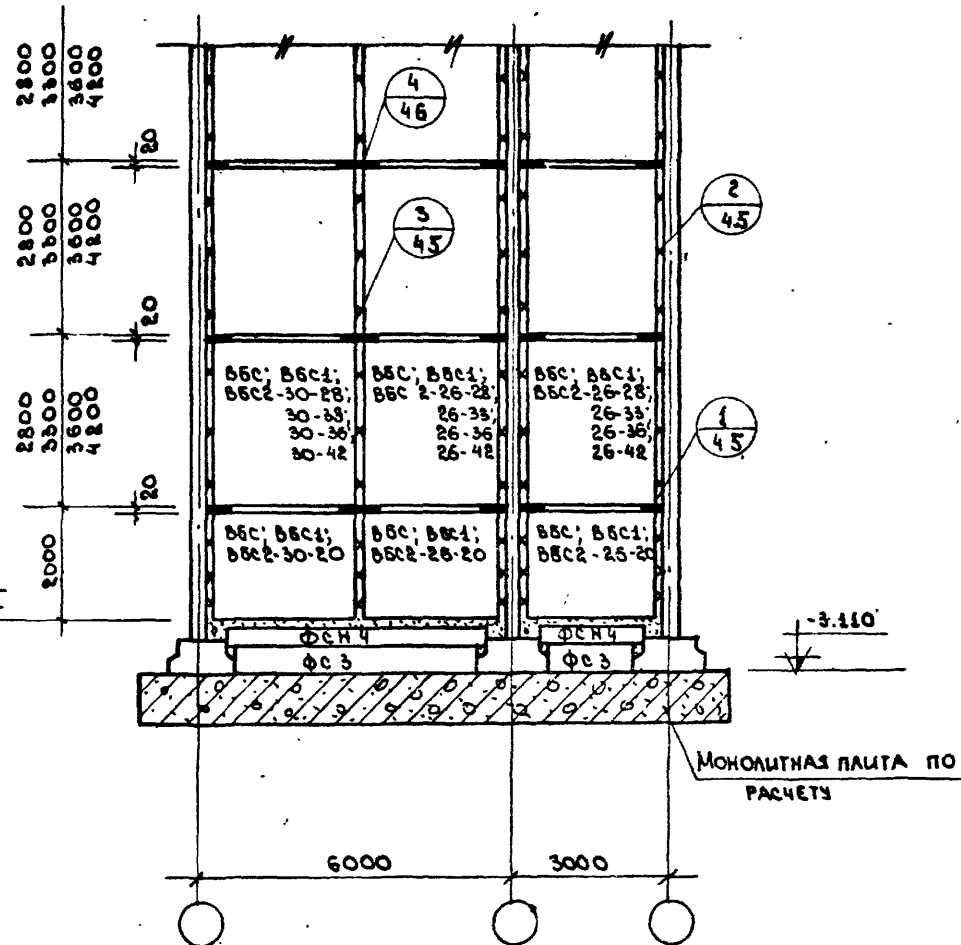
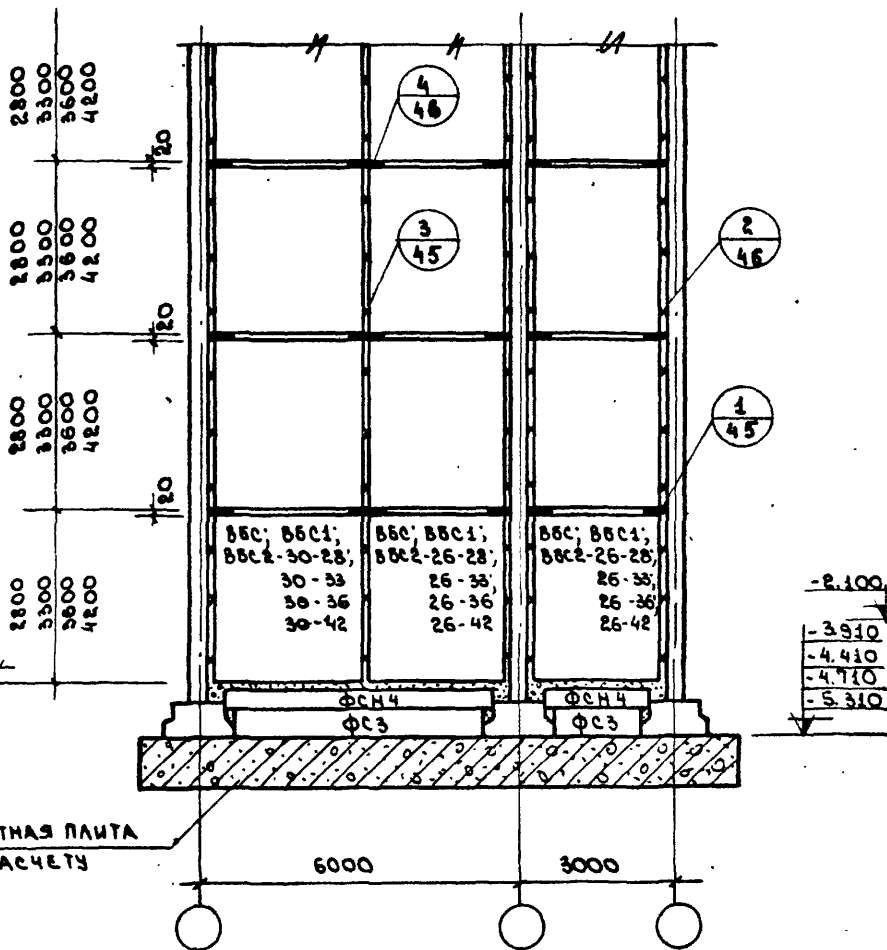
TK	УКАЗАНИЯ ПО ПРИМЕНЕНИЮ ВЕНТИЛЯЦИОННЫХ БЛОКОВ-СТЕНОК ЖЕСТКОСТИ И ВЕНТИЛЯЦИОННЫХ БЛОКОВ.	СЕРИЯ ИИ-04-0
1975	МОНТАЖНЫЕ СХЕМЫ ВЕНТИЛЯЦИОННЫХ БЛОКОВ-СТЕНОК ЖЕСТКОСТИ.	ВЫПУСК 49 лист 33

МАСТАКИ
МАСЛОВА
МАСЛОВА
МАСЛОВА
МАСЛОВА



ПРИМЕЧАНИЯ СМ. ЛИСТ 32.

TK	УКАЗАНИЯ ПО ПРИМЕНЕНИЮ ВЕНТИЛЯЦИОННЫХ БЛОКОВ-СТЕНОК ЖЕСТКОСТИ И ВЕНТИЛЯЦИОННЫХ БЛОКОВ	СЕРИЯ ИЧ-04-0
1975	МОНТАЖНЫЕ СХЕМЫ ВЕНТИЛЯЦИОННЫХ БЛОКОВ-СТЕНОК ЖЕСТКОСТИ.	ВЫПУСК ЛИСТ 12 34

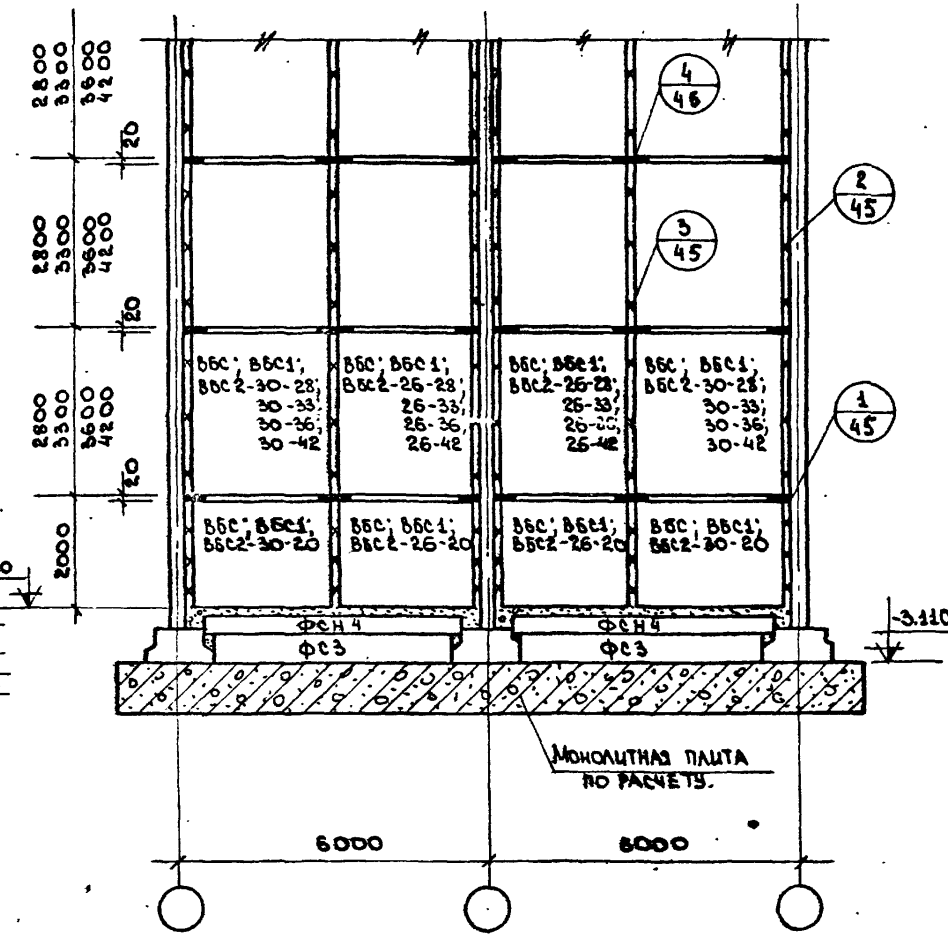
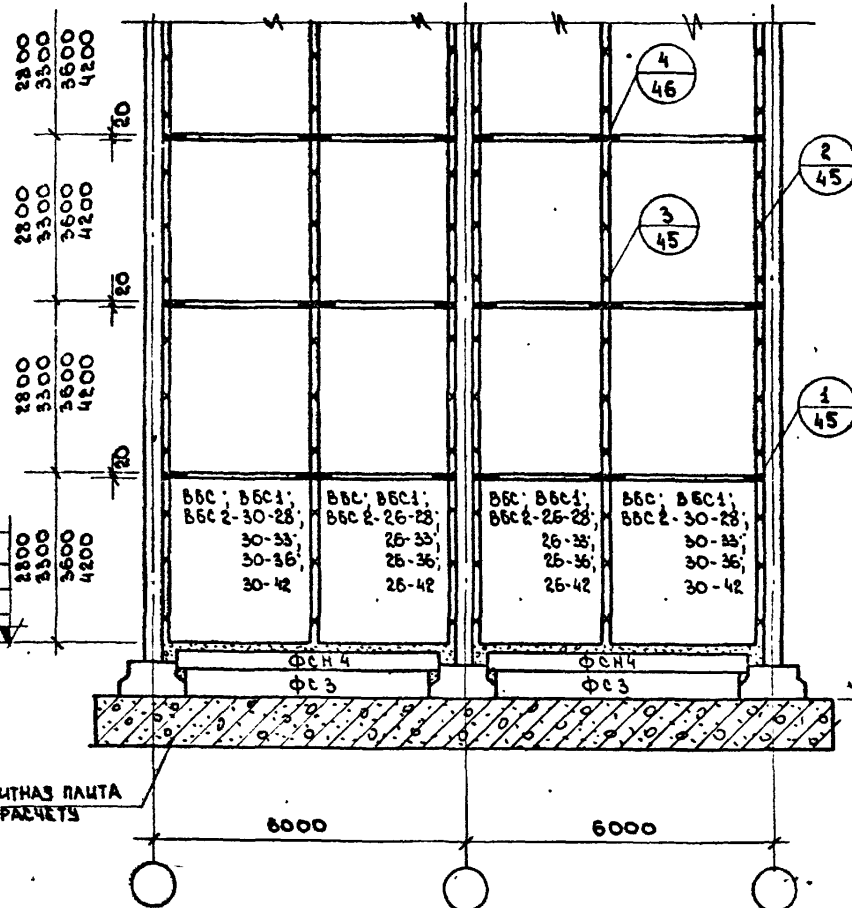


ПРИМЕЧАНИЯ СМ. ЛИСТ. 32.

TK	УКАЗАНИЯ ПО ПРИМЕНЕНИЮ ВЕНТИЛЯЦИОННЫХ БЛОКОВ-СТЕНОК ЖЕСТКОСТИ И ВЕНТИЛЯЦИОННЫХ БЛОКОВ.	СЕРИЯ ИИ-04-0
1975	Монтажные схемы вентиляционных блоков-стенок жесткости	выпуск лист. 12 35

Архипова.

Кузьмина. Копировали Смирнов.

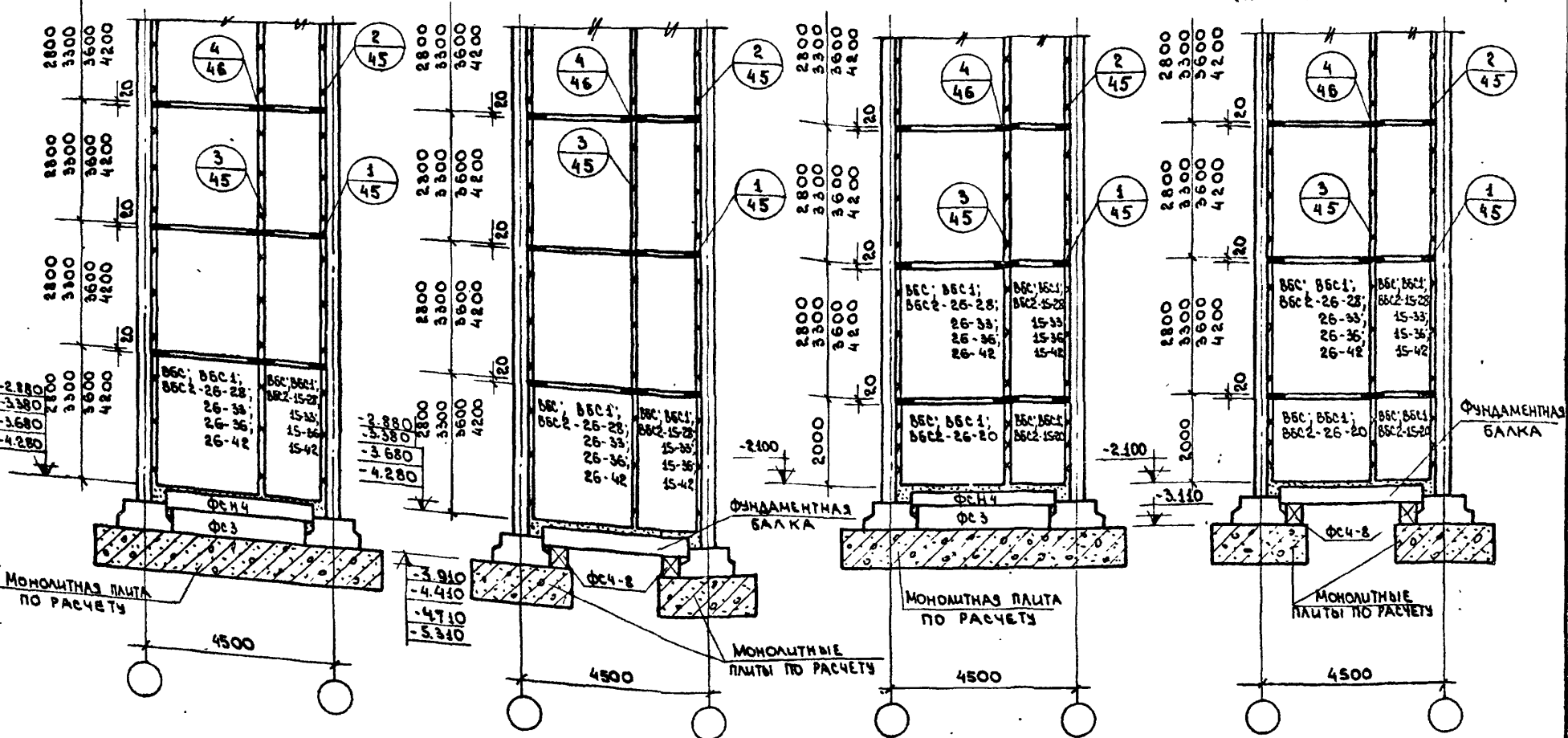
МОНТАЖНАЯ ПЛАТФОРМА
ПО РАСЧЕТУ

ПРИМЕЧАНИЯ СМ. ЛИСТ 32.

TK	УКАЗАНИЯ ПО ПРИМЕНЕНИЮ ВЕНТИЛЯЦИОННЫХ БЛОКОВ – СТЕНОК ЖЕСТКОСТИ И ВЕНТИЛЯЦИОННЫХ БЛОКОВ.	СЕРИЯ ИЧ-04-0
1975	Монтажные схемы вентиляционных блоков-стенок жесткости.	выпуск 12 лист 38

13654 39

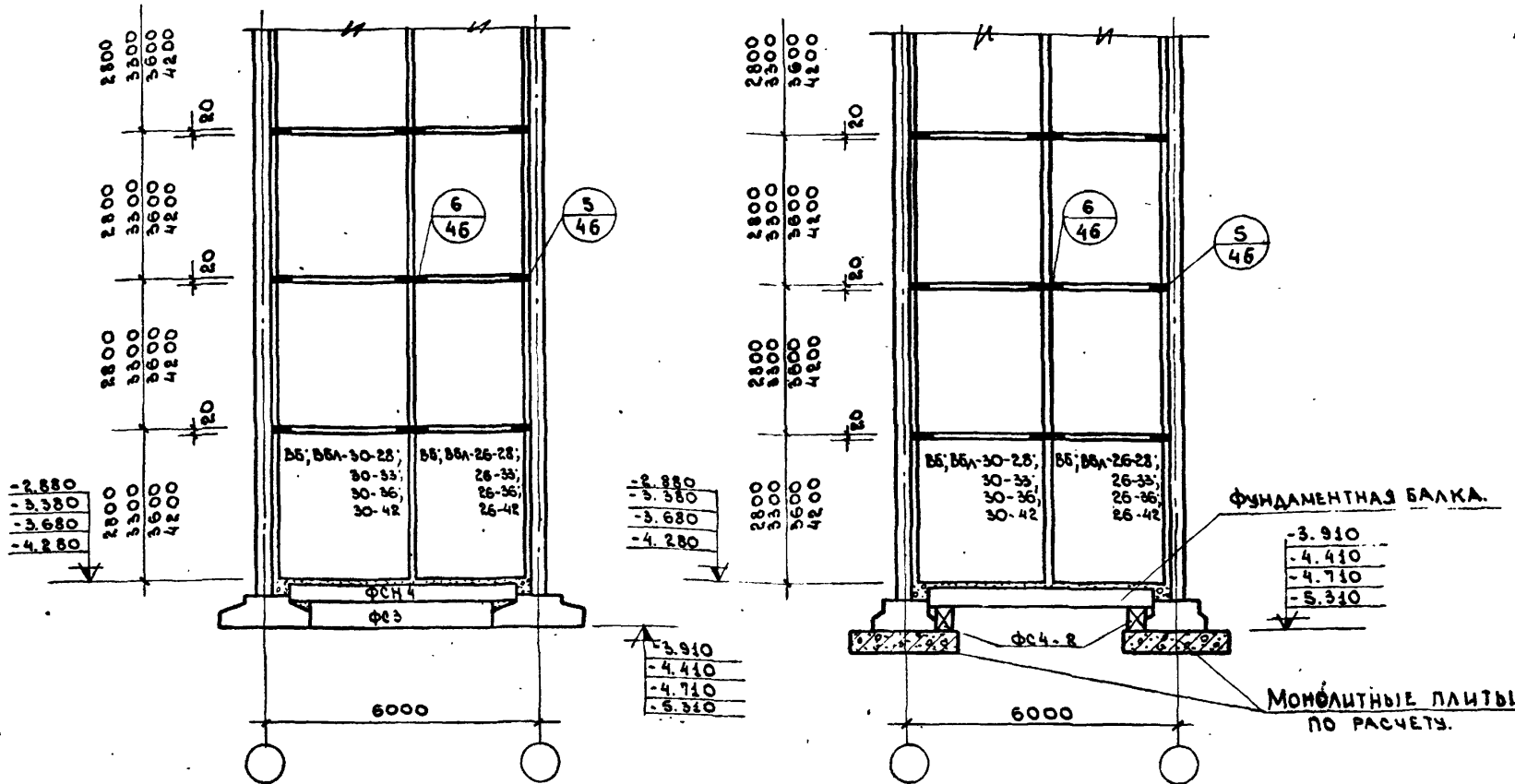
**ВАРИАНТ УСТАНОВКИ БЛОКОВ
НА ФУНДАМЕНТНЫЕ БАЛКИ
(ДЛЯ МАЛОЭТАЖНЫХ ЗДАНИЙ)**



ПРИМЕЧАНИЯ См. лист. 32.

TK	УКАЗАНИЯ ПО ПРИМЕНЕНИЮ ВЕНТИЛЯЦИОННЫХ БЛОКОВ – СТЕНОК ЖЕСТКОСТИ И ВЕНТИЛЯЦИОННЫХ БЛОКОВ	СЕРИЯ НИ-04-0
1975	Понятажные схемы вентиляционных блоков-стенок жесткости	выпуск 12 лист. 37

ВАРИАНТ УСТАНОВКИ БЛОКОВ
НА ФУНДАМЕНТНЫЕ БАЛКИ
(для малоэтажных зданий)



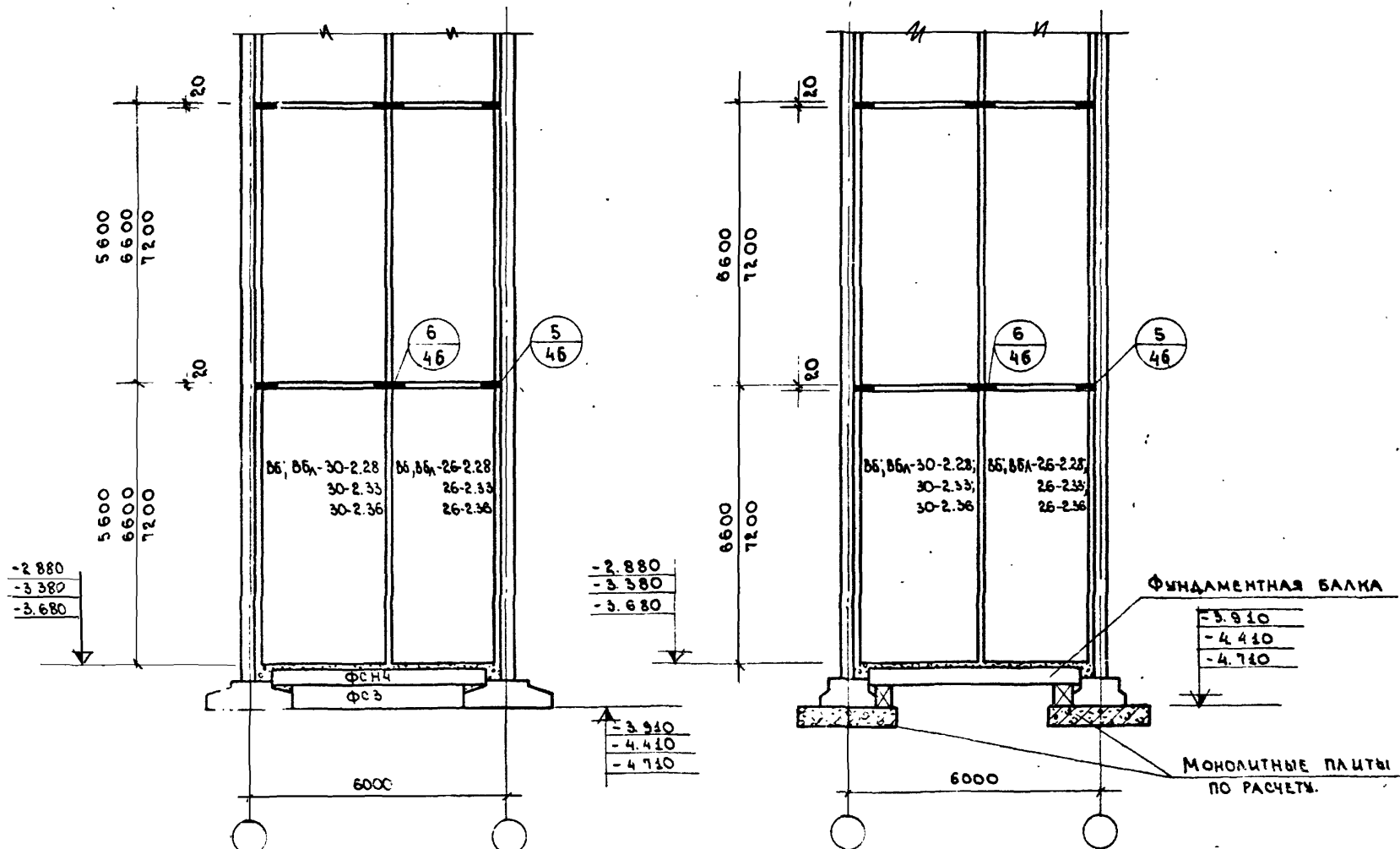
ПРИМЕЧАНИЯ:

1. При установке блоков на фундаментные балки, несущая способность балок должна быть проверена расчетом.
2. В марках блоков, цифровые индексы, стоящие в знаменателе и указывающие на несущую способность блоков, условно опущены.

3. Монтажные схемы вентиляционных блоков даны для пролетов 6м. Для пролетов 4,5м; 9м; 12м, монтажные схемы вентблоков аналогичны монтажным схемам, данным для вентиляционных блоков - стенок жесткости, см. листы 35, 36, 37.

TK	УКАЗАНИЯ ПО ПРИМЕНЕНИЮ ВЕНТИЛЯЦИОННЫХ БЛОКОВ-СТЕНОК ЖЕСТКОСТИ И ВЕНТИЛЯЦИОННЫХ БЛОКОВ.	СЕРИЯ ИЧ-04.0
1975	МОНТАЖНЫЕ СХЕМЫ ВЕНТИЛЯЦИОННЫХ БЛОКОВ.	ВЫПУСК АЛЛЕТ 12 38

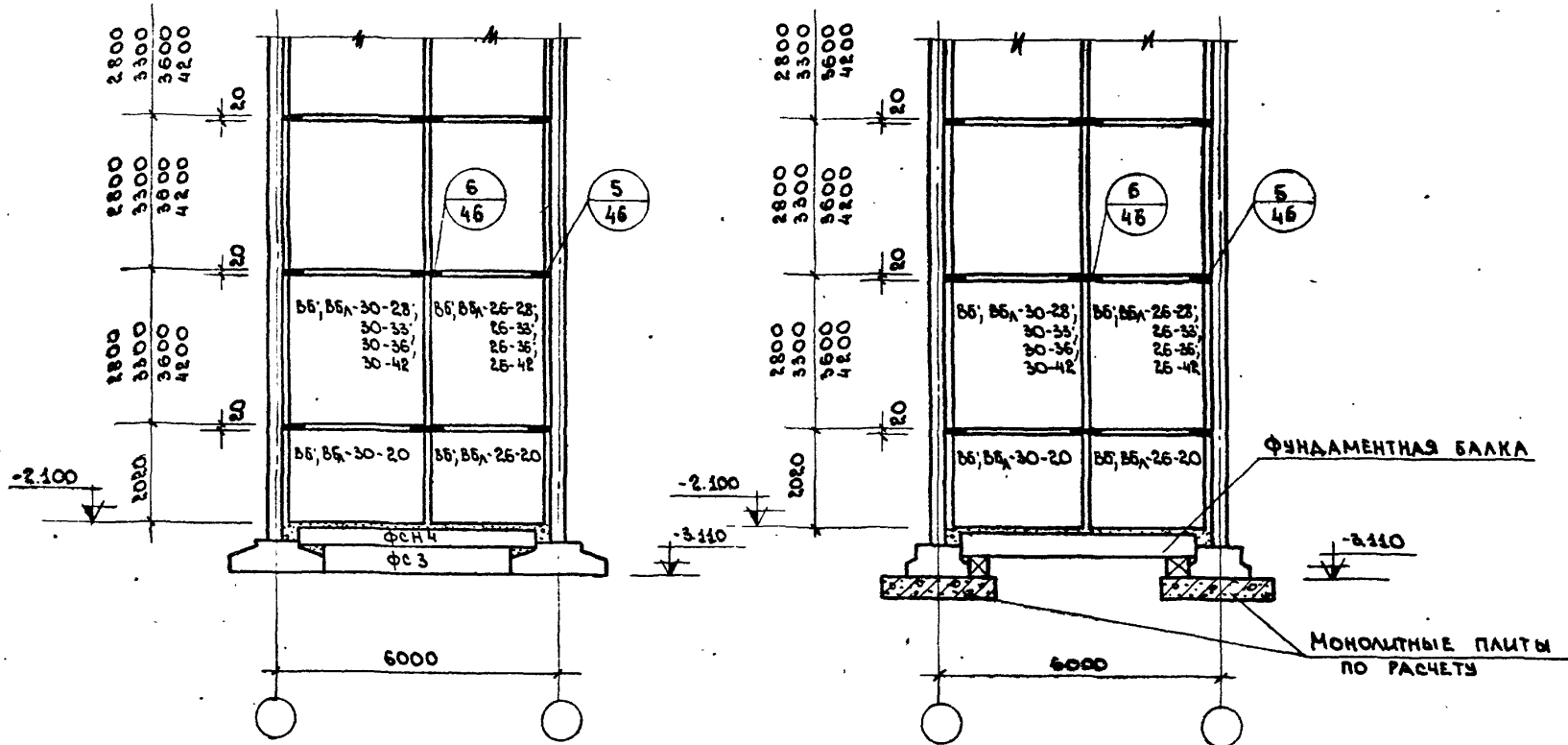
ВАРИАНТ УСТАНОВКИ БЛОКОВ
НА ФУНДАМЕНТНЫЕ БАЛКИ
(для малоэтажных зданий)



ПРИМЕЧАНИЯ СМ. ЛИСТ 38.

ТК	УКАЗАНИЯ ПО ПРИМЕНЕНИЮ ВЕНТИЛЯЦИОННЫХ БЛОКОВ- СТЕНОК ЖЕСТОКИИ И ВЕНТИЛЯЦИОННЫХ БЛОКОВ.	СЕРИЯ НИ-0Ч-0
1975	Монтажные схемы вентиляционных блоков.	волна 12 лист 39

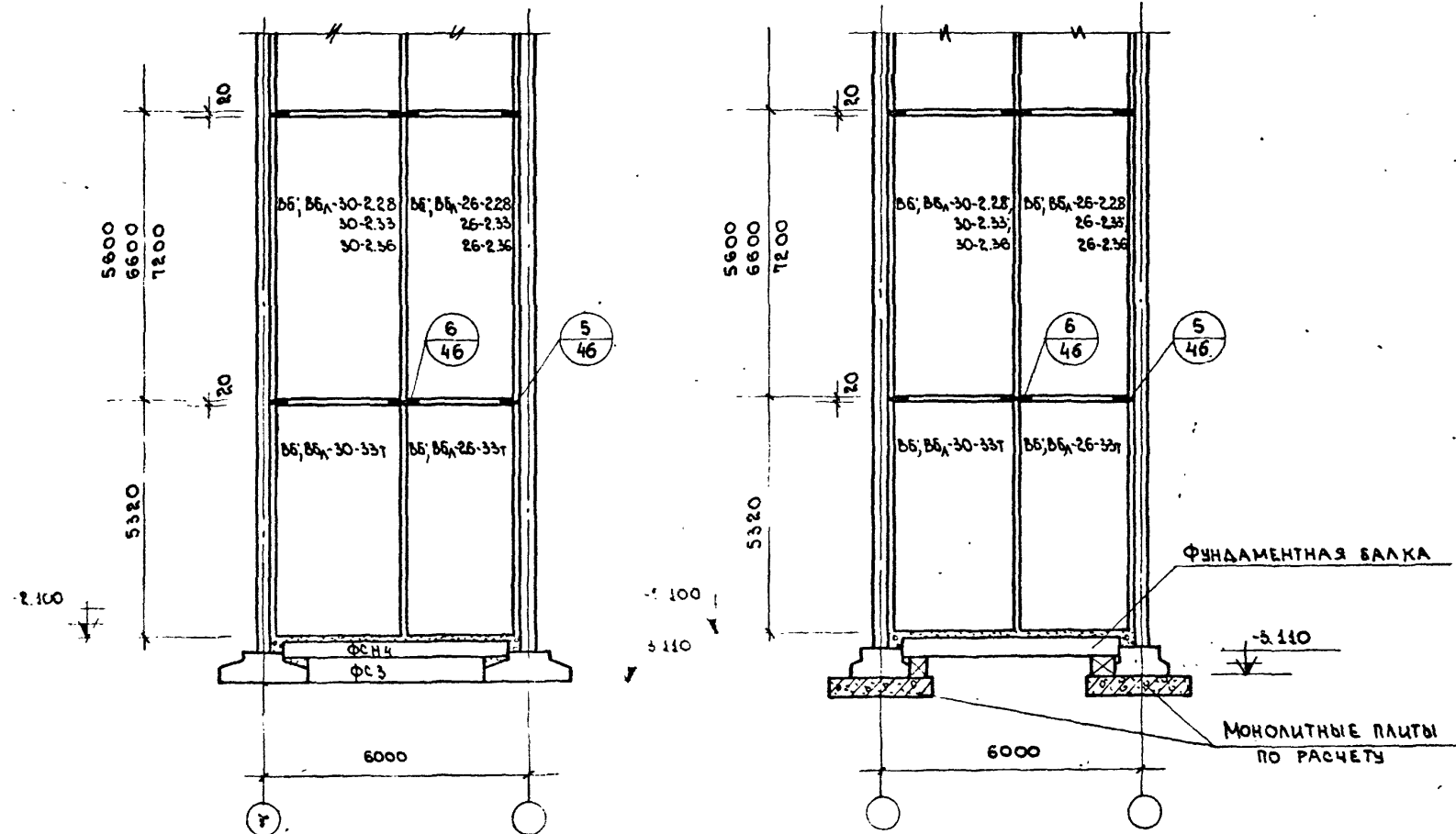
ВАРИАНТ УСТАНОВКИ БЛОКОВ
НА ФУНДАМЕНТНЫЕ БАЛКИ
(ДЛЯ МАЛОЭТАЖНЫХ ЗДАНИЙ)



ПРИМЕЧАНИЯ СМ. ЛИСТ 38.

TK	УКАЗАНИЯ ПО ПРИМЕНЕНИЮ ВЕНТИЛЯЦИОННЫХ БЛОКОВ-СТЕНОК ЖЕСТКОСТИ И ВЕНТИЛЯЦИОННЫХ БЛОКОВ.	СЕРИЯ ИИ-04-0
1975	МОНТАЖНЫЕ СХЕМЫ ВЕНТИЛЯЦИОННЫХ БЛОКОВ.	ВЫПУСК 12 ЛИСТ 43

**ВАРИАНТ УСТАНОВКИ БЛОКОВ
НА ФУНДАМЕНТНЫЕ БАЛКИ
(ДЛЯ МАЛОЭТАЖНЫХ ЗДАНИЙ)**

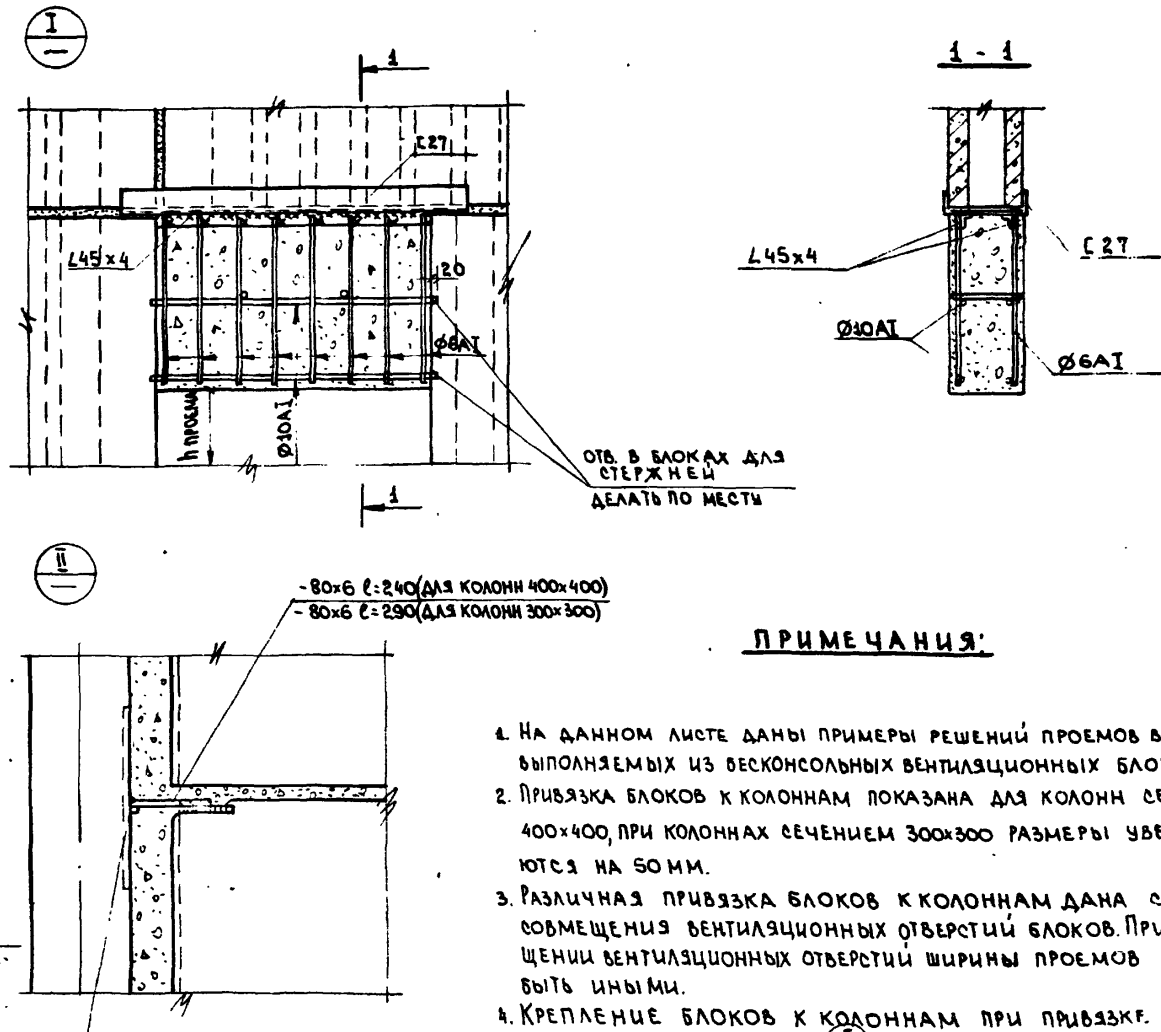
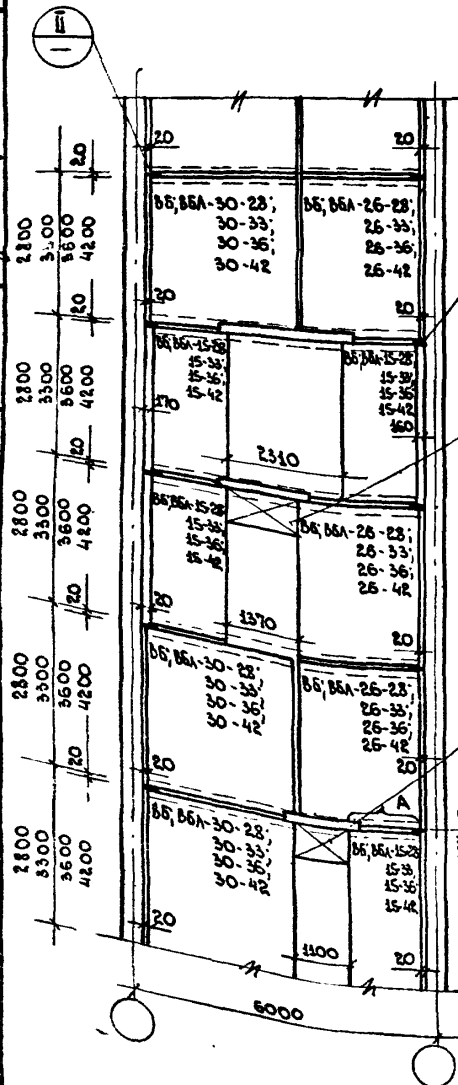


ПРИМЕЧАНИЯ СМ. ЛИСТ 38.

ТК	УКАЗАНИЯ ПО ПРИМЕНЕНИЮ ВЕНТИЛЯЦИОННЫХ БЛОКОВ-СТЕНОК ЖЕСТКОСТИ И ВЕНТИЛЯЦИОННЫХ БЛОКОВ.	СЕРИЯ НИ-04-0
1975	Монтажные схемы вентиляционных блоков.	ВЫПУСК ЛИСТ 12 ЧАСТЬ 41

Чертеж № 001-1000
ГОСТ 12.4-68
Изображение № 1

Форма № 1



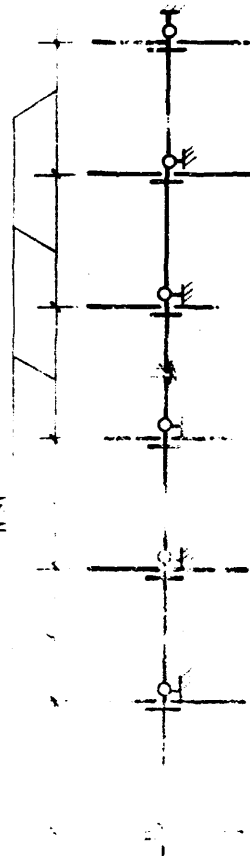
ПРИМЕЧАНИЯ:

- На данном листе даны примеры решений проемов в стенах выполняемых из бесконсольных вентиляционных блоков.
- Привязка блоков к колоннам показана для колонн сечением 400x400, при колоннах сечением 300x300 размеры увеличиваются на 50 мм.
- Различная привязка блоков к колоннам дана с целью совмещения вентиляционных отверстий блоков. При несовмещении вентиляционных отверстий ширины проемов могут быть иными.
- Крепление блоков к колоннам при привязке 20 мм выполняется по ЧЗЛЧ 544
- Заделку надпроемной части выполнить до установки блоков вышележащего этажа.

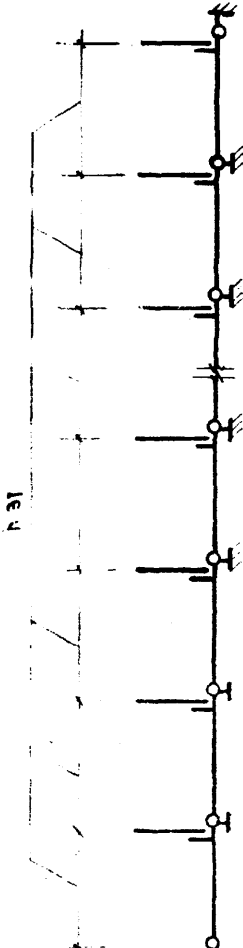
Т.К.	УКАЗАНИЯ ПО ПРИМЕНЕНИЮ ВЕНТИЛЯЦИОННЫХ БЛОКОВ-СТЕНОК ХЕЛПОСТИ И ВЕНТИЛЯЦИОННЫХ БЛОКОВ.	СЕРИЯ ИЧ-04-0
1975	ПРИМЕР РЕШЕНИЙ ПРОЕМОВ В СТЕНАХ, ВЫПОЛНЯЕМЫХ ИЗ БЕСКОНСОЛЬНЫХ ВЕНТИЛЯЦИОННЫХ БЛОКОВ.	ВЫПУСК 12 ЛИСТ 42

БЛОКИ С КОНСОЛЯМИ.

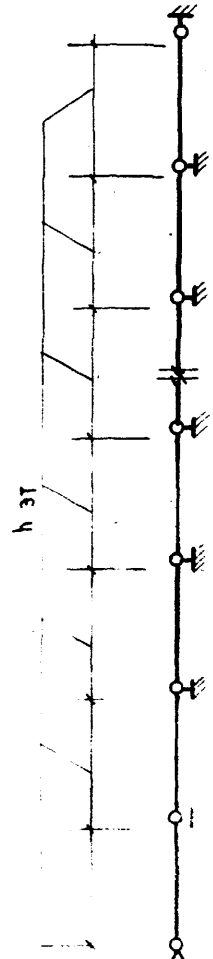
2-СТОРОННЕЕ
ЗАГРУЖЕНИЕ



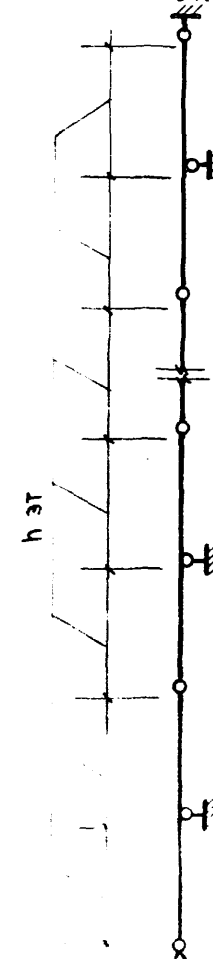
1-СТОРОННЕЕ
ЗАГРУЖЕНИЕ



ОДНОЭТАЖНЫЕ
БЛОКИ.



ДВУХЭТАЖНЫЕ
БЛОКИ.



БЕСКОНСОЛЬНЫЕ БЛОКИ.

ПРЕДЕЛЬНО ДОПУСТИМЫЕ НАГРУЗКИ НА БЛОКИ*

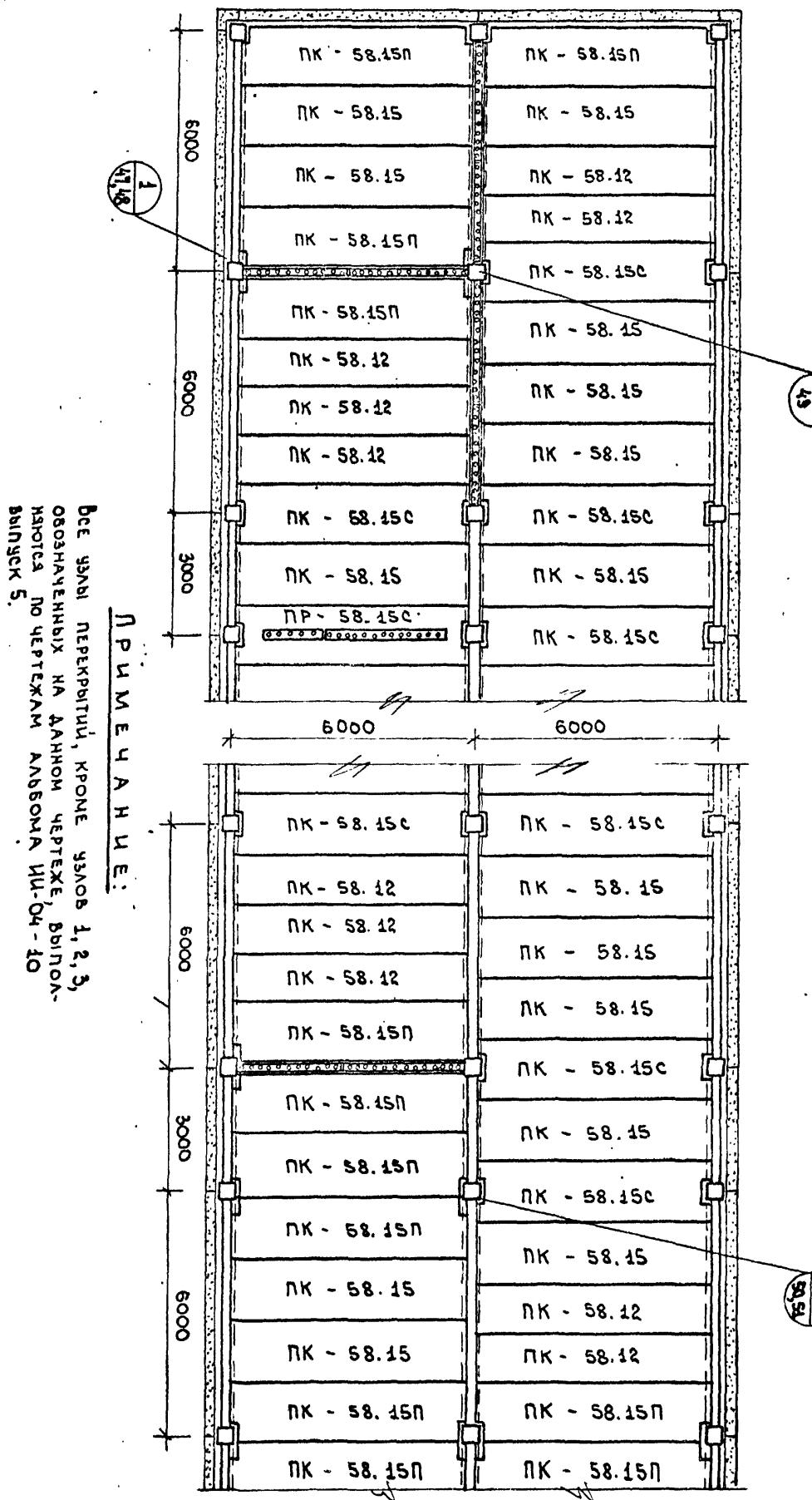
ХАРАКТЕРИСТИКА ИЗДЕЛИЯ.	При ЦЕНТРАЛЬНОМ ЗАГРУЖЕНИИ	При ВНЕЦЕНТРЕННОМ ЗАГРУЖЕНИИ
БЛОКИ ИЗ ТЯЖЕЛОГО И ЛЕГКОГО БЕТОНА МАРКИ 300	125 т/п.м	75 т/п.м
БЛОКИ ИЗ ТЯЖЕЛОГО И ЛЕГКОГО БЕТОНА МАРКИ 200	85 т/п.м	50 т/п.м

* - ПРЕДЕЛЬНО ДОПУСТИМЫЕ НАГРУЗКИ НА БЛОКИ ОПРЕДЕЛЕНЫ ИЗ УСЛОВИЙ ПРОТИВОПОЖАРНОЙ БЕЗОПАСНОСТИ ОБЕСПЕЧИВАЮЩИЕ ПРЕДЕЛ ОГНЕСТОЙКОСТИ БЛОКОВ 2,5 ЧАСА, ЧТО ЯВЛЯЕТСЯ ТРЕБОВАНИЕМ ПРОТИВОПОЖАРНЫХ НОРМ.

ПРИМЕЧАНИЯ:

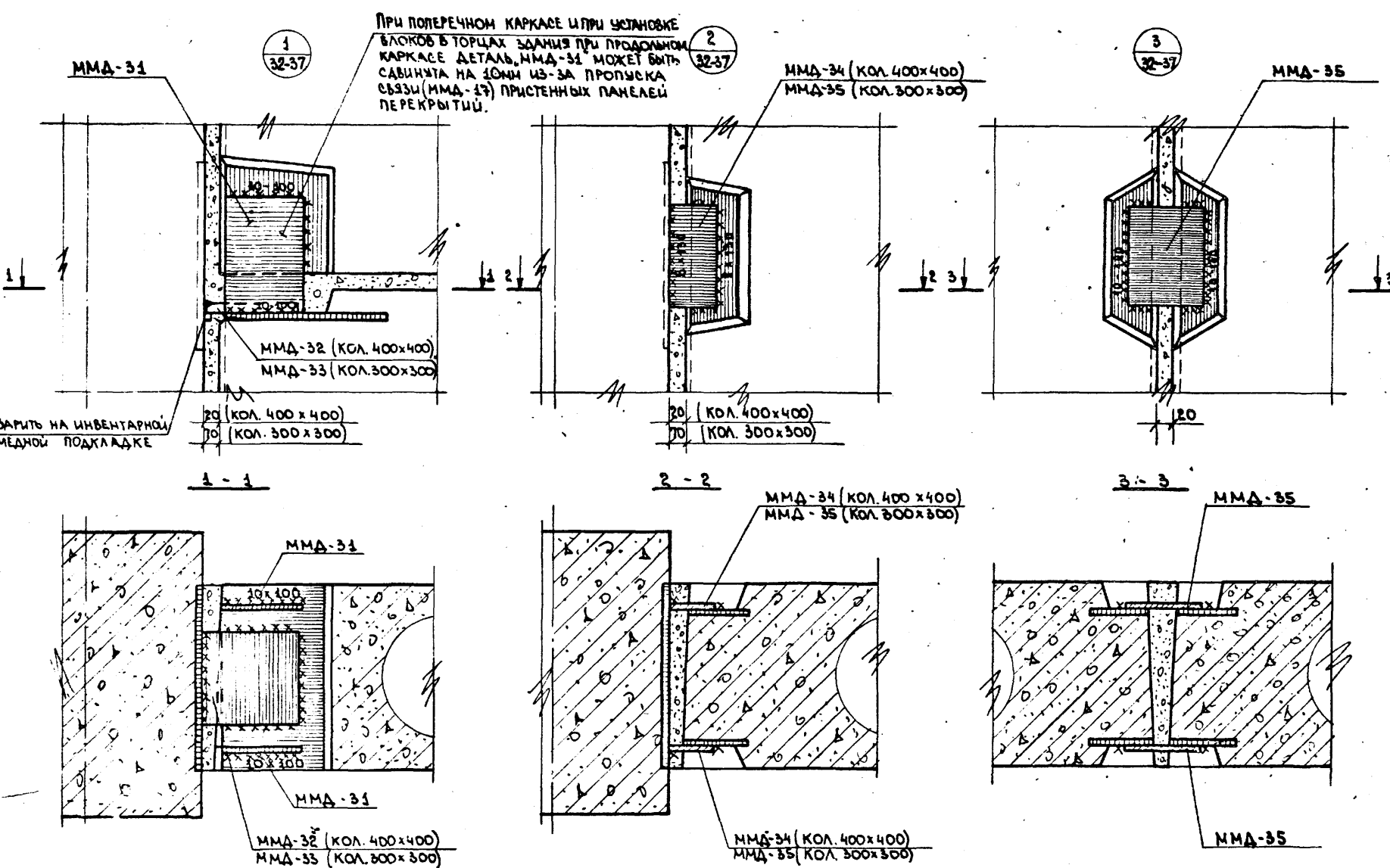
1. Расчетные схемы вентиляционных блоков-стенок жесткости и вентиляционных блоков из своей плоскости представляют собой вертикальный стержень, разрезанный в уровнях перекрытий несмешающимися шарнирами. Несмешаемость шарниров обеспечивается связью блоков с дисками перекрытий.
2. Указания по подбору и расчету прочности вентиляционных блоков см. пояснительную записку, раздел — „Указания по применению вентиляционных блоков“.

Указания по применению вентиляционных блоков-стенок жесткости и вентиляционных блоков.	СЕРИЯ ИИ-04-0
Расчетные схемы блоков из своей плоскости	выпуск лист 12 43

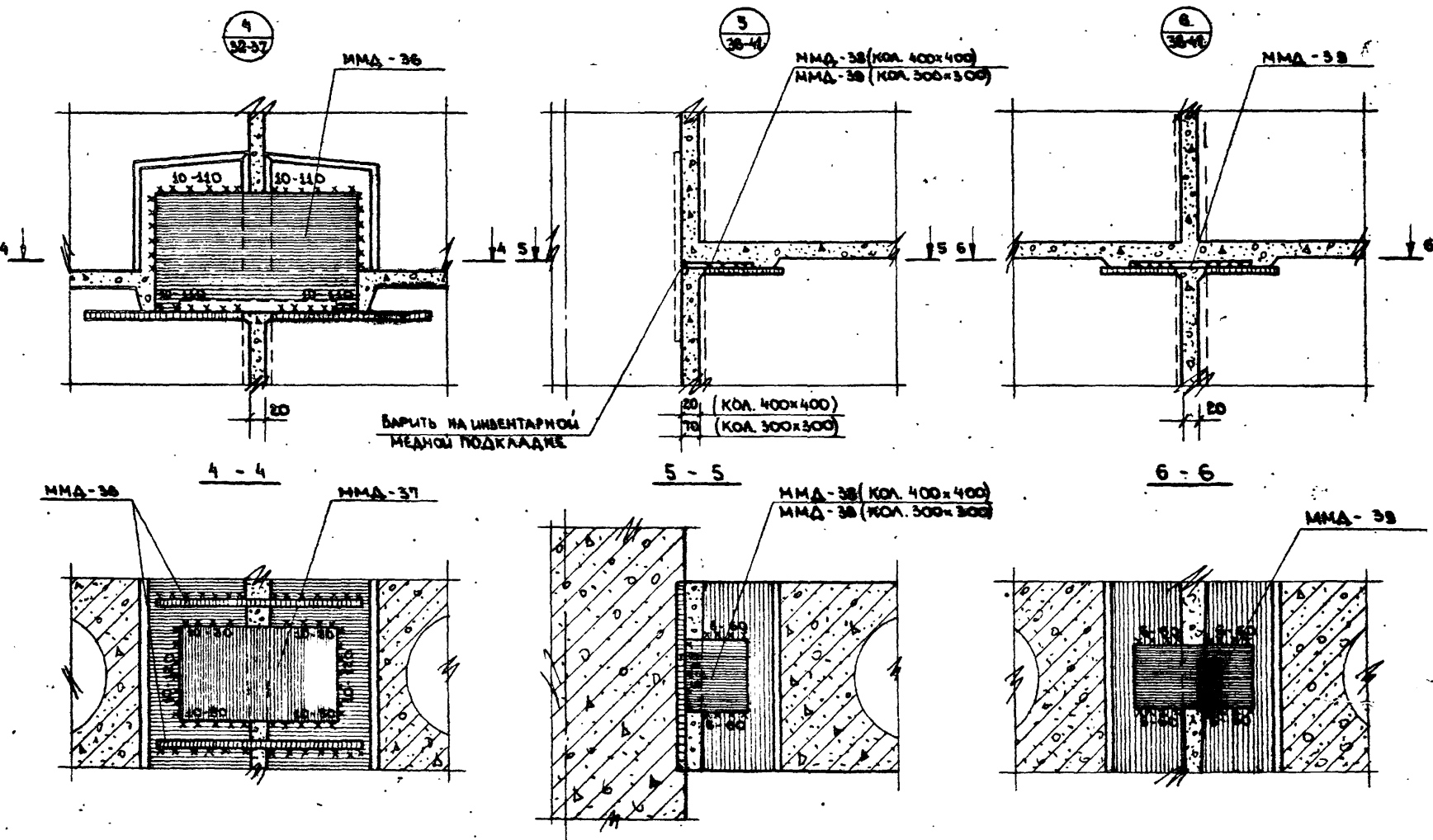


Т.К.	Указания по применению вентиляционных блоков, стенок жесткости и вентиляционных блоков.	СЕРИЯ
1975	Схемы раскладки перекрытия	ИД-04-10
	выпуск 42	лист 44

архитектор В.Архипова.

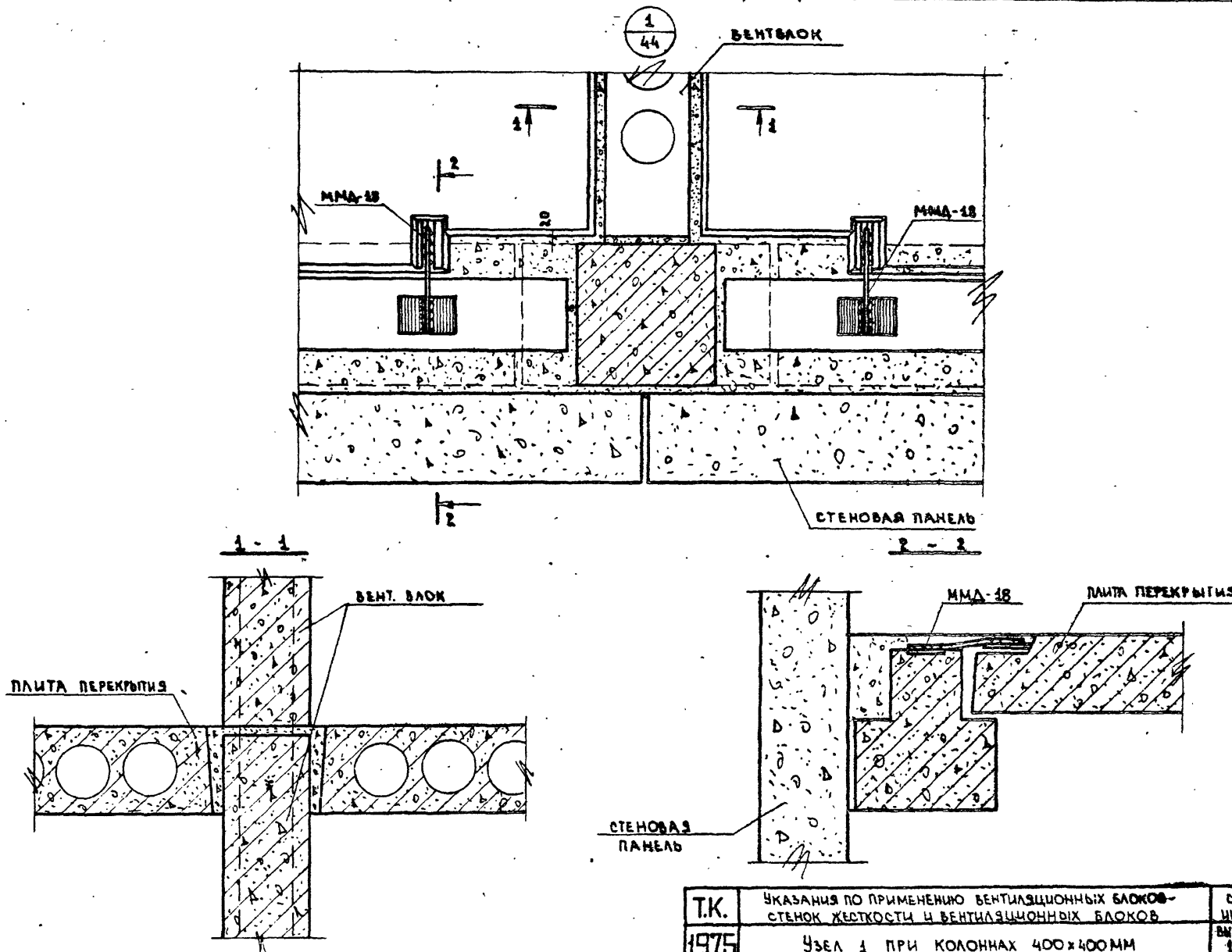
Г.Кузьмина
Любовь Резовская
копирововалразработка
Москвич

T.K.	УКАЗАНИЯ ПО ПРИМЕНЕНИЮ ВЕНТИЛЯЦИОННЫХ БЛОКОВ-СТЕНОК ЖЕСТКОСТИ И ВЕНТИЛЯЦИОННЫХ БЛОКОВ.	СЕРИЯ Чи-04-0
1975	МОНТАЖНЫЕ УЗЛЫ 1 ÷ 3	выпуск 12 лист 45



TK.	УКАЗАНИЯ ПО ПРИМЕНЕНИЮ ВЕНТИЛЯЦИОННЫХ БЛОКОВ – СТЕНОК ХЕСТКОСТИ И ВЕНТИЛЯЦИОННЫХ БЛОКОВ.	СЕРИЯ ИМ-94-0
1975	МОНТАЖНЫЕ УЗЛЫ 4 + 6.	ЛИСТ 19 48

13654 49



T.K.

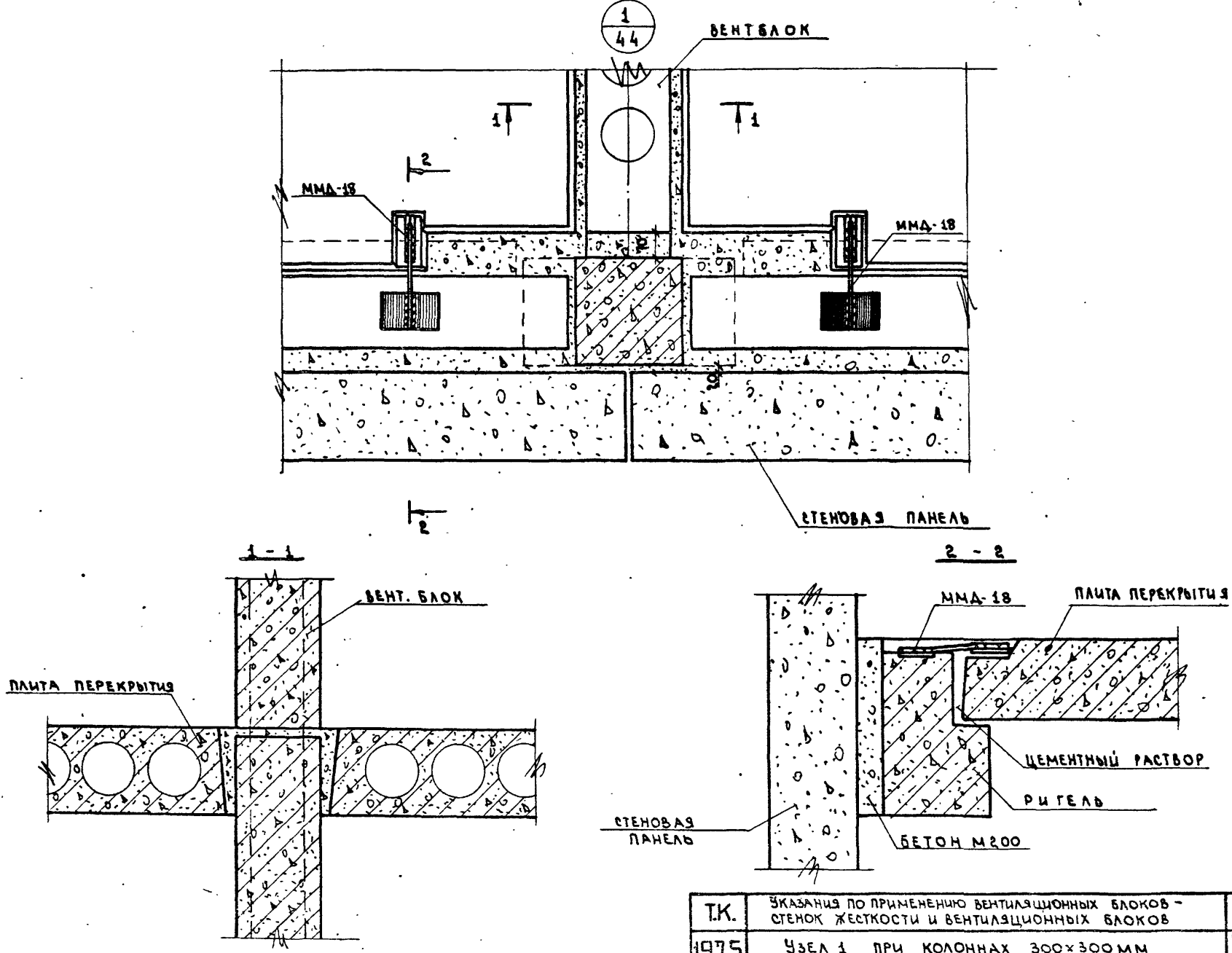
УКАЗАНИЯ ПО ПРИМЕНЕНИЮ ВЕНТИЛЯЦИОННЫХ БЛОКОВ-
СТЕНОК ЖЕЛТОСТИ И ВЕНТИЛЯЦИОННЫХ БЛОКОВ

1975

ЧУДЛ 1 ПРИ КОЛОННАХ 400x400 MM

СЕРИЯ
ЧИ-04-9БЛГОВСК Альбет
12 47

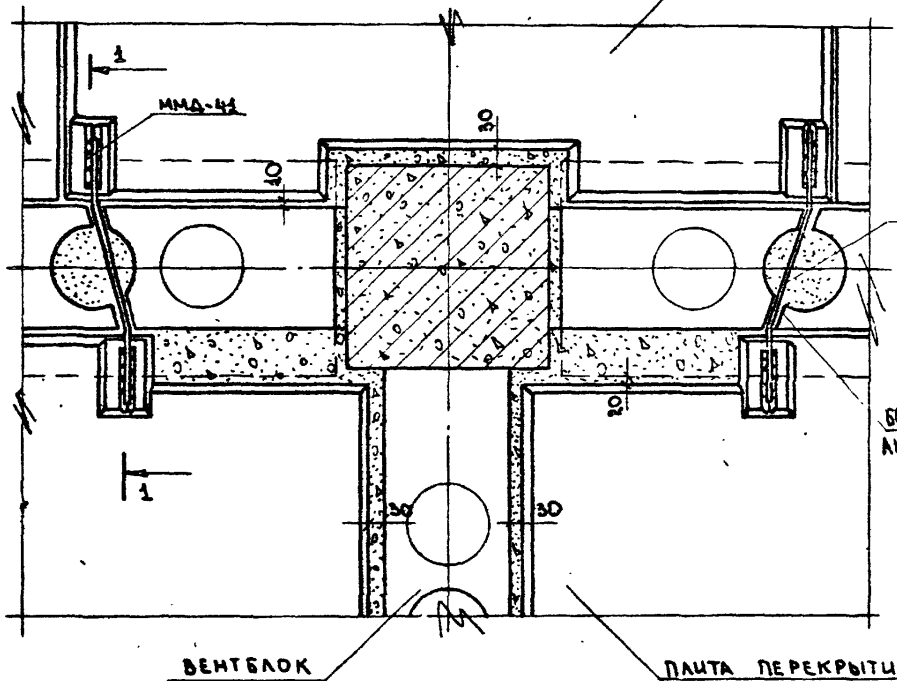
13654 50



ПРИ КОЛОННАХ 400x400

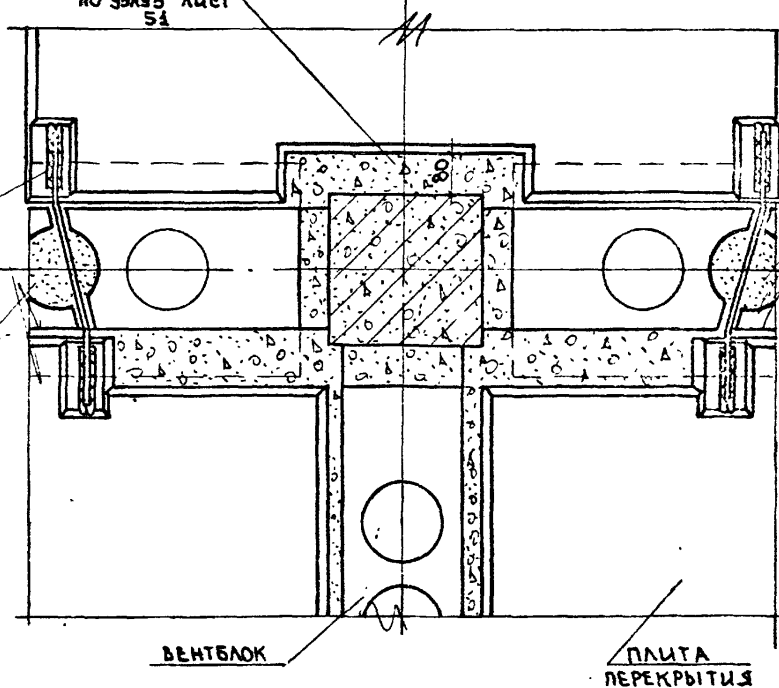
ПЛИТА ПЕРЕКРЫТИЯ

2
44



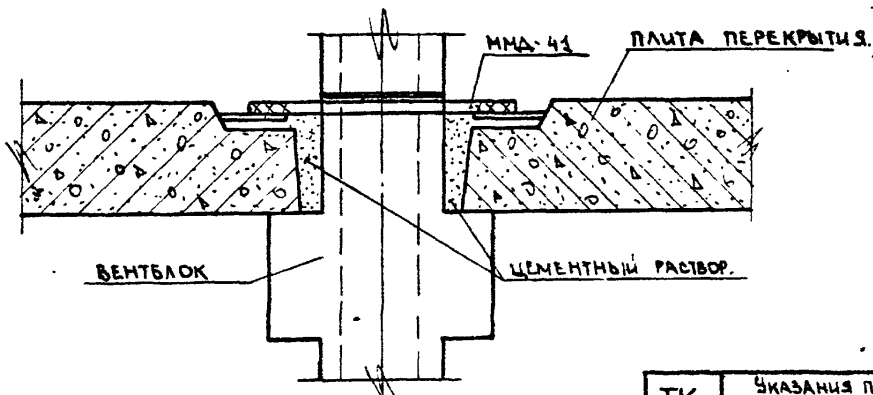
ПРИ КОЛОННАХ 300x300

ЗАДЕЛАТЬ
ПО УЗВЕЗ АЛСТ
51



51

1 - 1



Т.К.

УКАЗАНИЯ ПО ПРИМЕНЕНИЮ ВЕНТИЛЯЦИОННЫХ БЛОКОВ-
СТЕНОК ЖЕЛТКОСТИ И ВЕНТИЛЯЦИОННЫХ БЛОКОВ.

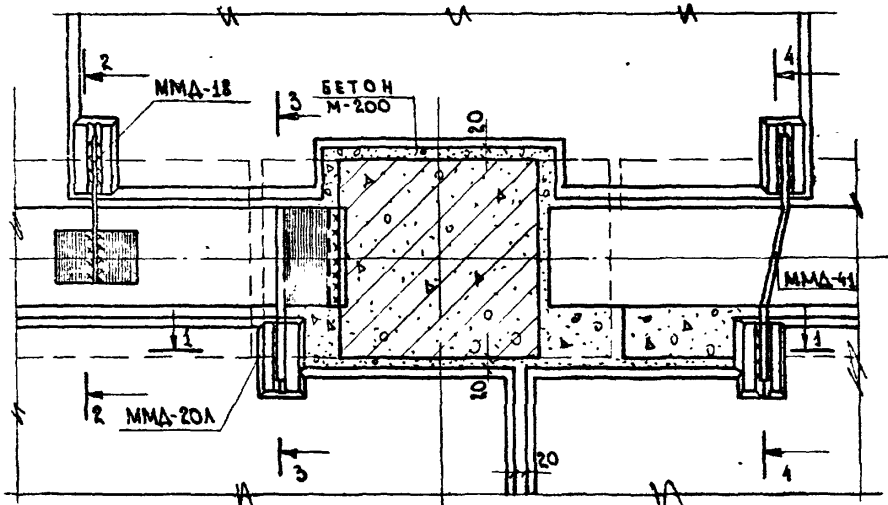
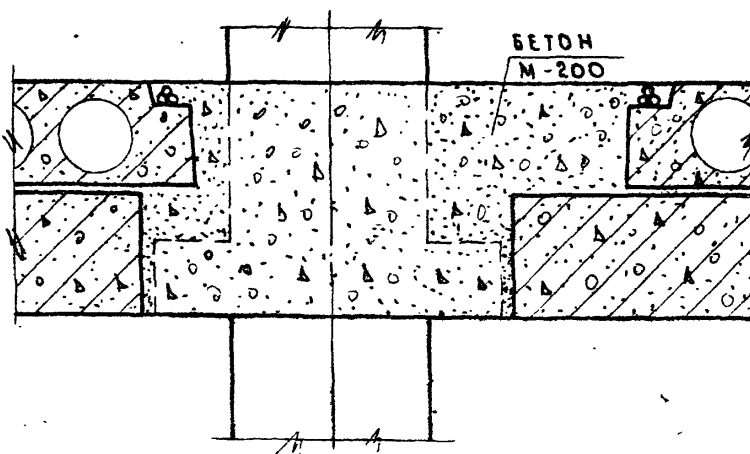
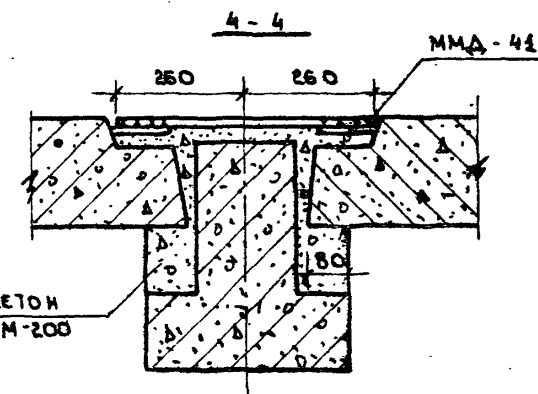
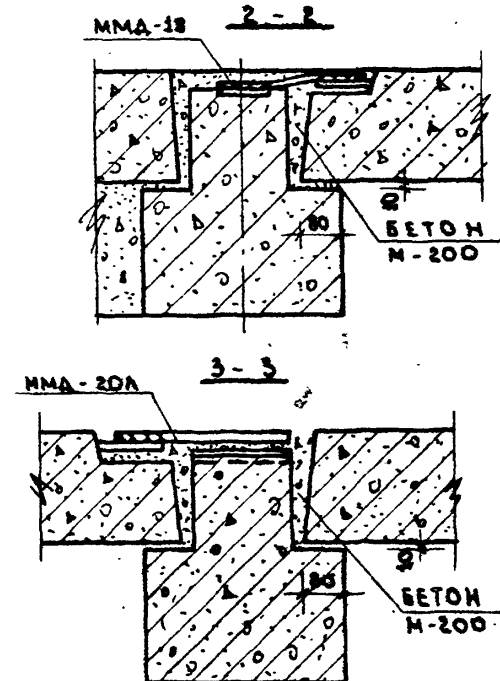
1975

ЧУВЕЛ 2 ПРИ КОЛОННАХ 400x400 И 300x300ММ

СЕРИЯ
ИЧ-04-0

ВЫПУСК
12 ЛИСТ
49

13654 52

1 - 11 - 1

Т.К.

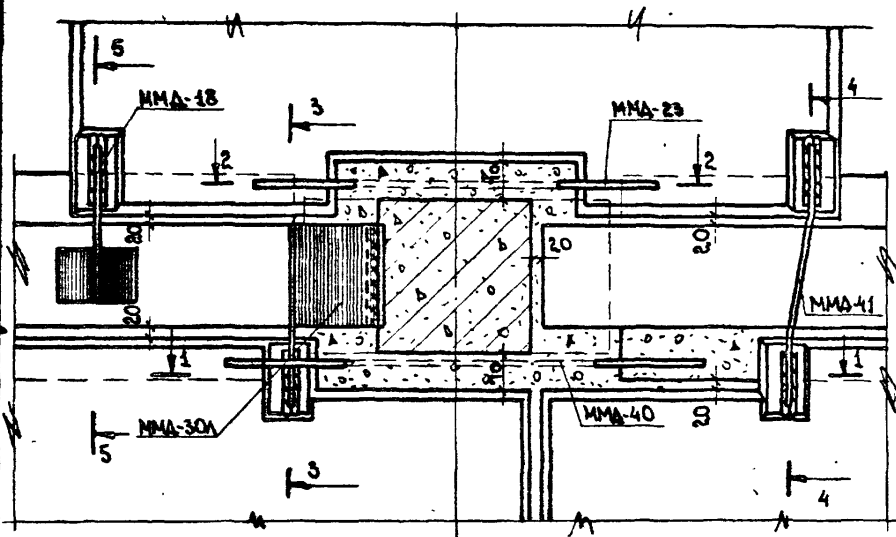
УКАЗАНИЯ ПО ПРИМЕНЕНИЮ ВЕНТИЛЯЦИОННЫХ БЛОКОВ
СТЕНОК ЖЕСТОКИИ И ВЕНТИЛЯЦИОННЫХ БЛОКОВ.

1975

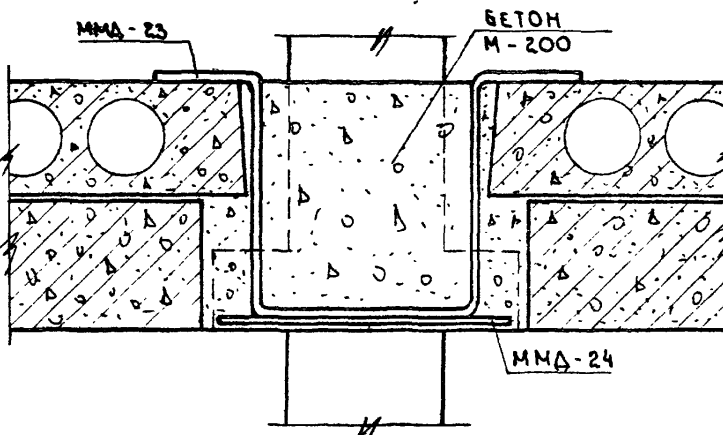
ЧЗЕЛ З ПРИ КОЛОННАХ 400 X 400 ММ.

СЕРИЯ
ЧИ-04-0ВЫПУСК АЛОС.
Ч.2
58

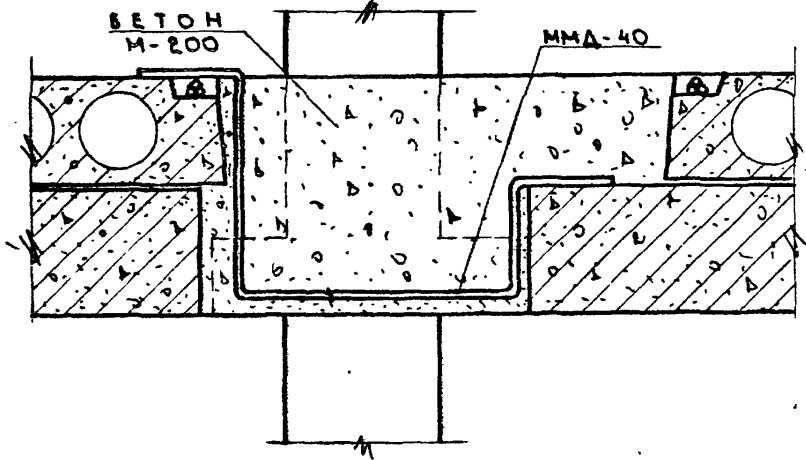
13654 53.

3
44

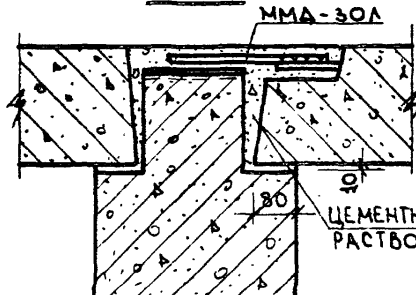
2 - 2



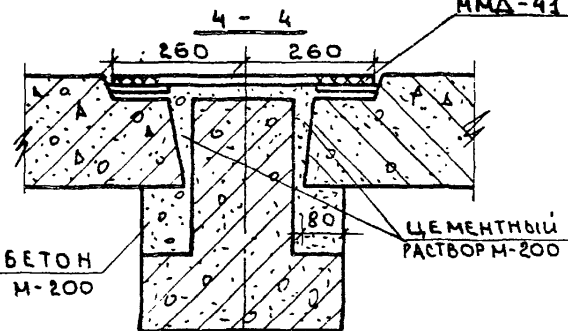
1 - 1



3 - 3



5 - 5



Т.К.

УКАЗАНИЯ ПО ПРИМЕНЕНИЮ ВЕНТИЛЯЦИОННЫХ БЛОКОВ-
СТЕНОК ЖЕСТКОСТИ И ВЕНТИЛЯЦИОННЫХ БЛОКОВ.СЕРЧ
ЧИ-04-0

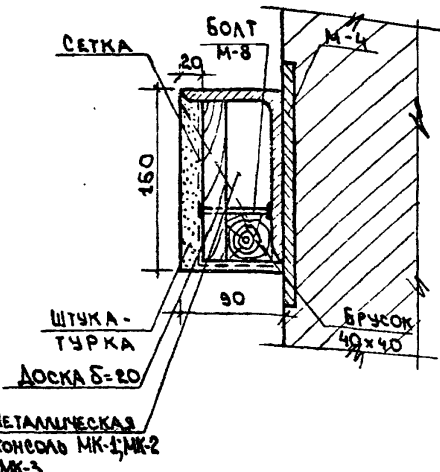
1975

УЗЕЛ 3 ПРИ КОЛОННАХ 300x300мм

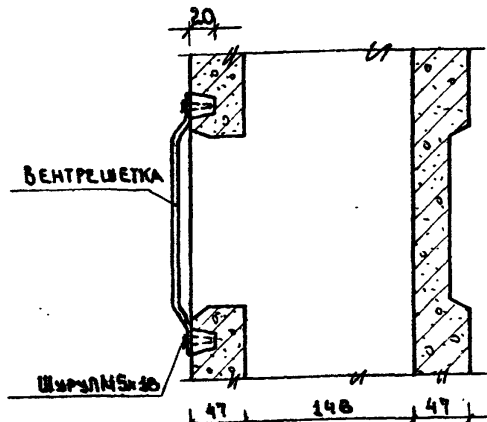
выпуск лист
12 51

13654 54

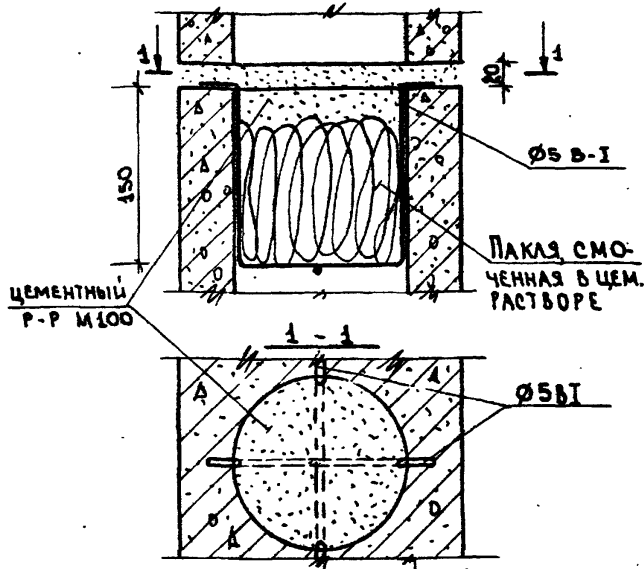
ОБЕТОНИРОВАНИЕ МЕТАЛЛИЧЕСКИХ
КОНСОЛЕЙ



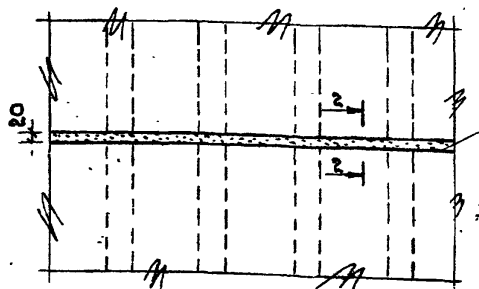
КРЕПЛЕНИЕ ВЕНТРЕШЕТОК.



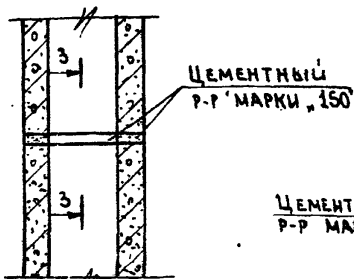
ЗАДЕЛКА ПУСТОТ(ПЕРЕКРЫТИЕ КАНАЛОВ)



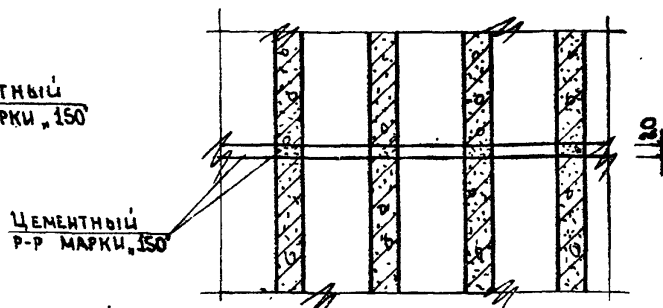
ГОРИЗОНТАЛЬНЫЙ СТЫК БЛОКОВ



2 - 2



3 - 3

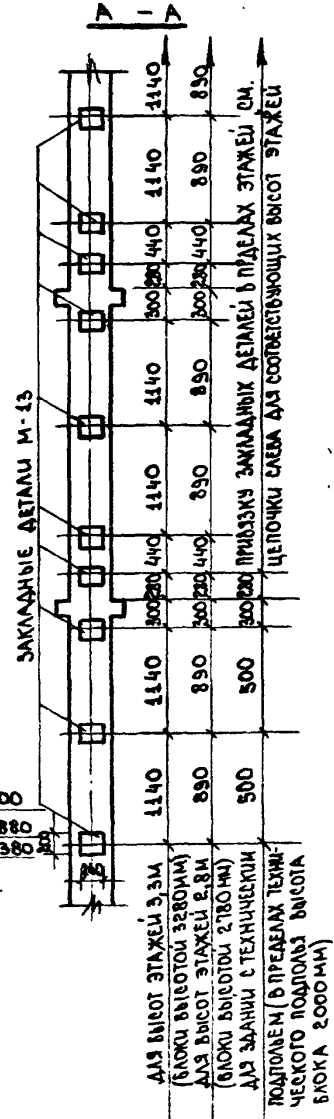
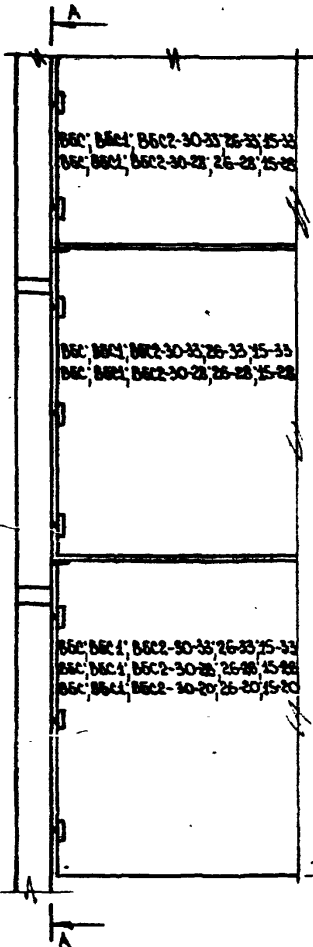


T.K.	УКАЗАНИЯ ПО ПРИМЕНЕНИЮ ВЕНТИЛЯЦИОННЫХ БЛОКОВ-СТЕНОК ЖЕСТКОСТИ И ВЕНТИЛЯЦИОННЫХ БЛОКОВ.	СЕРИЯ ЦИ-04-0
1975	ДЕТАЛИ: ОБЕТОНИРОВАНИЕ МЕТАЛЛИЧЕСКИХ КОНСОЛЕЙ, КРЕПЛЕНИЕ ВЕНТРЕШЕТОК, ЗАДЕЛКА ПУСТОТ, ПЕРЕКРЫТИЕ КАНАЛОВ, ГОРИЗОНТАЛЬНЫЙ СТЫК БЛОКОВ	ВЫПУСК ЛИСТ 12 52

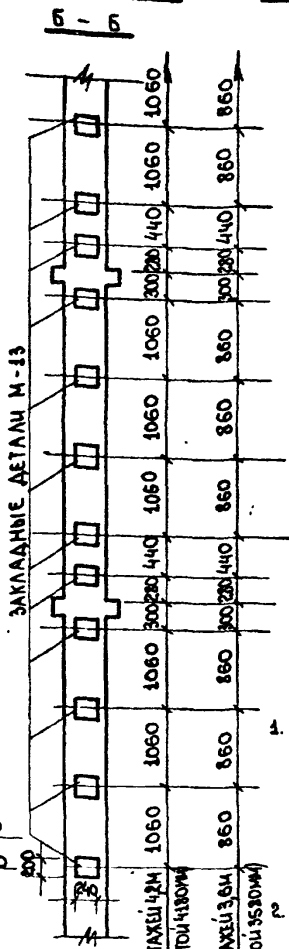
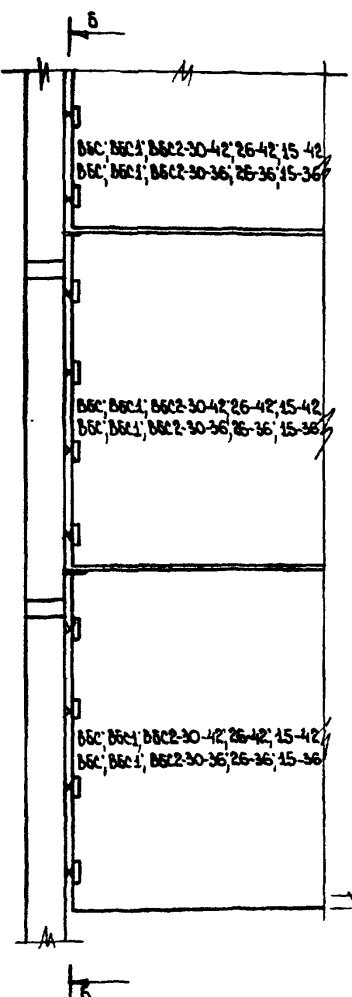
ВЕНТИЛЯЦИОННЫЕ БЛОКИ — СТЕНКИ ЖЕСТКОСТИ.

ЗДАНИЯ С ВЫСОТАМИ ЭТАЖЕЙ 3,3 И 2,8 М И ТЕХНИЧЕСКИМ ПОДПОЛЬЕМ.

Разработан в Государственном институте по проектированию зданий и сооружений в Архитектуре и Инженерии Г. Н. Носкова.

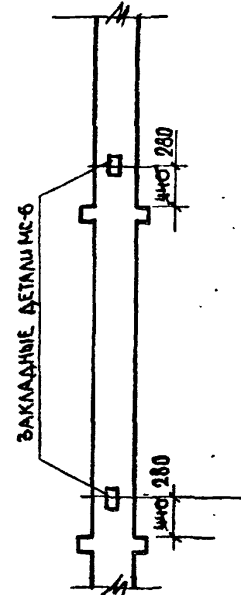


ЗДАНИЯ С ВЫСОТАМИ ЭТАЖЕЙ 4,2 И 3,6 М



ВЕНТИЛЯЦИОННЫЕ БЛОКИ

ДЛЯ ВСЕХ ВЫСОТ ЭТАЖЕЙ.



ПРИМЕЧАНИЯ:

1. В зданиях с техническим подпольем и высотами этажей 4,2 и 3,6 м привязку закладных деталей в колоннах в пределах технического подполья /блок высотой 2000мм/ делать во виду А-А.
2. Данный лист см. совместно с листами З2+Г1. Монтажные схемы вентиляционных блоков-стенок жесткости и вентиляционных блоков.

Внесены исправления.
ст. инженер Г. Н. Носкова / 18.03.76г

T.K.	УКАЗАНИЯ ПО ПРИМЕНЕНИЮ ВЕНТИЛЯЦИОННЫХ БЛОКОВ-СТЕНОК ЖЕСТКОСТИ И ВЕНТИЛЯЦИОННЫХ БЛОКОВ.	СЕРИЯ ЧИ-04 - О
1975	ПРИМЕРЫ ПРИВЯЗОК В КОЛОННАХ ЗАКЛАДНЫХ ДЕТАЛЕЙ М-13 ДЛЯ КРЕПЛЕНИЯ ВЕНТИЛЯЦИОННЫХ БЛОКОВ-СТЕНОК ЖЕСТКОСТИ И ВЕНТИЛЯЦИОННЫХ БЛОКОВ	выпуск лист 12 53 к

РАСХОД СТАЛИ НА ОДНУ МОНТАЖНУЮ ДЕТАЛЬ.

№ п/п	Марка детали.	Эскиз	ГОСТ	Профиль	Длина мм	Вес кг	№ п/п	Марка детали.	Эскиз	ГОСТ	Профиль	Длина мм	Вес кг
1	ММД-31		103-57	-100x8	150	0.94	7	ММД-37		103-57	-120x12	210	2.37
2	ММД-32		103-57	-120x12	120	1.36	8.	ММД-38		103-57	-80x6	90	0.33
3	ММД-33		103-57	-120x12	170	1.92	9	ММД-39		103-57	-80x6	160	0.60
4	ММД-34		103-57	-60x8	130	0.49	10.	ММД-40		5781-61	ФСА1	1640	2.59
5.	ММД-35		103-57	-110x8	130	0.90	11	ММД-41		5781-61	Ф25А1	520	2.00
6.	ММД-36		103-57	-150x8	270	2.54							

Примечание:

Монтажные детали ММД-18; ММД-20лев; ММД-23; ММД-24;
ММД-30лев. сн. Альбом ИИ-04-10 выпуск 5.

ТК	Указания по применению вентиляционных блоков стенок жесткости и вентиляционных блоков.	Серия ИИ-04-0
1975	Монтажные детали ММД-31 - ММД-41	Выпуск лист 12 54